



This work is protected by copyright and other intellectual property rights and duplication or sale of all or part is not permitted, except that material may be duplicated by you for research, private study, criticism/review or educational purposes. Electronic or print copies are for your own personal, non-commercial use and shall not be passed to any other individual. No quotation may be published without proper acknowledgement. For any other use, or to quote extensively from the work, permission must be obtained from the copyright holder/s.

H. ROPER

PH. D. THESIS 1980

VOL. 2: REFERENCES, FIGURES AND PLATES

BEST COPY

AVAILABLE

Variable print quality

CONTAINS

PULLOUTS

REFERENCES

(See also addenda for pre-1890 and certain other references)

ADAMS, C.J.D. 1967a. A geochronological and related isotopic study of rocks from north-western France and the Channel Islands (United Kingdom). D.Phil. Thesis, University of Oxford.

----- 1967b. K/Ar ages from the basement complex of the Channel Islands((United Kingdom) and adjacent French mainland. Earth planet. Sci. Lett., 2, 52-56.

----- 1976. Geochronology of the Channel Islands and adjacent French mainland. J. geol. Soc. Lond., 132, 233-250.

ALTHAUS, E. 1967. The triple point andalusite-sillimanite-kyanite. Contrib. Mineral. Petrol., 16, .29-44.

----- 1969. Experimental evidence that the reaction of kyanite to form sillimanite is at least bivariant. Am. J. Sci., 267, 273-277.

ANDERSON, P.A.M., NEWTON, R.C. and KLEPPA, O.J. 1977. The enthalpy change of the andalusite-sillimanite reaction and the Al_2SiO_5 diagram. Am.J.Sci.,277, 585-593.

ANDREIEFF, P., LEFORT, J-P., MAREC, A., and MONCIARDINI, C. 1973. Les terrains antecambriens et paleozoiques au large du Léon et leur relation avec la couverture secondaire et tertiaire de la Manche. Bull. Soc. géol. minéral. Bretagne (C) 3, 13-20.

AUVRAY, B., and VIDAL, P., 1973. Chronologie des événements géologiques dans le Trégor (Bretagne septentrionale). Réunion ann. Sci. terre, Paris, Soc géol. Fr., 54.

BABIN, C., PLUSQUELLEC, Y., and MORZADEC, P. 1972. 'Notice explicative' to Carte géologique de la France au 1/80.000. Brest. 3rd edn. p.7-13.

BARRIERE, M.,CHAURIS,L., and COTTEN,J. 1971a. Premières données sur un faciès orbiculaire dans le massif granitique de L'Aber-Ildut (Finistère, France). Bull.Soc.fr.Mineral.Cristallogr.,94, 402-410.

-----,COGNÉ,J.,and VIDAL,P. 1971b. La trondhjemite de Douarnenez: une intrusion magmatique ordovicienne dans les schistes cristallins du Sud-Finistère. C.R.Acad.Sci.Paris, 273 (D),1556-1559.

-----,CHAURIS,L., and LE BAIL,F. 1973. Nodules de silicates d'alumine autour des granites en Bretagne occidentale. Bull.Soc.fr. Minéral.Cristallogr., 96, 150-154.

BARROIS,C. 1893a. Carte géologique au 1/80.000. Plouguerneau.

-----b. Légende de la feuille.... Ann.Soc.geol.Nord,21,382.

BARROIS,C. 1895a. Le calcaire de St Thurial. Ann.Soc.géol.Nord, 23, 38-46.

----- 1895b. Sur les poudingues de Cesson. Ann.Soc.géol.Nord, 23, 26-29.

----- 1902a. Carte géologique au 1/80.000. Brest. 1st edn.

-----b. Légende de la feuille....Ann.Soc.géol.Nord, 31, 16.

----- 1905a. Carte géologique au 1/80.000. Morlaix. 1st edn.

-----b. Légende de la feuille.... n.d.

----- 1909. Carte géologique au 1/80.000. Lannion. 1st edn.

----- 1934a. Observations sur la carte géologique de St Brieuc. Ann.Soc.géol.Nord, 59, 224-243.

----- 1934b. Notes sur les gisements de staurotides en Bretagne. Ann.Soc.géol.Nord, 59, 29-65.

BECKINSALE,R.D.and GALE,N.H.1969. A reappraisal of the decay constants and branching ratio of ^{40}K . Earth planet.Sci.Lett., 6, 289-294.

BERTHOIS,L. 1954. Contribution a l'étude des schistes cristallins des environs de Brest (Finistère). Bull.Soc.Linn.Normandie, (9) 7, (1951-3), 3-18.

BISHOP,A.C.,BRADSHAW,J.D.,RENOUF,J.T. and TAYLOR,R.T. 1969.The stratigraphy and structure of part of west Finistère, France. Q.J.geol. Soc.Lond., 124, 309-348.

-----,ROACH,R.A. and ADAMS,C.J.D. 1975. Precambrian rocks within the Variscides. In Precambrian of the British Isles. Geol. Soc. Lond. Special Report 6, 102-107, 131-133.

BONHOMME,M.,VIDAL,P. and COGNÉ,J. 1968. Determination de l'age tectonique de la série ordovicienne et silurienne de l'Anse du Veryac'h (Presqu'ile de Crozon). Bull.Serv.Carte géol.Als.Lorr., 21, 249-252.

BRADSHAW, J.D., RENOUF,J.T., AND TAYLOR,R.T. 1967. The development of Brioherian structures and Brioherian-Palaeozoic relationships in west Finistère (France). Geol.Rundsch.56, 567-596.

BROWN,G.C. and FYFE,W.S. 1970. The production of granitic melts during ultrametamorphism. Contrib.Mineral.Petrol., 28, 310-318.

BROWN,M. 1974. The petrogenesis of the St Malo Migmatite Belt. Ph.D thesis,University of Keele.

----- 1978. The tectonic evolution of the Precambrian rocks of the St Malo region, Armorican Massif, France. Precambrian Research, 6, 1-21.

BRUN,J-P. and MARTIN,H. 1978. The St Malo Migmatite Belt: a late Precambrian gneiss dome - a comment. Precambrian Research 8, 137-143.

CABANIS,B. 1972. Sur l'attribution au Dinantien des formations de Morlaix (Finistère-Nord). C.R.Acad.Sci.Paris,274,(D), 2129-2132.

- CABANIS, B. 1974. La tectogenèse hercynienne dans la région de Morlaix et sa signification à l'échelle du Nord-Ouest de la Bretagne. Bull.Soc.géol.Fr.(7)16, 230-237.
- 1975. L'orogenèse hercynienne, phénomène majeur dans la partie orientale de Pays de Léon (Bretagne nord-occidentale). C.R.Acad.Sci.Paris, 280(D), 1769-1772.
- 1976. Arguments en faveur de l'existence d'un socle orthogneissique dans le Pays de Léon. (Bretagne). C.R.Acad.Sci.Paris,282(D), 263-266.
- and FABRIES, J. 1972 Modalités du métamorphisme hercynien dans la région de Morlaix (Bretagne Septentrionale). C.R.Acad.Sci.Paris, 284(D), 883-886.
- , MICHOT, J., and DEUTSCH, S. 1977. Remise en question de la datation géochronologique des gneiss de Brest (Bretagne occidentale). C.R.Acad.Sci.Paris,284(D), 883-886.
- CALVEZ, J-Y. and VIDAL, P. 1978. Two billion years old relicts in the Hercynian belt of Western Europe. Contrib.Mineral.Petrol. 65, 395-399.
- CARMICHAEL, C.M. 1970. Intersecting isograds in the Whetstone Lake area, Ontario. J.Petrol.,11, 147-181.
- CARPENTER, M.S.N. and CIVETTA, L. 1976. Hercynian high pressure/low temperature metamorphism in the Ile de Groix blueschists. Nature, 262, 276-277.
- CHAURIS, L. 1956. Sur les relations du Cambrien et du granite de Vire (Calvados). C.R.hebd.Séanc.Acad.Sci.Paris,242, 3092-3094.
- 1965a. Sur l'importance des phénomènes de cisaillement dans la tectonique du Pays de Léon (Finistère). C.R.som.Soc.géol.Fr.,1965, 126-127.
- 1965b. Sur la structure des massifs granitiques du Nord-Ouest du Pays de Léon (Finistère). C.R.Acad.Sci.Paris,260, 4351-4353.
- 1965c. Sur la répartition et la structure de certains granites hercyniens tardifs en Bretagne occidentale. C.R.Acad.Sci.Paris,260, 5826-5828.
- 1966a. Vue d'ensemble sur la géologie de l'île d'Ouessant (Finistère). Bull.Soc.géol.minéral.Bretagne, nouv.série 1964-5, 87-119.
- 1966b. Le granite de L'Aber-Ildut (Finistère). Bull.Serv.Carte géol.Fr.,278, 9-30.
- 1966c. Carte géologique de la France au 1/80.000. Plouguerneau-Ouessant. 2nd edn. (With separate 'notice explicative').
- 1967. Les grandes lignes du Pays de Léon et la gravimétrie. Mem.B.R.G.M.52, 55-63.
- 1969a. Les confins occidentaux du Pays de Léon (Finistère). Bull.Soc.géol.minéral.Bretagne, 1969, 119-145.
- 1969b. Sur un important accident structural dans le Nord-Ouest de l'Armorique. C.R.Acad.Sci.Paris,268, (D), 2859-2861.
- 1971a. Les recherches récentes sur le Grès Armorique (Skiddavien) dans le Nord-Ouest de la Bretagne. Mem.B.R.G.M.,73, 213-221.

- CHAURIS,L. 1971b. Esquisse géologique du Parc d'Armorique (Monts d'Arrée et environs du Huelgoat). *Penn ar Bed*,8,103-108.
- 1971c. Structure des environs de St Thégonnec (Finistère) (contribution à la géologie de la région morlaisienne). *C.R.Acad. Sci.Paris*,273, 2045-2047.
- 1972a. Evolution tectonique des granites précambriens de la région de Morlaix (Massif Armorican). *C.R.Acad.Sci.Paris*,274, 991-994.
- 1972b. La limite Léon-Trégor et l'origine de la baie de Morlaix (massif Armorican). *C.R.som.Soc.géol.Fr.*,1972,137-138.
- 1972c. Carte géologique de la France au 1/80.000. Brest. 3rd edn. (with separate notice explicative) (with the collaboration of B.Hallégouët). See also Babin et al, 1972 .
- 1977. Métamorphisme et magmatisme dans le massif armoricain au cours de l'orogenèse hercynienne: une interprétation en termes de la tectonique des plaques. *C.R.Acad.Sci.Paris*,284,895-898.
- and HALLÉGOUËT,B. 1973a. Les relations du Paléozoïque inférieur avec le socle précambrien du Pays de Léon, le long de la vallée de l'Elorn (Finistère). *C.R.Acad.Sci.Paris*,277,(D),277-280.
- 1973b. Les 'quartzites' des gneiss de Brest (Finistère). *Bull.Soc.géol.minéral.Bretagne*,1973,(C)V,93-99.
- and MICHOT,J. 1965. Sur la nature des 'gneiss de Brest' et leurs relations avec les quartzophyllades de l'Elorn et les mica-schistes du Conquet(Finistère). *C.R.Acad.Sci.Paris*,260,(9), 240-242.
- and MOUSSU,R. 1972. Observations nouvelles sur le district stanno-wolframifère du Pays de Léon (Massif armoricain). *Bull.Soc. géol.minéral.Bretagne*,1972(C)IV,107-110.
- , DANGEARD,L, GRAINDOR,M.J., and DE LAPPEARENT,A.F. 1956. Les principaux batholites granitiques granitiques du bogage normand sont antérieurs à la transgression cambrienne. *C.R.Acad.Sci.Paris*,243,77-79.
- , LE BAIL,F., and GUIGUES,J. 1970a. Minéraux de Basse Bretagne. *Penn ar Bed*, Brest, 96pp.
- , DEUNFF,J. and PHILIPPOT,A. 1970b. Découverte du Silurien à graptolites près de Landerneau (Nord-Finistère). *C.R.Acad.Sci. Paris*,271,2236-2239.
- , LAPIERRE,F., LEFORT,J-P. and PLUSQUELLEC,Y. 1972. Les formations précambrines et paléozoïques au large des côtes occidentales du Finistère. *C.R.Acad.Sci.Paris*,274,2624-2626.
- , HALLEGOUËT,B., THONON,P. and VIDALI,P. 1977. Le champ filonien microgranitique du Bas-Léon. *Bull.Soc.géol.minéral.Bretagne*,IX(1), 5-17.
- COGNÉ,J. 1959. Données nouvelles sur l'antécambrien dans l'ouest de la France; Pentevrien et Brioverien en baie de St Brieuc (Côtes du Nord). *Bull. soc. géol Fr.(?)1*, 112-118.

- COGNÉ, J. 1960. Schistes cristallins et granites en Bretagne méridionale: la domaine de l'anticlinal de Cornouaille: Mem.Expl.Carte géol.de France. Paris, 382pp.
- 1962. Le Briovertien. Bull.Soc.géol.Fr.(7)4, 413-430.
- 1962. Le massif armoricain et sa place dans la structure des socles ouest-européens. L'arc hercynien Ibero-Armoricain. In Histoire structurale du Golfe de Gascogne. Technip.Édit.,1, 1-23.
- 1974. Le massif armoricain. In Debemas,J.,(Ed.), Géologie de la France, Vol.1, 105-161.
- and PEUCAT,J-J. 1973. Une étape magmatique nouvelle dans l'évolution hercynienne sud-armoricaine: le granite orthogneissique de Pors-Poulhan en Baie d'Audierne (Finistère-Sud). C.R.Acad.Sci. Paris,277(D),2601-2604.
- and SHELLEY, 1966. Structure géologique du secteur des Abers. Bull.Serv.Carte géol.Als.Lorr. 19,1-40.
- COLLIN,L. 1922. Géologie probable du fond de la rade de Brest et de ses environs; 1. Rade de Brest et Anse de Camaret. Bull.Soc. géol.minéral.Bretagne, 2(1921), 354-372.
- 1924. Géologie probable du fond de la rade de Brest et de ses environs; 2. L'extérieur de la Rade. Bull..Soc.géol.minéral. Bretagne,4(1923), 85-101.
- CURRIE,K.L. 1971. The reaction 3 cordierite = 2 garnet + 4 sillimanite +5 quartz as a geological thermometer. Contrib.Mineral.Petrol.33, 215-226.
- DARBOUX,J-R. 1974. Le Briovertien de la baie de Douarnenez. Étude pétrographique et structurale. Thèse, 3e cycle, Rennes, 170pp.
- and GARREAU,J. 1976. Précisions sur la structure de l'Arrée et de ses piémonts dans leur terminaison occidentale (massif armoricain, France). C.R.Acad.Sci.Paris,283,(D),1007-1010.
- , LE CORRE,C. and COGNÉ,J. 1975. Tectoniques superposées cadomiennes et hercyniennes dans le Briovertien du Nord de la baie de Douarnenez (Finistère). Bull.Soc.géol.Fr.,(7),XVII,1975,680-685.
- , GRAVELLE,M., PELHATE,A. and ROLET,J. 1977. L'évolution tectonique de la terminaison occidentale du domaine centre-armoricain au Dévonien et au Carbonifère. C.R.Acad.Sci.Paris,284(D),1151-1154.
- DEER,W.A., HOWIE,R.A. and ZUSSMANN,J. 1966. An introduction to the rock-forming minerals. London. 528pp.
- DE LAPPARENT,J. 1934. Remarques sur les mica-schistes qui affleurent le long de la côte ouest de la Bretagne en Pays de Léon. Ann.Soc.géol. Nord,59,3-22.
- DELATTRE,C. 1952. Recherches sur le Dévonien et le Carbonifère de la région de Morlaix. Mem.Serv.Carte géol.Fr.,125pp.
- DEUNFF,J.,and CHAURIS,L. 1974. Découverte d'un microplankton à acri-tarches, chitinozoaires et spores du Silurien supérieur près de Landerneau (Finistère). C.R.Acad.Sci.Paris,278,2091-2093.

DEUTSCH,S. and CHAURIS,L. 1965. Age de quelques formations cristallophylliens et granitiques du Pays de Léon(Finistère).C.R.hebd.Séanc. Acad.Sci.Paris,260,615-617.

DEWEY,J.F. and SENGOR,A.M.C. 1979. Aegean and surrounding regions: complex multiplate and continuum tectonics in a convergent zone. Geol.Soc.Am.Bull.90,84-92.

DODSON,M.H. 1961. Isotopic ages from the Lizard Peninsula, South Cornwall. Proc. geol. Soc. no. 1591,133-136.

----- and REX,D.C. 1971. Potassium-argon ages of slates and phyllites from south-west England. Q.J.geol.Soc.Lond.,126, 465-499.

EVANS,B.W. 1965. Application of a reaction-rate method to the break-down equilibria of muscovite and muscovite plus quartz. Am.J.Sci.263, 647-667.

FLETT,F.S. and HILL,J.B. 1912. The geology of the Lizard and Meneage. Mem. Geol.Surv. Great Britain.

FREY,M. 1972. Geol.Soc.Am.Ann.Meeting (abstract).

GANGULY,J. 1969. Chloritoid stability and related parageneses: theory, experiments and applications. Am.J.Sci.,267, 910-944.

GRAINDOR,M.J. 1954. Note préliminaire sur la glaciation infra-cambrienne dans le massif armoricain. Bull.Soc.géol.Fr.,(6)4,17-24.

----- 1957. Le Briovertien dans le Nord-Est du massif armoricain. Mem.serv.Carte géol.Fr.,262,LVII,475-551.

----- 1961. Existence vraisemblable du Pentévrien dans les Iles Anglo-normandes et la Hague. Bull.Soc.Linn.Normandie (10)1 (for 1960),44-46.

GREEN,D.H. and RINGWOOD,A.E. 1972. A comparison of recent experimental data on the gabbro-garnet granulite-eclogite transition. J.Geol.80,277-288.

GUIDOTTI,C.V. 1970. The mineralogy and petrology of the transition from the lower to upper sillimanite zone in the Oquossoc area, Maine. J.Petrol.11,277-336.

GUIGES,J.,and DEVISMES,P. 1969. La prospection minière à la bâtie dans le massif armoricain. Mem.B.R.G.M.no.71,172pp.

HANMER,S.K.1977a. Pre-Cambrian basement in the Variscan orogen, south-west Finistère, France. 2 vols. 207pp. Unpublished thesis, University of London.

-----1977b. Age and tectonic implications of the Baie d'Audierne basic-ultrabasic complex. Nature, 270, 336-338.

HART,S.R. 1964. The petrology and isotopic-mineral age relations of a contact zone in the Front Range, Colorado. J.Geol. 72, 493-525.

HAYATSU,A. and CARMICHAEL,C.M. 1970. K-Ar isochron method and initial argon ratios. Earth planet.Sci.Lett.8,71-76.

HEMLEY, J.J. and JONES, W.R. 1964. Chemical aspects of hydrothermal alteration with emphasis on hydrogen metasomatism. *Econ. Geol.* 59, 538-569.

HENSEN, B.J. and GREEN, D.H. 1973. Experimental study of cordierite and garnet in pelitic compositions at high pressures and temperatures. III. Synthesis of experimental data and geological applications. *Contrib. Mineral. Petrol.* 38, 151-166.

HOLDAWAY, M.J. 1971. Stability of andalusite and the aluminium silicate phase diagram. *Am. J. Sci.* 271, 91-131.

----- and LEE, S.M. 1977. Fe-Mg cordierite stability in high-grade pelitic rocks based on experimental, theoretical and natural observations. *Contrib. Mineral. Petrol.* 63, 175-198.

HOSCHEK, G. 1969. The stability of staurolite and chloritoid and their significance in metamorphism of pelitic rocks. *Contrib. Mineral. Petrol.* 22, 208-232.

JAFFEY, A.H., FLYNN, K.F., GLENDEEN, L.E., BENTLEY, W.C. and ESSLING, A.M. 1971. Precision measurements of half-lives and specific activities of ^{235}U and ^{238}U . *Phys. Rev. C* 4, 1889-1906.

JANSEN, J.B.H. and SCHUILING, R.D. Metamorphism on Naxos: petrology and geothermal gradients. *Am. J. Sci.* 276, 1225-1253.

JONIN, M and VIDAL, P. 1975. Études géochronologiques des granitoïdes de la Mancellia, massif armoricain, France. *Can. J. Earth Sci.* 5, 673-682.

KERFORNE, F. 1901. Étude de la région silurique occidentale de la Presqu'île de Crozon (Finistère). *Bull. Soc. scient. méd. Ouest* 10, 1-234.

LE CORRE, C. 1975. Analyse comparée de la cristallinité des micas dans le Brioverien et le Paléozoïque: zonéographie et structure d'un domaine épizonal. *Bull. Soc. géol. Fr.* (7)17, 548-553.

LEUTWEIN, F. 1968. Contribution à la connaissance du Précambrien récent en Europe occidentale et développement géochronologique du Brioverien en Bretagne (France). *Can. J. Earth Sci.* 5, 673-682.

----- and SONET, J. 1965. Contribution à la connaissance de l'évolution géochronologique précambrienne et hercynienne de la partie nord-est du massif armoricain. *Sciences de la Terre*, 10, 345-366.

-----, -----, and ZIMMERMANN, J-L. 1968. Géochronologie et évolution orogénique précambrienne et hercynienne de la partie nord-est du massif armoricain. *Sciences de la Terre*, 11, 1-84.

-----, CHAURIS, L., SONET, J., and ZIMMERMANN, J-L. 1969a. Principaux résultats de mesures géochronologiques dans le Nord-Finistère. *C.R. Acad. Sci. Paris*, 268, 2552-2555.

-----, -----, -----, and ----- 1969b. Études géochronologiques et géotectoniques dans le Nord-Finistère. *Sciences de la Terre*, 14, 329-358.

LEUTWEIN,F., SONET,J. and ZIMMERMANN,J-L. 1972. Dykes basiques du massif armoricain septentrional. Contribution a leur étude géochronologique. C.R.Acad.Sci.Paris,275,1327-1330.

-----, POWER,G.M., ROACH,R.A., and SONET,J. 1973. Quelques résultats géochronologiques obtenus sur des roches d'age précamalien du Cotentin. C.R.Acad.Sci. Paris, 283(D), 223-226.

MALUSKI,H. 1976. Interêt de la méthode $^{40}\text{Ar}/^{39}\text{Ar}$ pour la datation des glaucophanes. Exemple des glaucophanes de l'Ile de Groix (France). C.R.Acad.Sci.Paris,283(D),223-226.

MCKENZIE,D.P. 1972. Active tectonics of the Mediterranean region. Geophys.J.R.Astron.Soc.30,109-185.

MEHNERT,K.R. 1968. Migmatites and the origin of granitic rocks. Amsterdam.

MICHOT,J. and DEUTSCH,S. 1970. U-Pb zircon ages and polycyclism of the Gneiss de Brest and the adjacent formations (Brittany). Eclogae geol. Helv. 63,215-227.

----- and LAVREAU,J. 1965. Les gneiss de Brest et les Quartzphyllades de L'Elorn. C.R. Session extraord. Soc.belge de géol., paléont.,hydrol., et de Société Géologique de Belgique(1965),248-254.

MILLER,J.A. and GREEN,D.H. 1961. Age determinations of rocks in the Lizard (Cornwall) area. Nature,192. 1175-1176.

MIYASHIRO,A. 1961. Evolution of metamorphic belts. J.Petrol.2,277-311.

NEWTON,R.C. 1969. Some high-pressure hydrothermal experiments on severely ground kyanite and sillimanite. Am.J.Sci.,267,278-284.

PANKHURST,R.J.,MOORBATH,S.,REX,D.C. and TURNER,G. 1973. Mineral age patterns in ca. 3700 my old rocks from West Greenland. Earth planet.Sci.Lett.20,157-170.

PEUCAT,J-J. 1973. Les schistes cristallins de la baie d'Audierne. Thèse, 3me cycle, Université de Rennes.

----- and COGNÉ,J. 1977. Geochronology of some blueschists from Ile de Groix, France. Nature,268,131-132.

PHILIPPOT,A. 1963. Remarques sur la sedimentation de l'Ordovicien supérieur et de l'Ordovicien moyen dans la Presqu'île de Crozon (Finistère). Bull.Soc.géol.minéral.Bretagne (1 and 2) (for 1961), 133-143.

PIDGEON,R.T. and BOWES,D.R. 1972. Zircon U-Pb ages of granulites from the Central Region of the Lewisian, north-western Scotland. Geol.Mag.109,247-258.

PRUVOST,P. 1949. Les murs et les terres de Bretagne aux temps paléozoïques. Annls Hébert Haug 7,345-362.

-----, WATERLOT,G. and COMTE,P. 1943. Le bassin Carbonifère de Morlaix (Feuille de Brest-Lorient au 1:320.000). Bull.Serv. Carte géol.Fr.44 (212),63-74.

RÅHEIM,A. and GREEN,D.H. 1974. Experimental determination of the temperature and pressure dependence of the Fe-Mg partition co-efficient for co-existing garnet and clinopyroxene. *Contrib.Mineral. Petrol.* 48,179-203.

RENOUF,J.T. 1965. The geology of the Presqu'ile de Plougastel (Finistère). Unpublished thesis. Univ.of London.

----- 1974. The Proterozoic and Palaeozoic development of the Armorican and Cornubian provinces. *Proc.Ussher Soc.* 2,6-43.

RICHARDSON,S.W. 1968. Staurolite stability in a part of the system Fe-Al-Si-O-H. *J.Petrol.* 9,467-488.

-----, BELL,R.M. and GILBERT,M.C. 1968. Kyanite-sillimanite equilibria between 700° and 1500° C. *Am.J.Sci.* 266,513-541.

-----, GILBERT,M.C. and BELL,P.M. 1969. Experimental determination of kyanite-andalusite and andalusite-sillimanite equilibria: the aluminium silicate triple point. *Am.J.Sci.* 267,259-272.

RIES,A.C. 1974. The Variscan orogenic belt in Brittany and Spain and its disruption during the formation of the Bay of Biscay. Ph.D. thesis, Univ.of London.

----- 1978. The opening of the Bay of Biscay - a review. *Earth-Science Reviews* 14,35-63.

----- 1979. Variscan metamorphism and K-Ar dates in the Variscan fold belt of S.Brittany and NW Spain. *J.geol.Soc.Lond.* 136,89-103.

ROACH,R.A.1977. A review of the Precambrian rocks of the British Variscides and their relationship with the Precambrian of NW France. In *La chaîne varisque d'Europe moyenne et occidentale. Coll.intern. C.N.R.S., Rennes,* 243 (1977),61-79.

-----, ADAMS,C.J.D., BROWN,M., POWER,G. and RYAN,P. 1972. The Precambrian stratigraphy of the Armorican Massif, NW France. 24th Int.Geol.Congr.,Montréal,section 1,246-252.

ROLET,J. 1977. Les cisaillements syn-à-post-hercyniennes en Bretagne occidentale. État actuel des connaissances. 5e Réun. Ann. Sci. Terre (Rennes). (Abstract).

RYAN,P.D. and ROACH,R.A. 1977. The Brioherian-Pentevrian boundary at Palus Plage (Armorican Massif, France). *Bull.Soc.géol.minéral. Bretagne*, 1975(C)VII,1-20.

SANDREA,A. 1958. Contribution à la lithologie de la côte nord de la Bretagne: de l'île de Sieck à la baie de Perros. *Bull.Serv.Carte géol.Fr.* 56 no. 258.

SAXENA,S.K. 1979. Garnet-clinopyroxene geothermometer. *Contrib. Mineral.Petrol.* 70,229-236.

SHELLEY,D. 1964. The geology of Les Abers region, Finistère-Nord. Unpublished Ph.D.Thesis, Univ. of Bristol. 199pp.

----- 1966. Some aspects of a horizontal schistosity. *Geol.J.* 2,185-196.

SPRY, A. 1969. Metamorphic textures. Oxford.

STEIGER, R.H. and JAEGER, E. 1977. Subcommission on geochronology: convention on the use of decay constants in geo- and cosmochronology. Earth planet. Sci. Lett. 36, 359-362.

STILLE, H. 1924. Grundfragen der Vergleichenden Tektonik. Berlin.

----- 1928. Z. deutsch. geol. Gesel. 80, 24-

SUTTON, J., and WATSON, J. 1959. Metamorphism in deep-seated zones of transcurrent movement at Kungwe Bay, Tanganyika Territory. J. Geol. 67, 1-13.

TAYLOR, R.T. 1969. The geology of the south-west Pays de Léon, Finistère, France. Unpublished Ph.D.thesis, Univ. of London.

THOMPSON, J.B. and NORTON, S.A. 1968. Palaeozoic regional metamorphism in New England and adjacent areas. In E-An Zen et al eds. Studies of Appalachian Geology. New York.

TILLEY, C.E. 1923. The petrology of the metamorphosed rocks of the Start area (South Devon). Q.J.geol.Soc.Lond.79, 172-204.

TURNER, F.J. 1968. Metamorphic petrology. Mineralogical and field aspects. New York. 403pp.

TUTTLE, O.F. and BOWEN, N.L. 1958. Origin of granite in the light of experimental studies in the system $\text{NaAlSi}_3\text{O}_8-\text{KAlSi}_3\text{O}_8-\text{SiO}_2-\text{H}_2\text{O}$.

VELDE, B. 1970. Les eclogites de la région nantaise (de Campbon au Cellier) (Loire Atlantique). Bull.Soc.fr.Minéral.Cristallogr.93, 370-385.

----- 1972. The origin of some granulite facies rocks from the Baie d'Audierne, Finistère. Bull.Soc.géol.minéral.Bretagne, 1972, (C), IV, 91-95.

VIDAL, P. 1972. L'axe granitique de Moëlan-Lanvaux (sud du massif armoricain). Bull.Soc.géol.minéral.Bretagne (C)4 (1973), 75-89.

-----, DEUTSCH, S., MARTINEAU, F., and COGNE, J. 1974. Nouvelles données radiométriques en baie de Saint-Brieuc. Le problème d'un socle anté-cadomien nord-armoricain. C.R.Acad.Sci.Paris,279, 631-634.

VON PLATEN, H. 1965. Contrib. Mineral. Petrol. 11, 334-381.

WATERLOT, G. n.d. Carte géologique au 1/80.000. Brest. (2nd edn. Notice explicative). (Revision of Barrois, 1902b).

WINCHESTER, J.W.A. 1974. The zonal pattern of regional metamorphism in the Scottish Caledonides. J.geol.Soc.Lond., 130, 509-524.

WINKLER, H.G.F. 1967. Petrogenesis of metamorphic rocks. 2nd.edn. New York. 237pp.

----- 1974. ----- .edn. New York. 320pp.

WINKLER, H.G.F. and VON PLATEN, H. 1961. Experimentelle gesteinsmetamorphose--IV. Bildung anatektischer Schmelzen aus metamorphosierten Grauwacken. *Geochim.cosmochim.acta.* 24, 48-69.

WINTERER, E.L. 1964. Late Precambrian pebbly mudstone in Normandy, France: tillite or tillloid? In Nairn, A. (Ed.) *Problems in palaeoclimatology*. Interscience, New York, 159-187.

ADDENDA TO REFERENCES

Pre-1890 references.

BARROIS,C. 1888. Observations sur la constitution géologique de l'ouest de la Bretagne. Ann.Soc.géol.Nord,t.XVI. 7 Nov., 1888, p.1-11.

BUNEL,H. 1829-1833 (1835). Observations sur les terrains intermédiaires du département du Calvados. Mém. Soc.Linn. Norm.,t.V,p.91-100. Séance du 5 sept.1832.

DUFRÉNOY,P-A. 1838. Mémoire sur l'âge et la composition des terrains de transition de l'ouest de la France. Ann. des Mines, sér.3,t.XIV,213p.

----- and ÉLIE DE BEAUMONT, L. 1841. Explication de la carte géologique de France. Tome 1,chapter 3.

HÉBERT,B. 1886. Observations sur les groupes sédimentaires les plus anciens du nord-ouest de la France. C.R.Acad.Sci. t.CIII,pp.231-233,303-308,367-371.

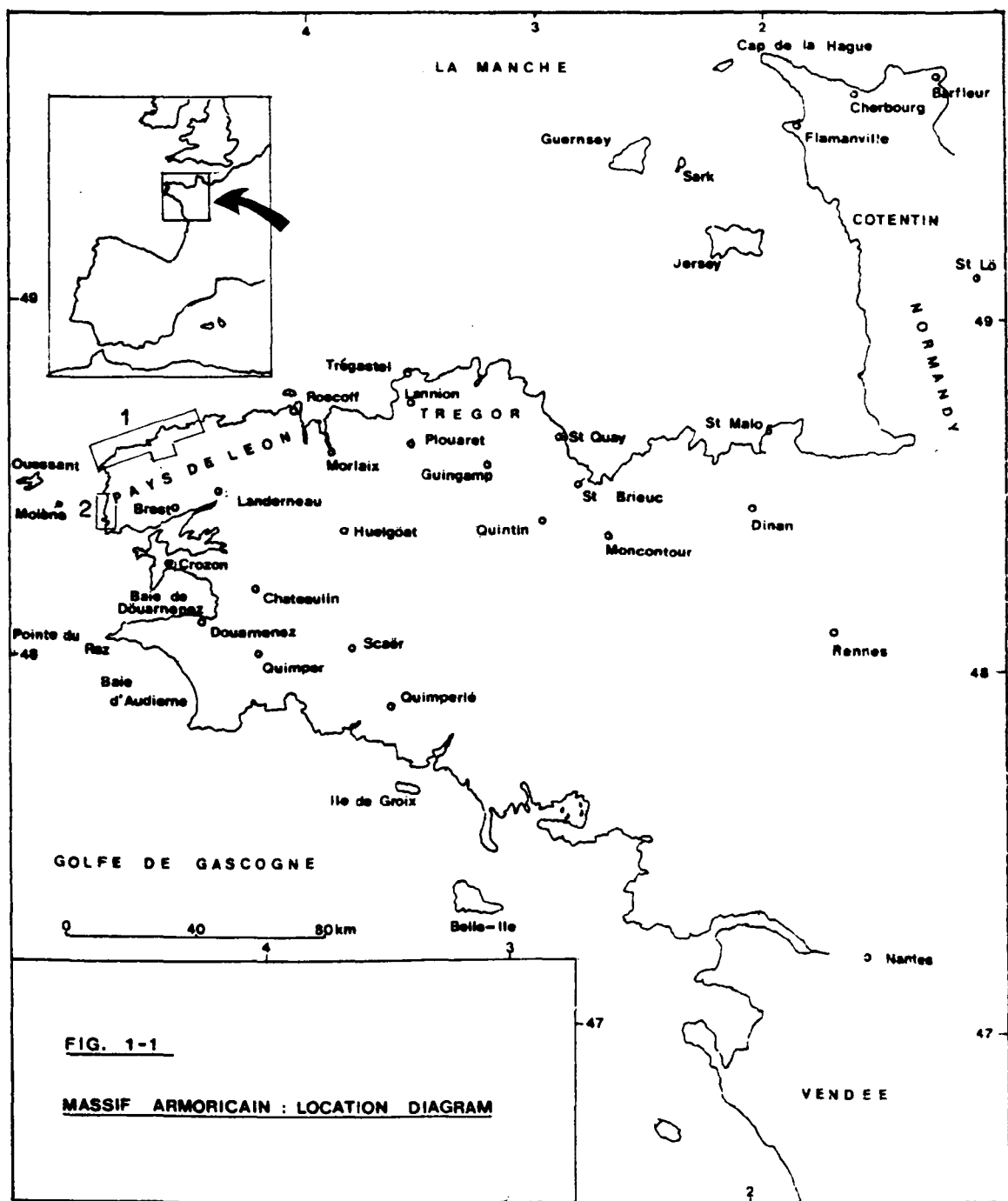
Other references.

BERTRAND,L. (1921). Les anciens mers de la France et leurs dépôts. Flammarion (Pubs). Paris.

GREEN,D.H. and RINGWOOD,A.E. 1967. An experimental investigation of the gabbro to eclogite transformation and its petrological implications. Geochim.cosmochim.Acta,31,767-833.

HIGGINS,M.W. 1971. Cataclastic rocks. U.S.G.S. prof. paper 687, 97pp.

VIDAL,P. 1976. L'évolution polyorogénique du Massif Armorican. Apport de la géochronologie et de la géochimie isotopique du strontium. Thèse d'état, Univ.Rennes, 142pp.



Areas studied in detail are outlined:

1. NW Pays de Léon
2. SW Pays de Léon



Fig 1-3 (facing page)

Geological map of the Massif Armorican

After Cogné (in Debèlmas, J., 1974)

Structure Hercynienne
du
MASSIF ARMORICAIN

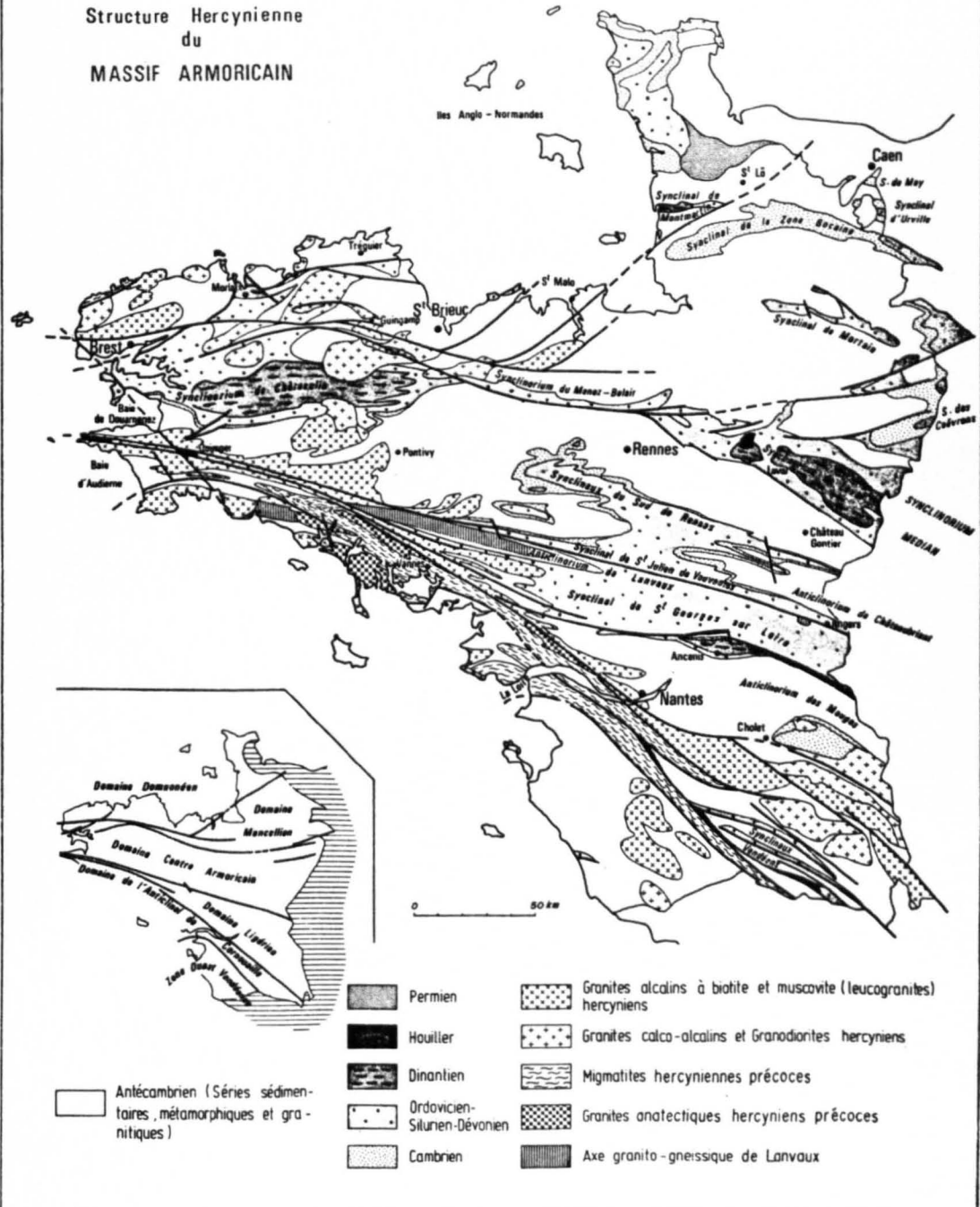


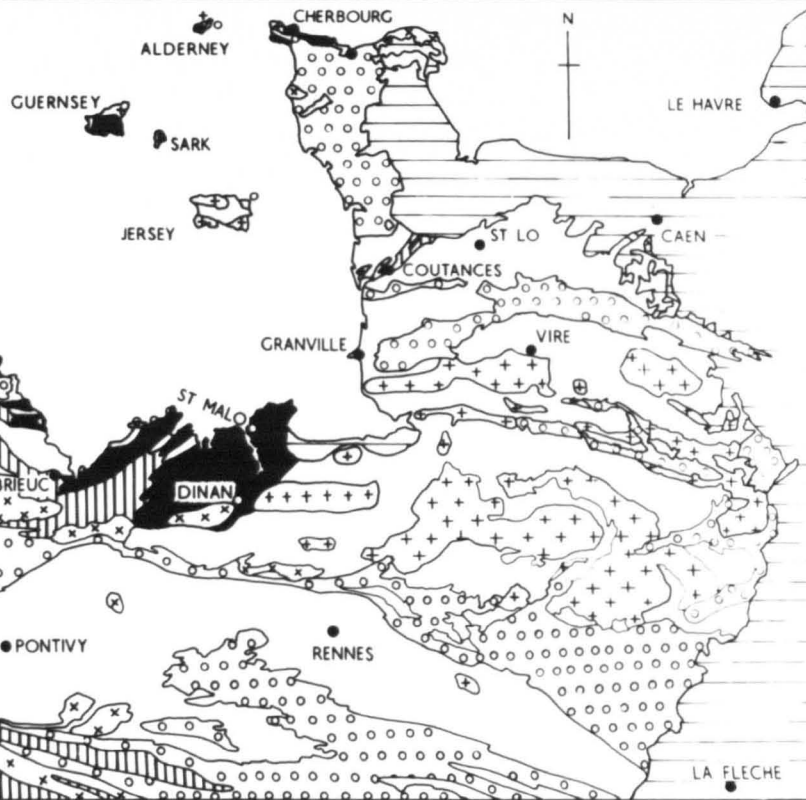
Fig 1-4 (facing page)

Geological map of the Northern part of the
Massif Armorican.

After Roach and Brown (in Brown, 1974).

GEOLOGICAL MAP OF PART
OF THE ARMORICAN MASSIF

50 KM



CHANNEL



PARIS
BASIN

POST PALAEZOIC ROCKS		HERCYNIAN GRANITIC COMPLEXES	
PALAEZOIC SUPRACRUSTALS		LATE CADOMIAN GRANITES	
BRIOVERIAN SUPRACRUSTALS		EARLY CADOMIAN INTRUSIVES	
PENEVRIAN BASEMENT		UNDIFFERENTIATED METAMORPHICS	

BAY OF BISCAY

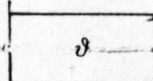
Fig 1-5

GEOLOGICAL MAP OF NW FINISTERE

After Carte géologique de la France, 1:320,000, feuille Brest-Lorient.
2ème édition, 1970.



GRANITES



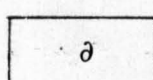
DINANTIEN



DÉVONIEN SUPÉRIEUR ET EIFELIEN



DÉVONIEN INFÉRIEUR



SÉRIE VOLCANIQUE ORDOVICIENNE DE CROZON



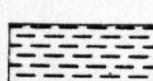
SILURIEN ET ORDOVICIEN



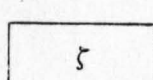
BRIOVÉRIEN



MICA-SCHISTES



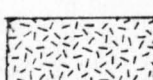
GNEISS DE LESNEVEN



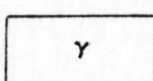
AMPHIBOLITES



AMPHIBOLITES QUARTZIQUES DE LANNILIS



ORTHOGNEISS DE BREST ET DE PLOUGONVEN



GNEISS DE TRÉGLONOU



MIGMATITES ET GRANITES ASSOCIÉS DU LÉON

FIG 1-5

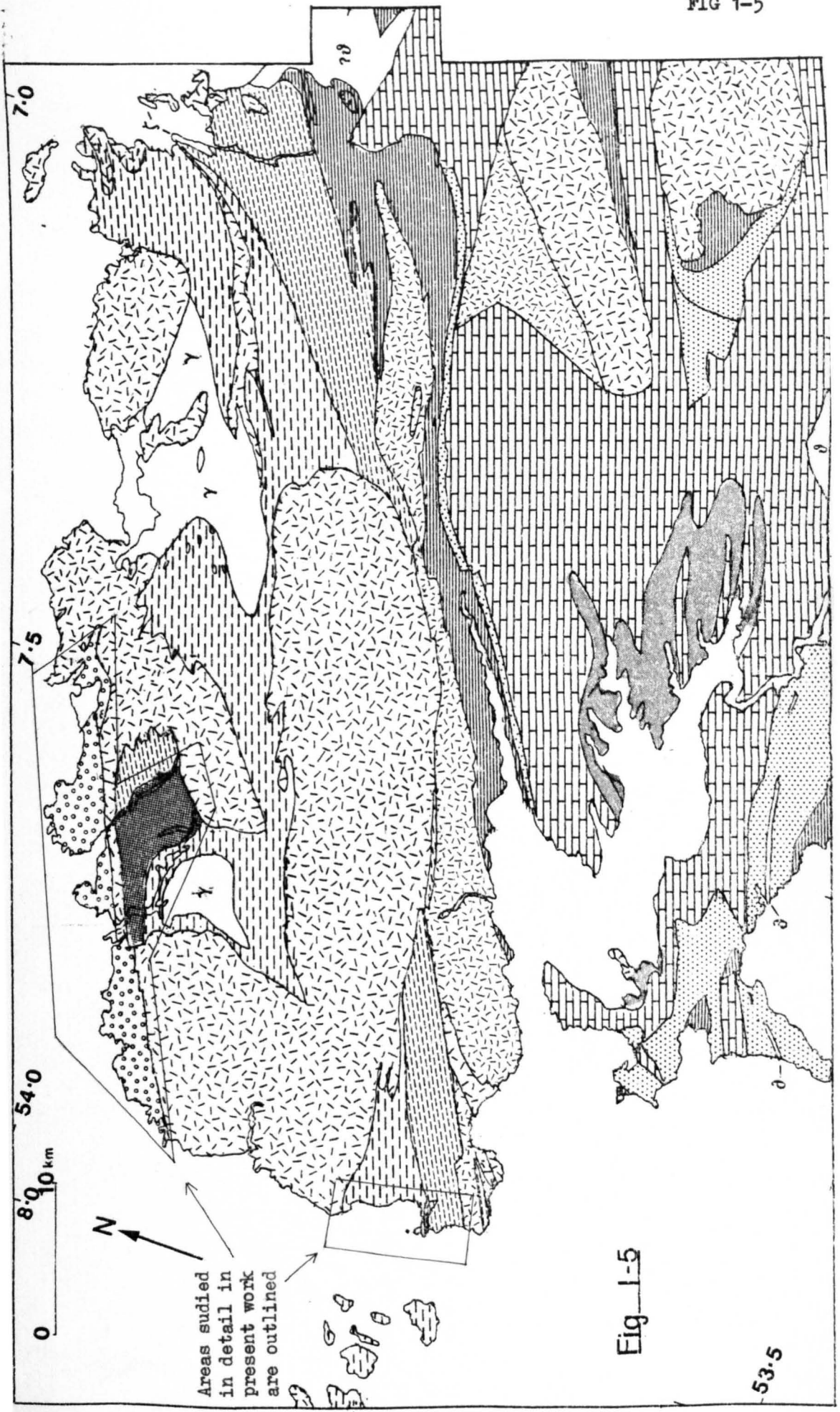
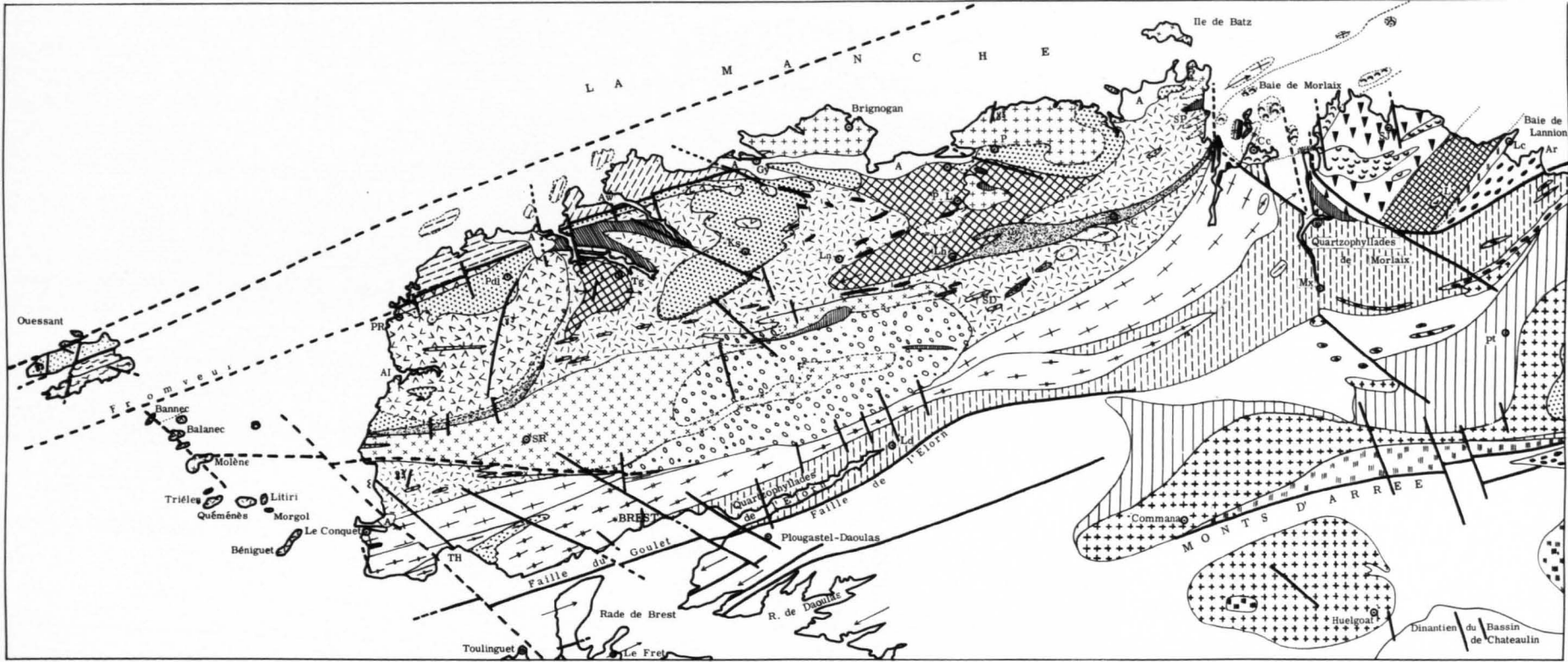


Fig 1-6 (facing page)
Geological map of the Pays de Léon.
After Chauris, 1967.



LE PAYS DE LEON ET LES REGIONS VOISINES Echelle : 1/320.000

Au N de la faille de l'Elorn, carte levée par L. CHAURIS, de 1958 à 1965
 Au S de cette faille, et à l'E de la Baie de Morlaix, carte établie
 d'après les feuilles au 80.000 de Brest, Morlaix et Lannion, modifiées.

AI	ABER ILDUT	Ld	LANDERNEAU	PR	PORSPODER
Ar	ARMORIQUE	Lh	LANHOUARNEAU	SC	Sté-CATHERINE
Aw	ABER WRAC'H	Ln	LESNEVEN	SD	St-DERRIEN
Cc	CARANTEC	Mx	MORLAIX	SJ	St-JEAN-DU DOIGT
Gy	GUISSENY	P	PLOUESCAT	SP	St-POL-DE LEON
Ks	KERNILIS	Pdl	PLoudalmezeau	T	TREMEAL
L	LANMEUR	P. L	PLOUNEVEZ-LOCHRIST	Tg	TREGLONOU
Lc	LOCQUIREC	Pt	LE PONTHOU	T. H	TREZ-HIR



Failles : filons (E = dolérite E3 = microgranite)

Passage progressif entre deux formations
Limite imprécise

Direction d'ensembllement



Dévonien (A = recouvrement récent)



Quartzophyllades de l'Elorn et de Morlaix



Gneiss de Brest



Micaschistes du Conquet



Gneiss et micaschistes de Lesneven



Amphibolites quartziques de l'Aber-wrac'h



Amphibolites et pyroxénites



Dômes de Tréglonou et de Lanhuarneau



Migmatites de Plouguerneau

Granite porphyroïde de Plouescat
avec bordure de granite à 2 micas
("granulite")

Granite de St-Renan



Granite de Kersaint

Granodiorite dans le granite
de St-Renan-KersaintZone écrasée dans les massifs
de St Renan-Kersaint

Granite du Trez-Hir



Granite de Carantec (E) (E = faciès à tourmaline)



Granite de Lanmeur (E)



Granite de l'Aber - Ildut avec faciès de bordure

Granite à deux micas ("granulite")
de Ploudalmézeau et de Kernilis

Granite de Ste-Catherine

FORMATIONS PARTICULIERES

AUX REGIONS VOISINES DU PAYS DE LEON

1) Trégor



Carbonifère du Dourdu



Dolérite de Barnenez



Gabbro de St-Jean-du Doigt



Schistes verts et amphibolites



Schistes arkosiques de Locquirec



Pentevrien de Locquirec

2) Arrée



Briovérien du Relec et de Callac



Gneiss du Ponthou



Granite de Commana et du Huelgoat

OUESSANT



Micaschistes



Granite à biotite dans les micaschistes



Granite à deux micas

Fig 1-7 (facing page)

Geological map of the Massif Granitique de L'Aber-Ildut and adjacent areas.

After Chauris, 1966b.

CARTE STRUCTURALE DU SECTEUR DES ABERS (Nord-Finistère)

La région des Abers est constituée d'une série métamorphique très ancienne, mésozonale (micaschistes et amphibolites quartziques), soumise aux granitisations (migmatites) hercyniennes. On y reconnaît la superposition de quatre étapes structurales essentielles, qui sont, des plus jeunes aux plus anciennes :

— phase IV (cf. fig. 1) : flexuration synclinale le long d'un axe mylonitique dirigé ENE-WSW, et séparant la région des Abers en deux secteurs, l'un méridional à pendages modérés vers le Nord, l'autre septentrional à pendages moyens vers le SE. Des fractures nombreuses s'associent ou succèdent à cette phase;

— phase III (cf. fig. 4) : plissement isooclinal du NW vers le SE, selon un axe semi-mylonitique orienté NE-SW et recoupé obliquement par l'axe mylonitique de la phase IV (cf. fig. 6). Des failles, jalonnées parfois par des venues granitiques syntectoniques, achèvent cette phase dont le déroulement perturbe les migmatisations hercyniennes en cours d'évolution;

— phase II (cf. fig. 10) : plis couchés du Nord vers le Sud, dont les structures synformes et antiformes primitives, orientées E-W et visibles dans le secteur méridional, se retrouvent dans le secteur septentrional désorientées et inversées, plongeantes vers le NE, par suite du jeu synclinal IV (cf. fig. 12 et 13). Le métamorphisme mésozonal appartient à cette période et ses foliations se parallélisent aux plans axiaux. A la base de cet ensemble se note une importante surface de cisaillement symmétamorphe, constituée de brèches métamorphiques à grenats transformées en agmatites sous l'effet des migmatisations hercyniennes;

— phase I (cf. fig. 18) : plis couchés primitifs, de direction axiale originelle Nord-Sud, discernables en grand dans le secteur septentrional grâce au plongement vers le NE des structures liées à la phase II, dans la région de l'Estuaire de l'Aber Wrac'h et au niveau des îles de la Croix (cf. fig. 19). Le métamorphisme devait y être moins intense (ou moins profond) que lors de la phase II car les résidus en sont rares et les foliations qui subsistent se parallélisent à la lithologie déformée plutôt qu'aux plans structuraux.

Les phases I et II, anté-hercyniennes, sont rapportées aux cycles pentévrien et cado-mien (antécambriens).

Les phases III et IV, contemporaines ou postérieures aux dernières étapes de la granitisations appartiennent à l'orogenèse hercynienne.

Fig 1-8 (facing page)

STRUCTURAL MAP OF LES ABERS DISTRICT

From Cogné and Shelley, 1966.

**CARTE STRUCTURALE DU SECTEUR
DES ABERS**

(Nord - Finistère)

(d'après D SHELLEY 1964)

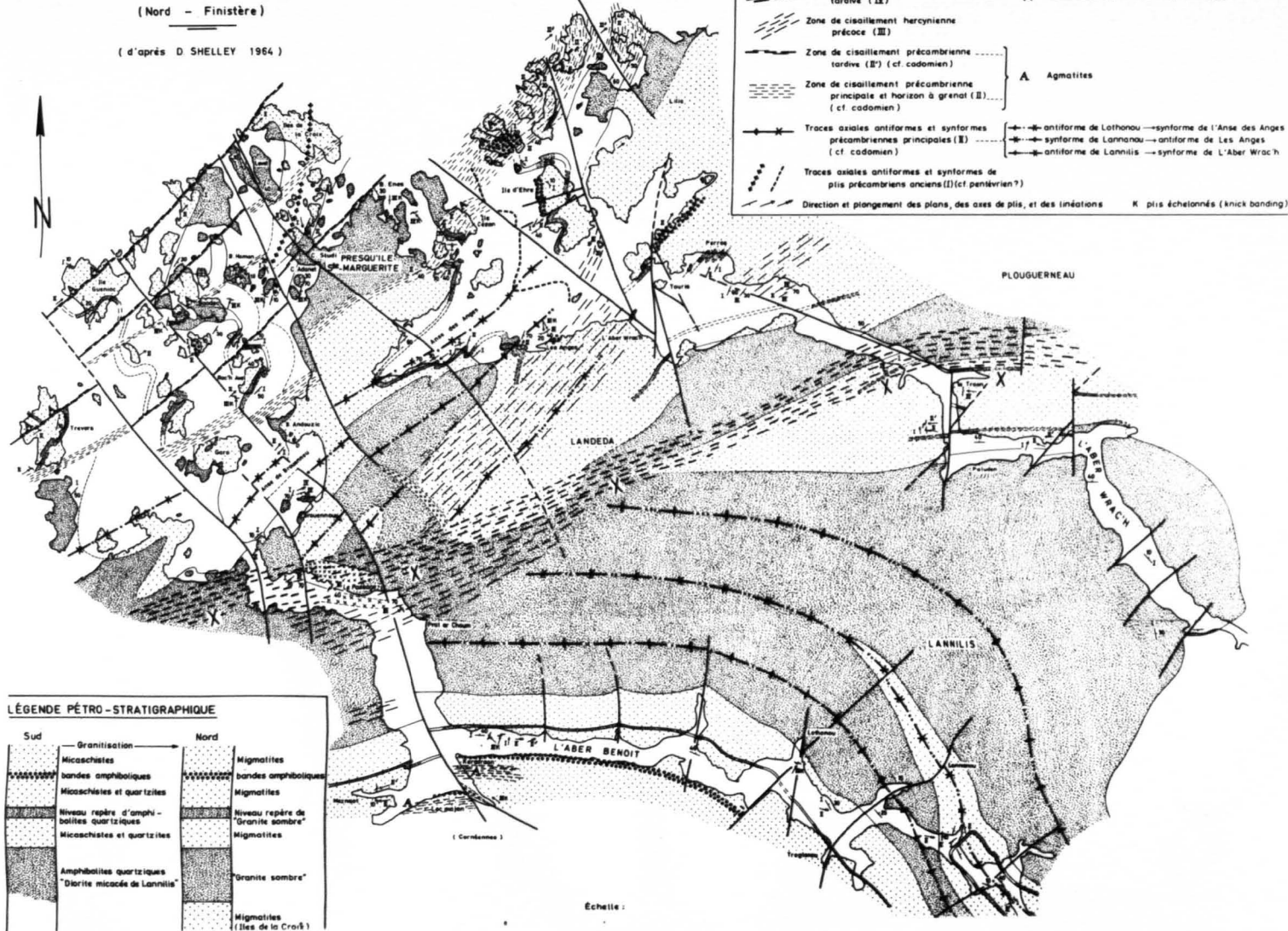


FIG 1 - 9

KEY

PLOUGUERNEAU SHEET (40)	INDEX	BREST SHEET (57)		
(SUPERFICIAL DEPOSITS)	b	(SUPERFICIAL DEPOSITS)		
	A	MICROGRANITE		
	D	GRANITE DE ST RENAN		
GRANITE DE L'ABER-ILDUT ditto, écrasé	F Fz	GRANITE ROSE PORPHYROÏDE ditto, faciès mylonitique	Massif granitique de L'Aber-Ildut	
	H	GRANITE INTERMÉDIAIRE		
GRANITE A DEUX MICAS (granulite)	J	GRANITE DE PLOUDALMÉZEAU		
ditto, écrasé	Jz	ditto, faciès mylonitique		
GRANITE DE KERLOUAN	K			
MICA-SCHISTES DE L'ABER- WRAC'H	M	MICA-SCHISTES ET GNEISS DU CONQUET		
GNEISS ET MICA-SCHISTES DE LESNEVEN	N	GNEISS DE LESNEVEN		
GNEISS DE GOULVEN ET PLOUNEVÉZ-LOCHRIST	Q	GNEISS DE TRÉGLONOU ET DE LANHOUARNEAU		
AMPHIBOLITES ET PYROXENITES	S	AMPHIBOLITES		
AMPHIBOLITES QUARTZIQUES DE LANNILIS	T		Complexe migmatitique de Landunvez	
	T1	AMPHIBOLITES QUARTZIQUES DE LANNILIS		
	T2	AMPHIBOLITES QUARTZIQUES (AGMATITES)		
GRANITE A DEUX MICAS ASSOCIÉ AUX MIGMATITES	U	GRANITE A GRAIN FIN		
MIGMATITES DE PLOUGUERNEAU	W	GRANITE MIGMATITIQUE		
GRANITE MIGMATITIQUE	W1			
	E	GRANITES DE LANNILIS		

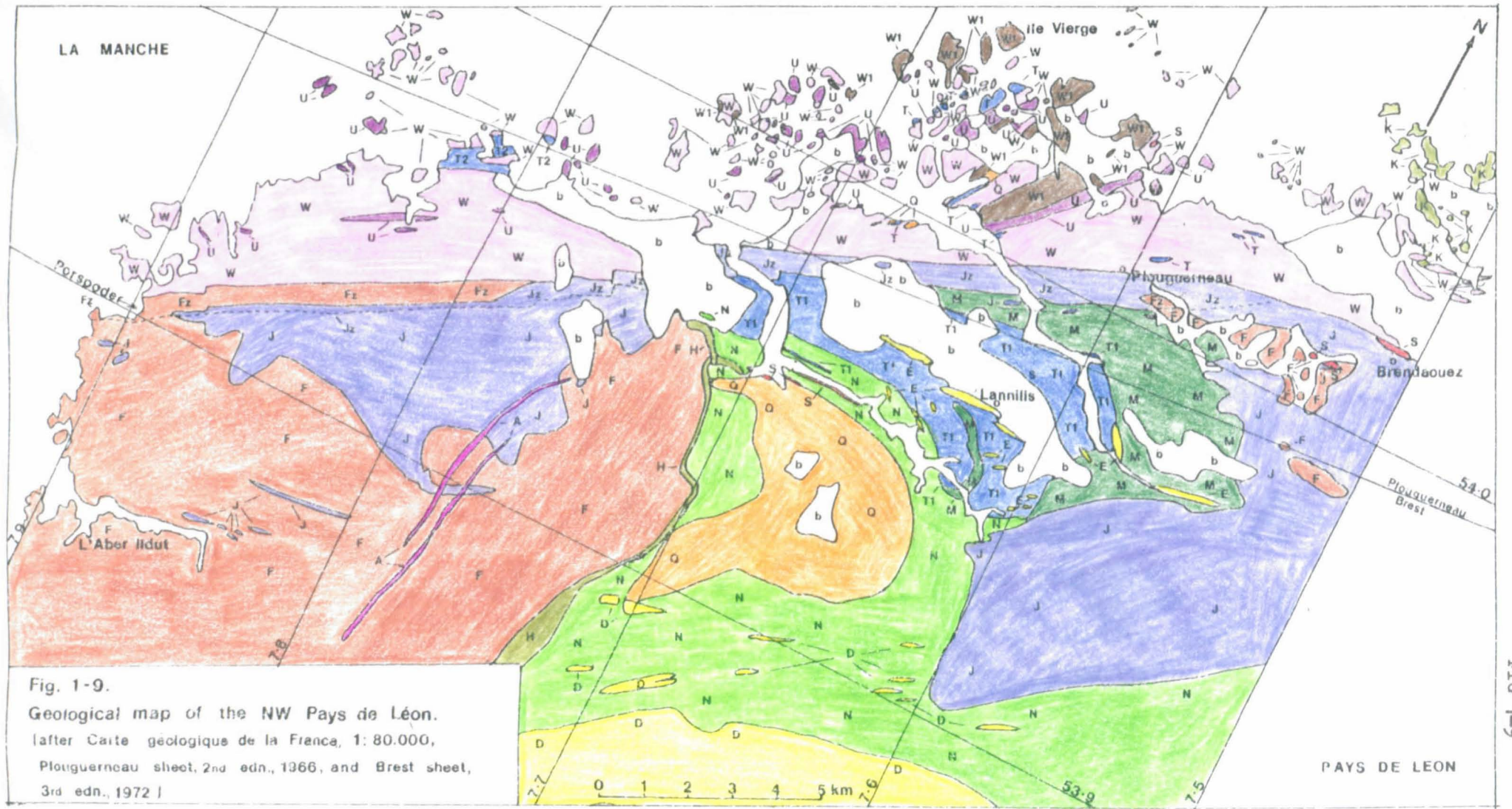
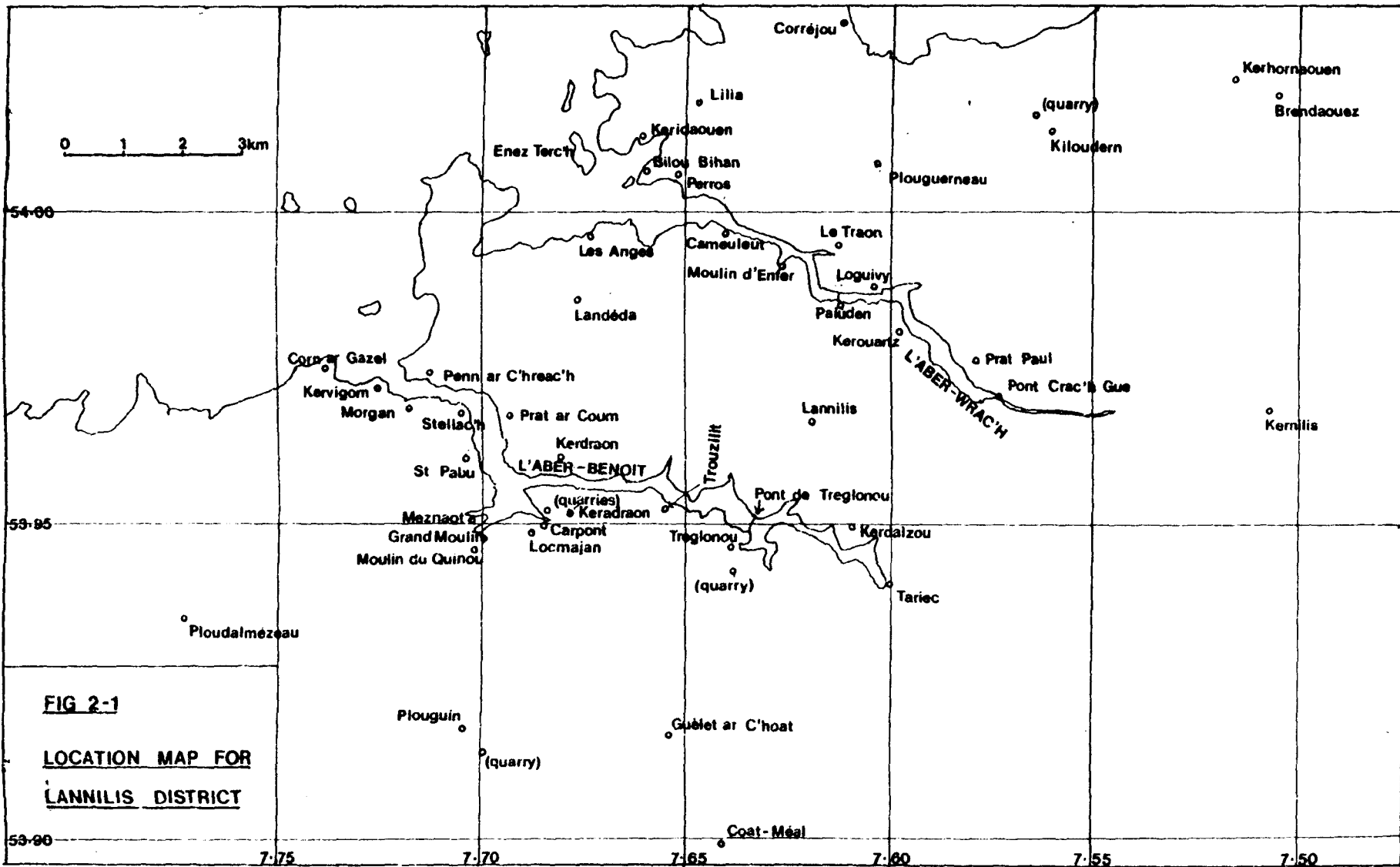


Fig. 1-9.

Geological map of the NW Pays de Léon.
 (after Carte géologique de la France, 1:80.000,
 Plouguerneau sheet, 2nd edn., 1966, and Brest sheet,
 3rd edn., 1972.)



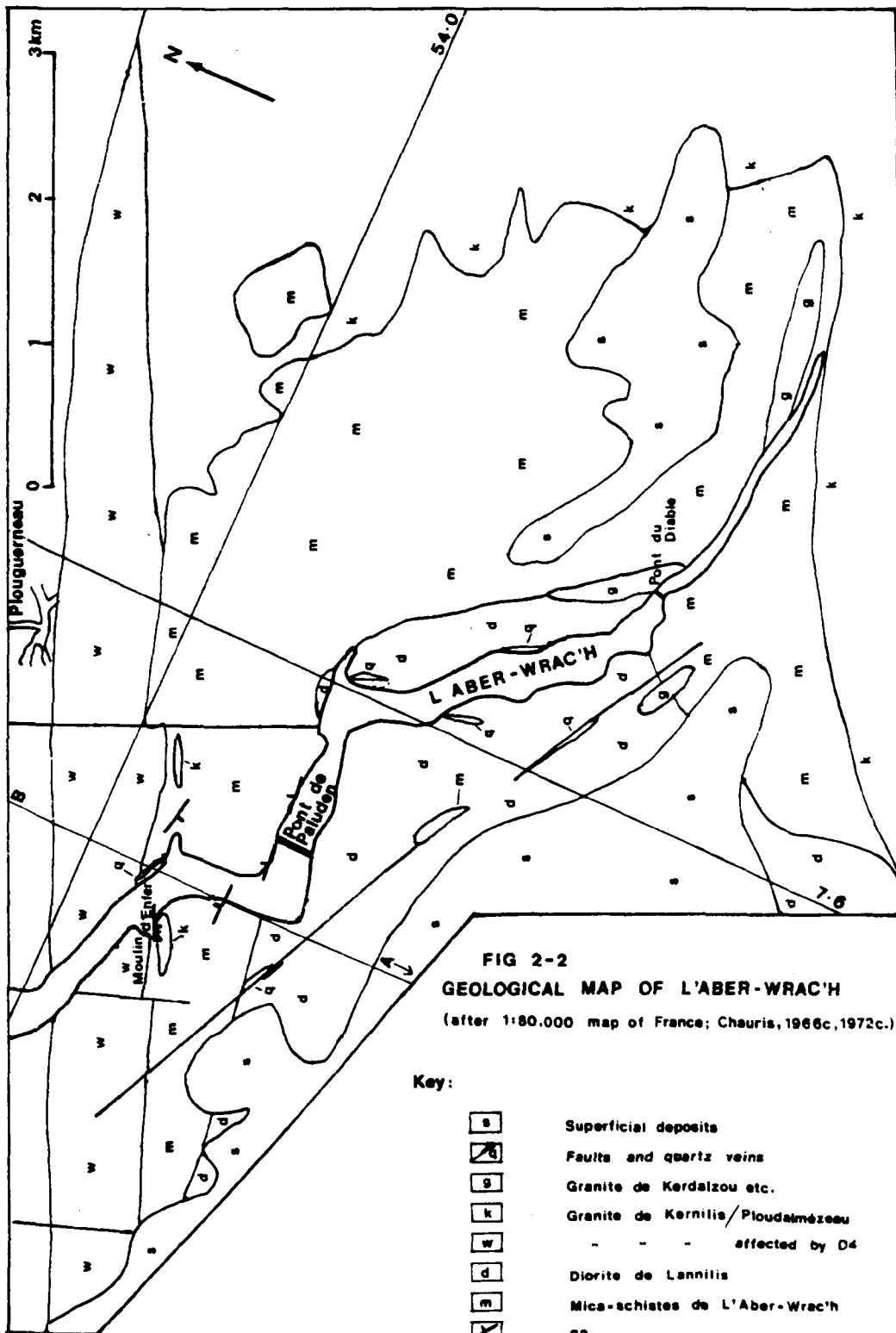


FIG 2-2
GEOLOGICAL MAP OF L'ABER-WRAC'H
(after 1:80,000 map of France; Chauris, 1966c, 1972c.)

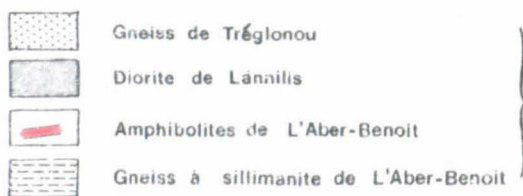
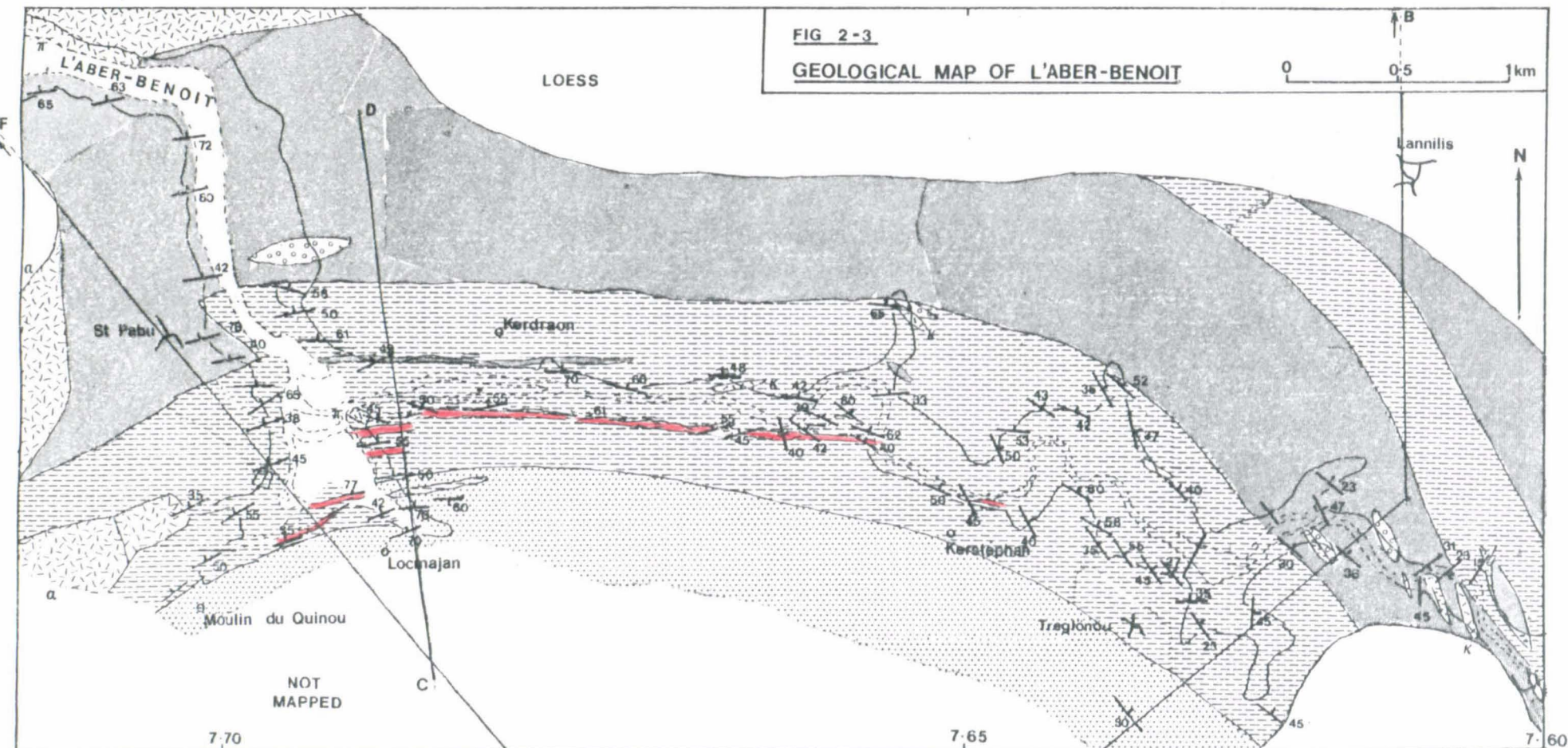
Key:

	Superficial deposits
	Faults and quartz veins
	Granite de Kerdalzou etc.
	Granite de Kernilis / Ploudalmézeau
	- - - affected by D4
	Diorite de Lannilis
	Mica-schistes de L'Aber-Wrac'h
	S2

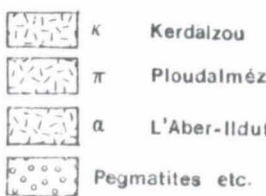
A — B Line of section on Fig. 2-4

FIG 2-3

GEOLOGICAL MAP OF L'ABER-BENOIT



COMPLEXE
METAMORPHIQUE
DE LANNILIS



POST-M2
GRANITES

S2 foliation
Line of section
C — D on fig. 2-4

FIG 2-3

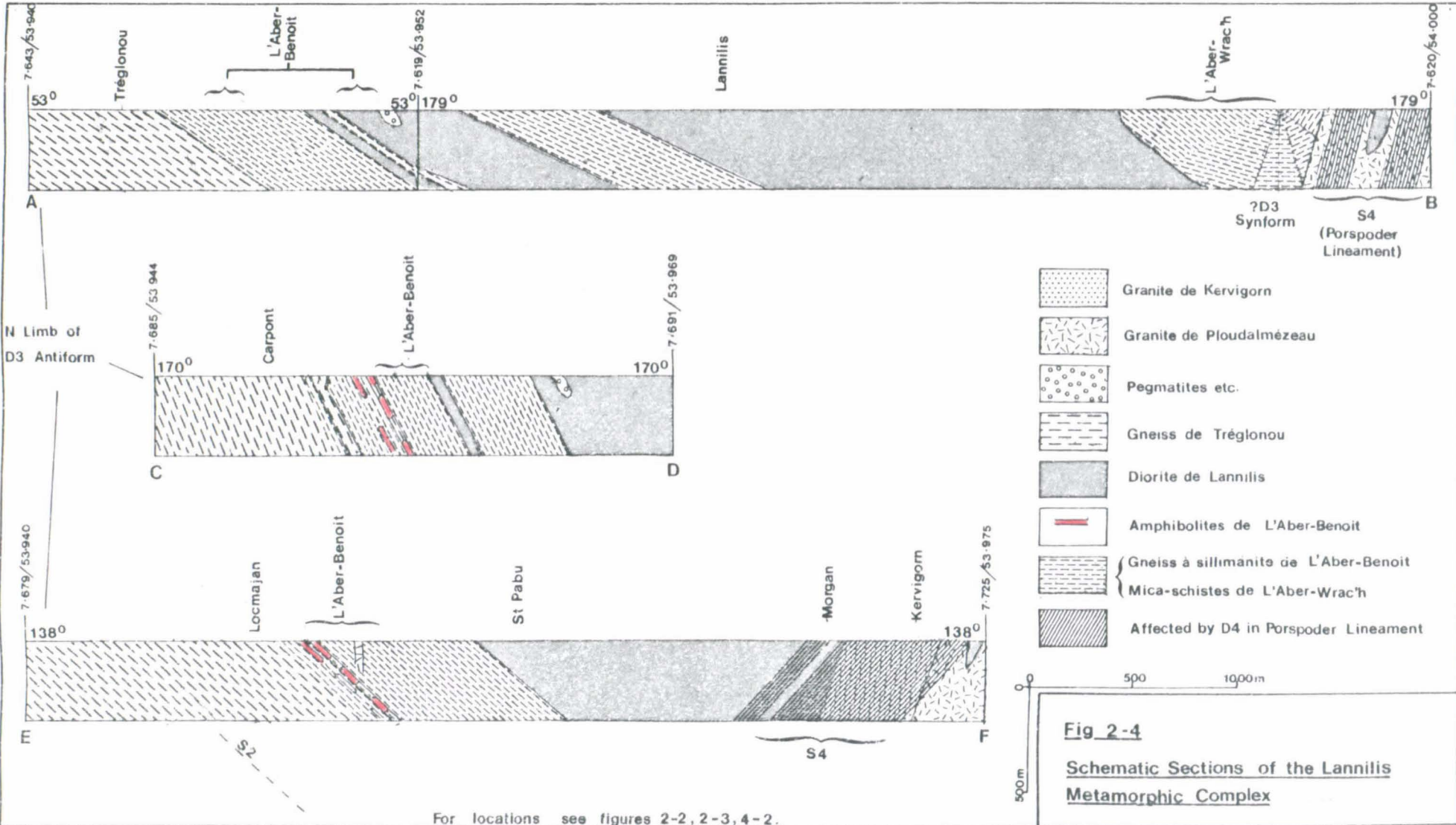
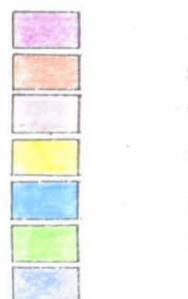
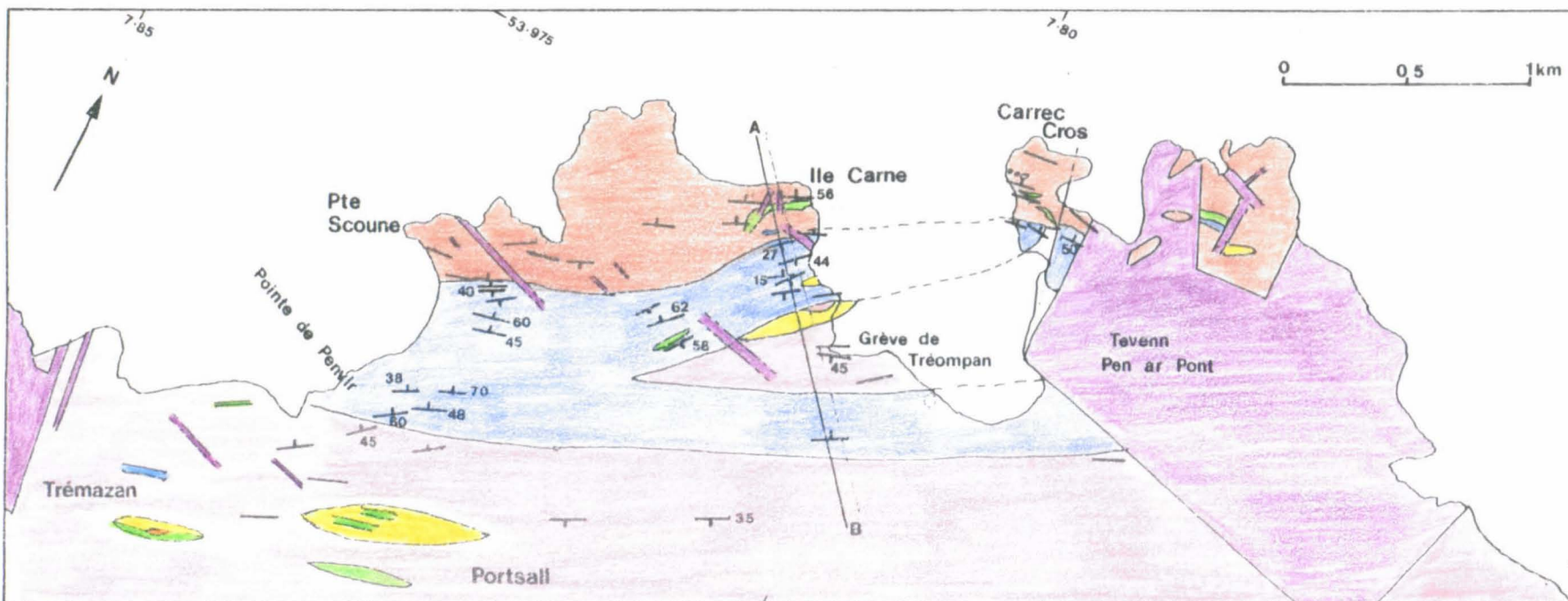


FIG 3-1

LOCATION MAP OF NW COAST OF THE
PAYS DE LEON





Granite de Landunvez

Migmatites de Plouguerneau

A — B Line of section (fig 3-3)

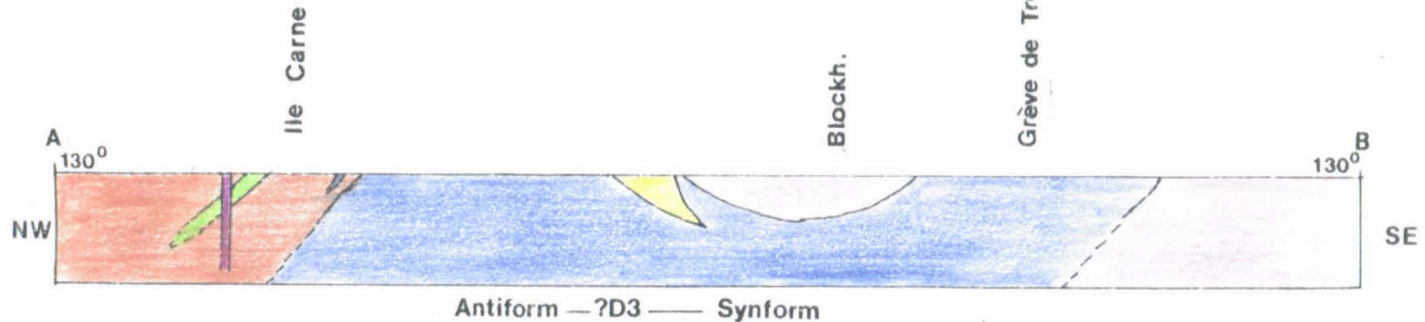
Trend of feldspar orientation in Granite de Landunvez

Feldspar orientation

S2 Foliation in Diorite de Portsall

Fig. 3-2

GEOLOGICAL MAP OF THE PORTSALL AREA



Key as fig 3-2.

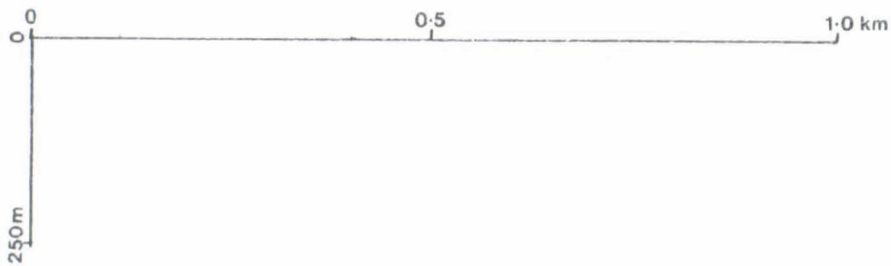


Fig 3-3

Schematic Cross-section through
Diorite de Portsall

FIG 5-4 GEOLOGICAL MAP OF THE GUISSENY AREA

	<i>f</i>	----- cf GRANITE DE KERNILIS]
		----- GRANITE DE BRIGNOGAN	
	<i>2</i>	----- cf GRANITE DE BRIGNOGAN (WESTERN PART OF AREA)	
		----- UNDIFFERENTIATED GRANITIC ROCKS	
		----- DISCORDANT SHEETS OF GRANITE cf. ADAMELLITE DE STE MARGUERITE	
	<i>φ</i>	----- LEUCOGRAINATE AT LE ZORN]
		----- LEUCOGNEISS AND LEUCOGRAINATE	
		----- COARSE BANDED LEUCOGNEISS OF DIBENNOU	
		----- FINE OR MAFIC PALAEOSOME AGMATITES (WHERE DISTINGUISHED)	
		----- GENERALLY COARSE PALAEOSOME AGMATITES	
	<i>5</i>	----- BIOTITE-AMPHIBOLITE AGMATITE AT LE ZORN]
		----- BANDED BIOTITE GNEISSES OF METATEXITIC TYPE	
		----- UNDIFFERENTIATED MIGMATITIC ROCKS INCLUDING INTIMATE ASSOCIATIONS OF ABOVE TYPES	
		----- PLUNGE OF POST-MIGMATITIC FOLDS	
		----- ATTITUDE OF PROMINENT PLANAR STRUCTURES	

GRANITIC ROCKS

MIGMATITES DE PLOUGUERNEAU

FIG 3-4

GEOLOGICAL MAP OF THE GUISSENY AREA

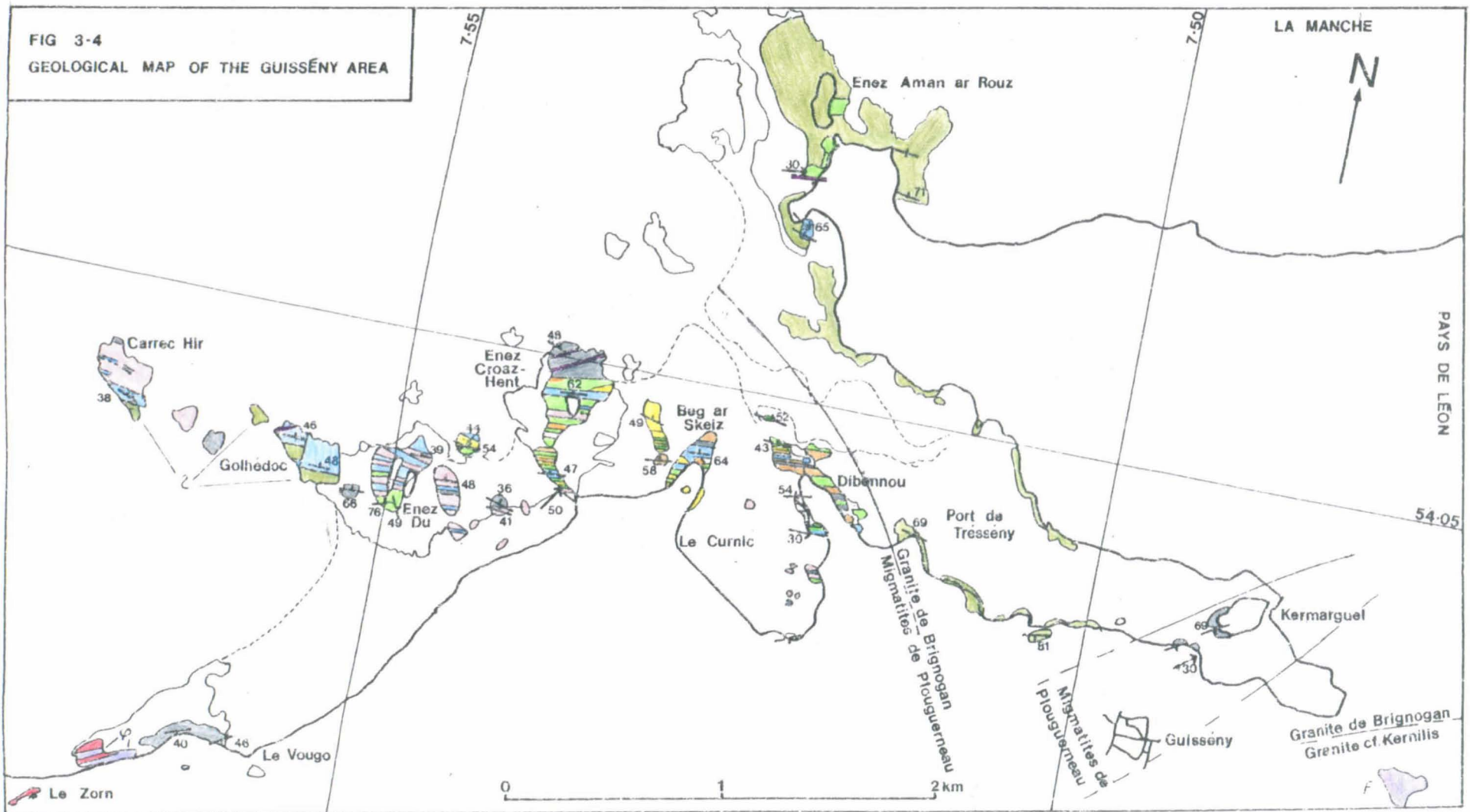
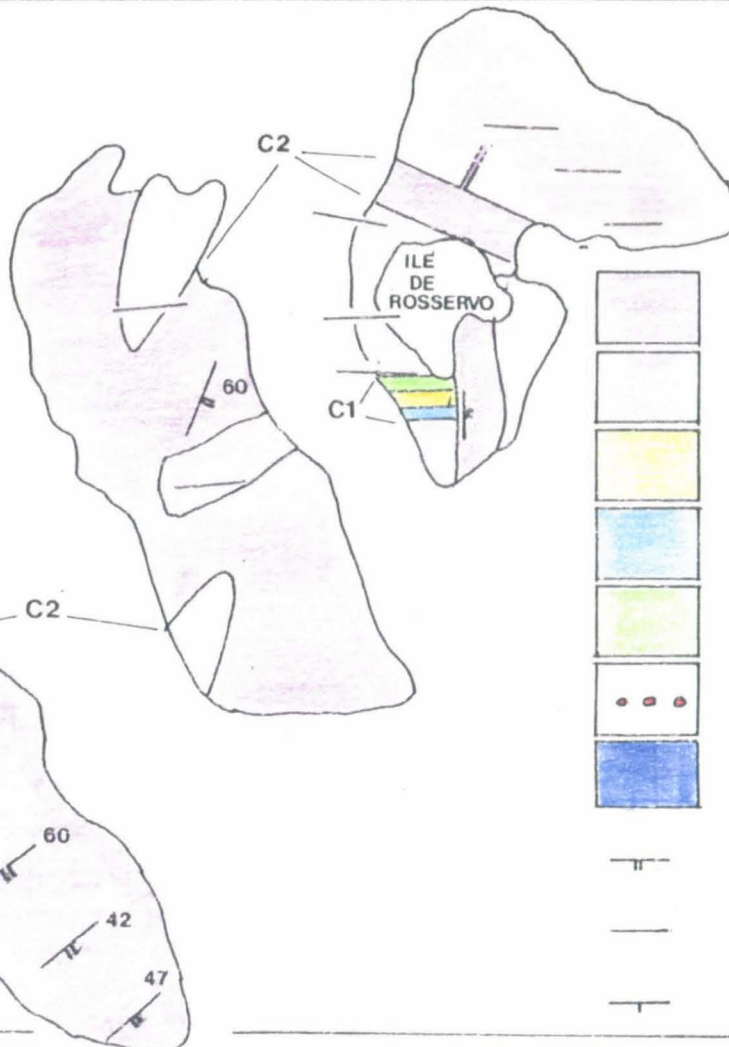
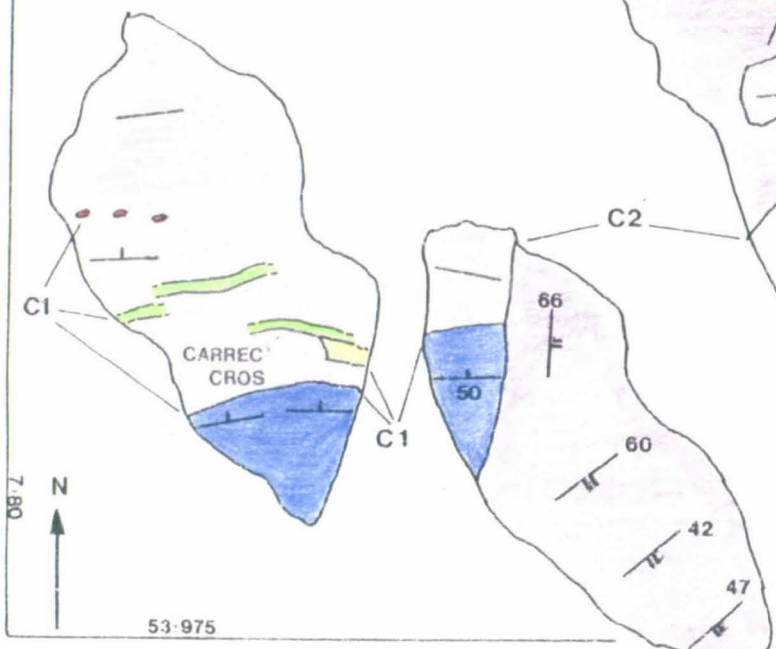


FIG 3-4

FIG 3-5

INTRUSIVE CONTACTS
AT CARREC CROS

0 200 400m



C2
C1
Successive intrusive contacts

Adamellite de Ste Marguerite
Granite de Landunvez (Scoune facies)

Leucogranite
Agmatites
Sillimanite gneiss
Amphibolites

Migmatites de Plouguerneau

Diorite de Portsall



— Close parallel jointing

— Feldspar orientation

S2

FIG 3-5



Granite de Kern an Guen



Adamellite de Ste Marguerite



Granite de Landunvez (Trémazan facies)



Agmatites



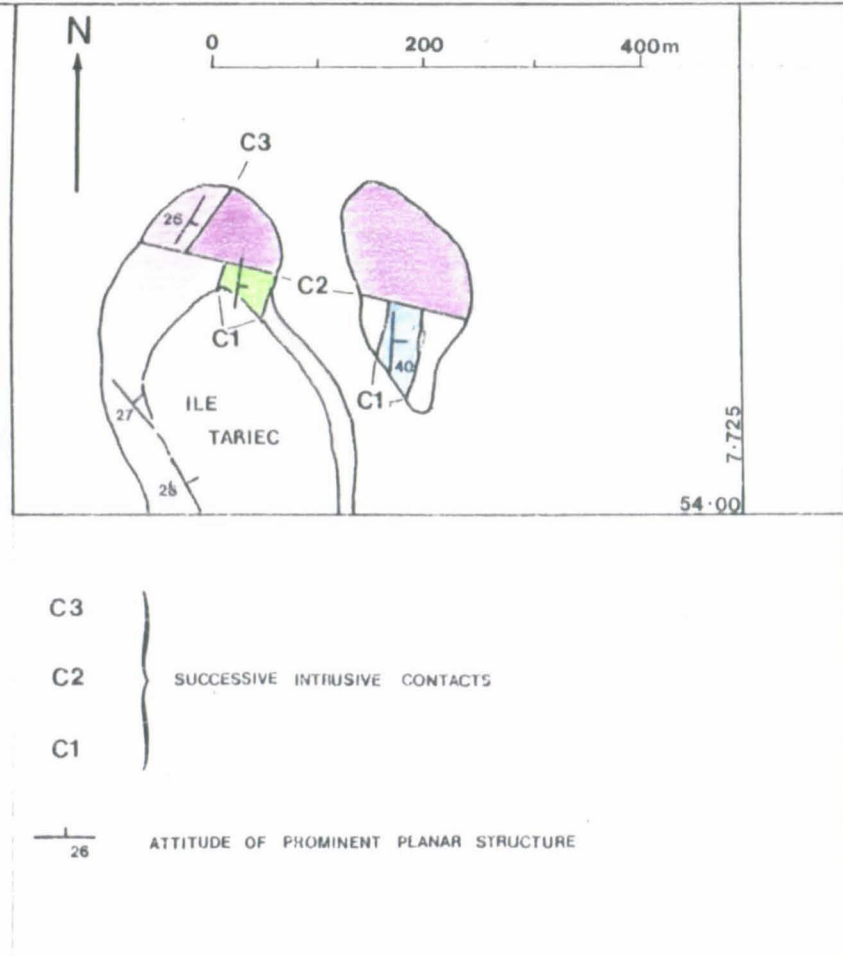
Sillimanite gneiss

Migmatites de Plouguerneau

FIG. 3-6

INTRUSIVE CONTACTS AT

ILE TARIEC



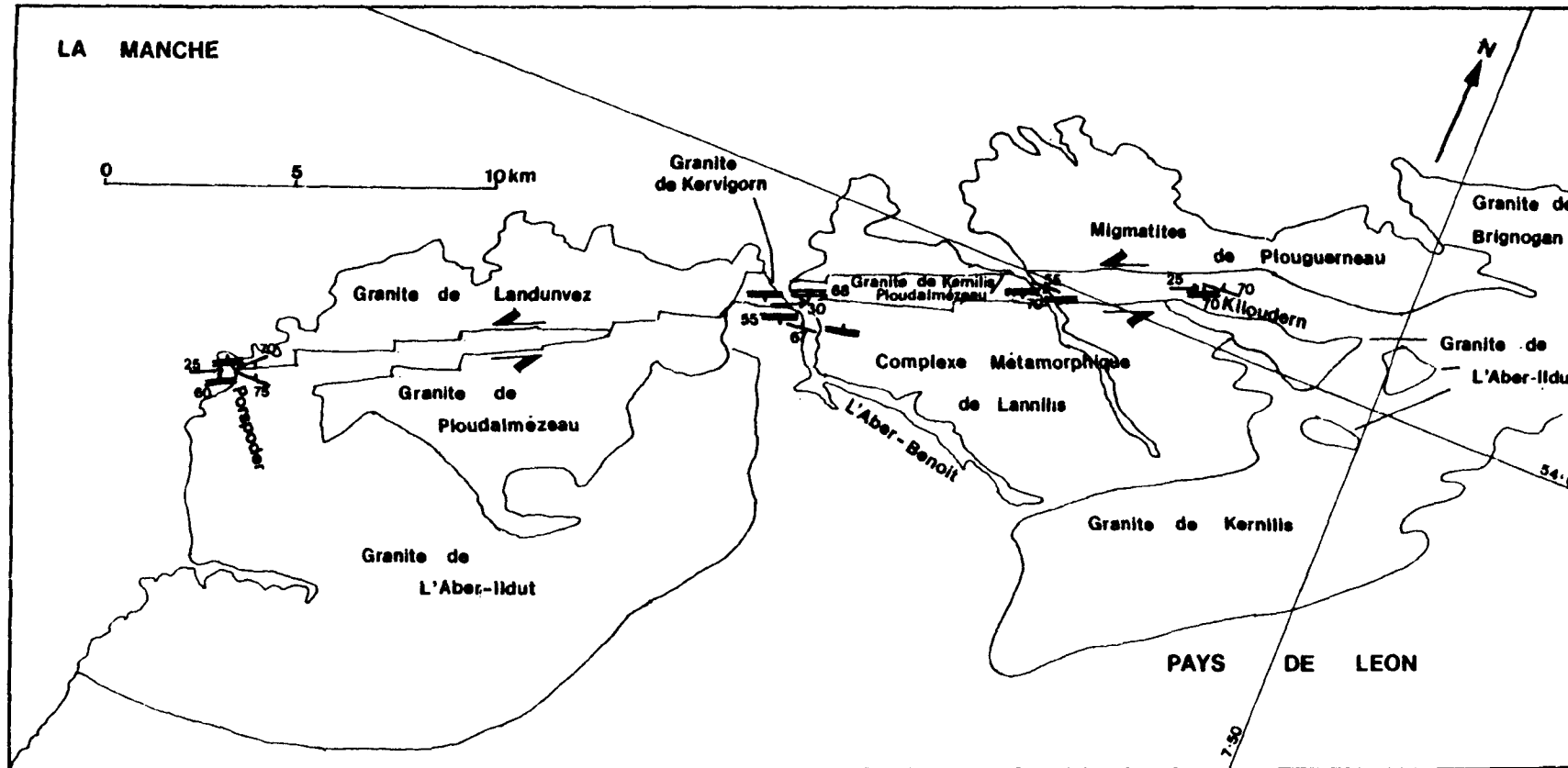
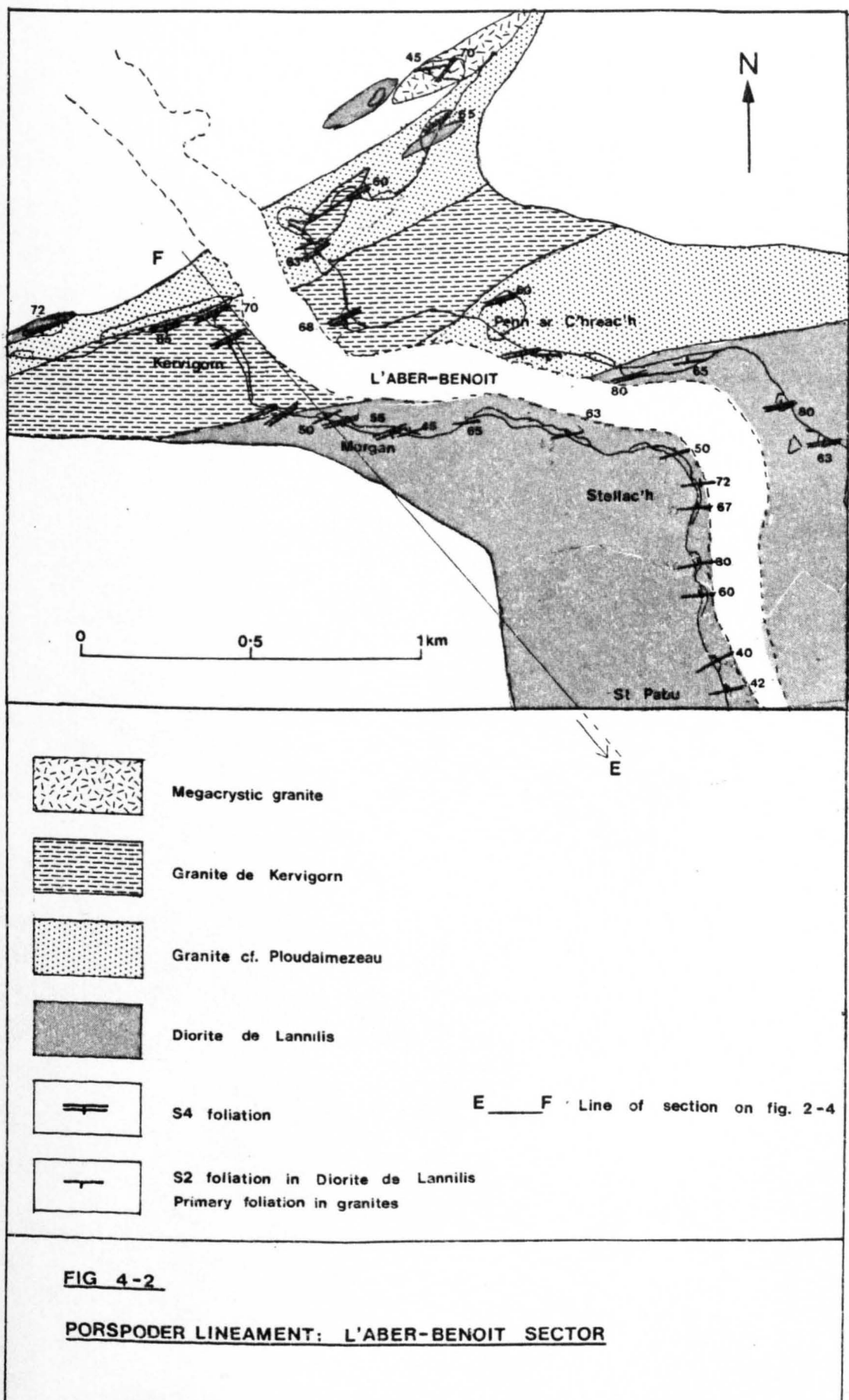


FIG 4-2



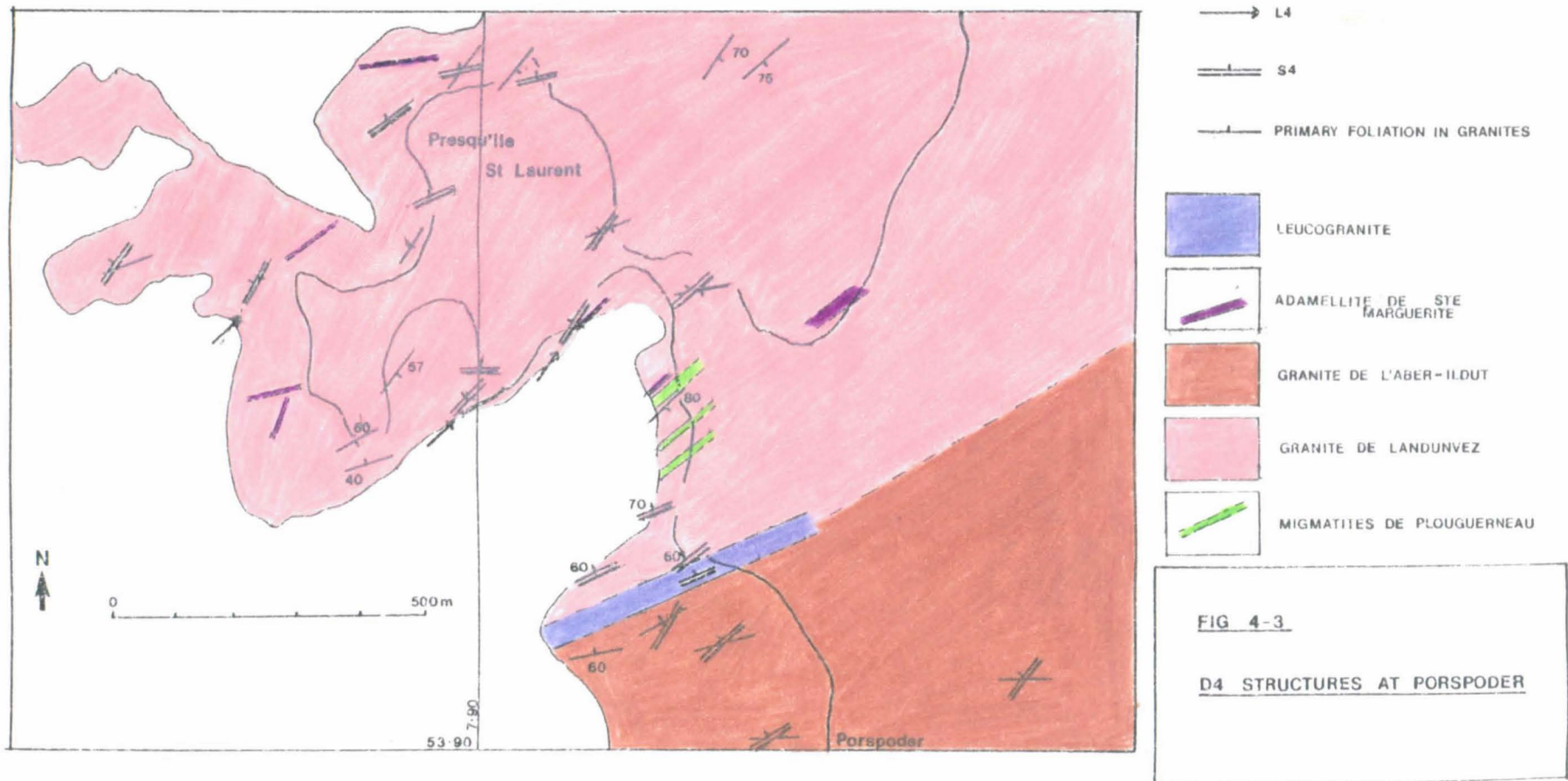


FIG 4-3

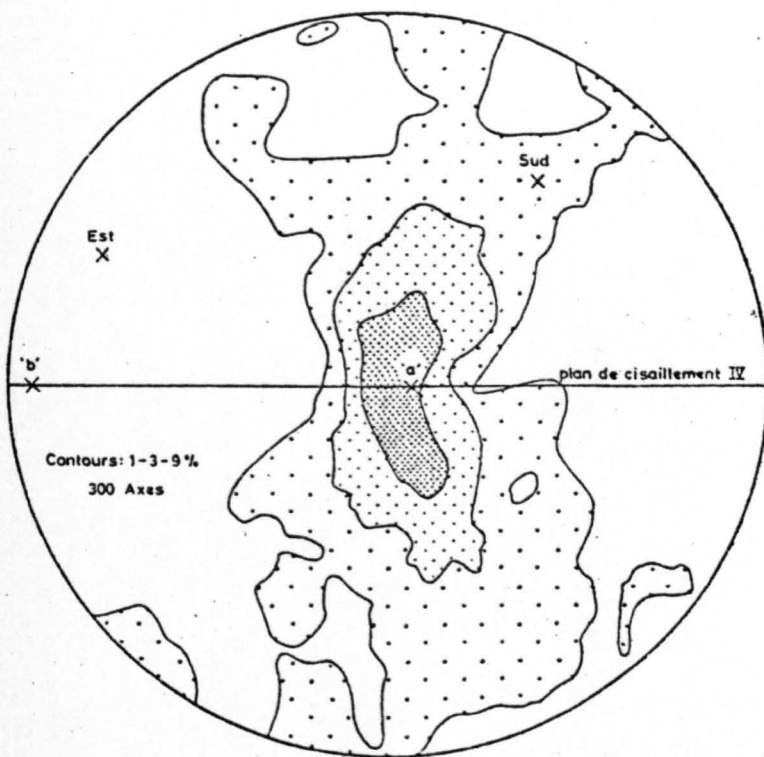


Diagramme pour 300 axes de quartz dans une mylonite (IV)
près de Le Passage (diagramme de Schmitt, hémisphère inférieur).

Fig 4-4

QUARTZ C-AXES IN A MYLONITE

Le Passage (Pen ar Creac'h)

After Cogne and Shelley, 1966.

FIG 4-5

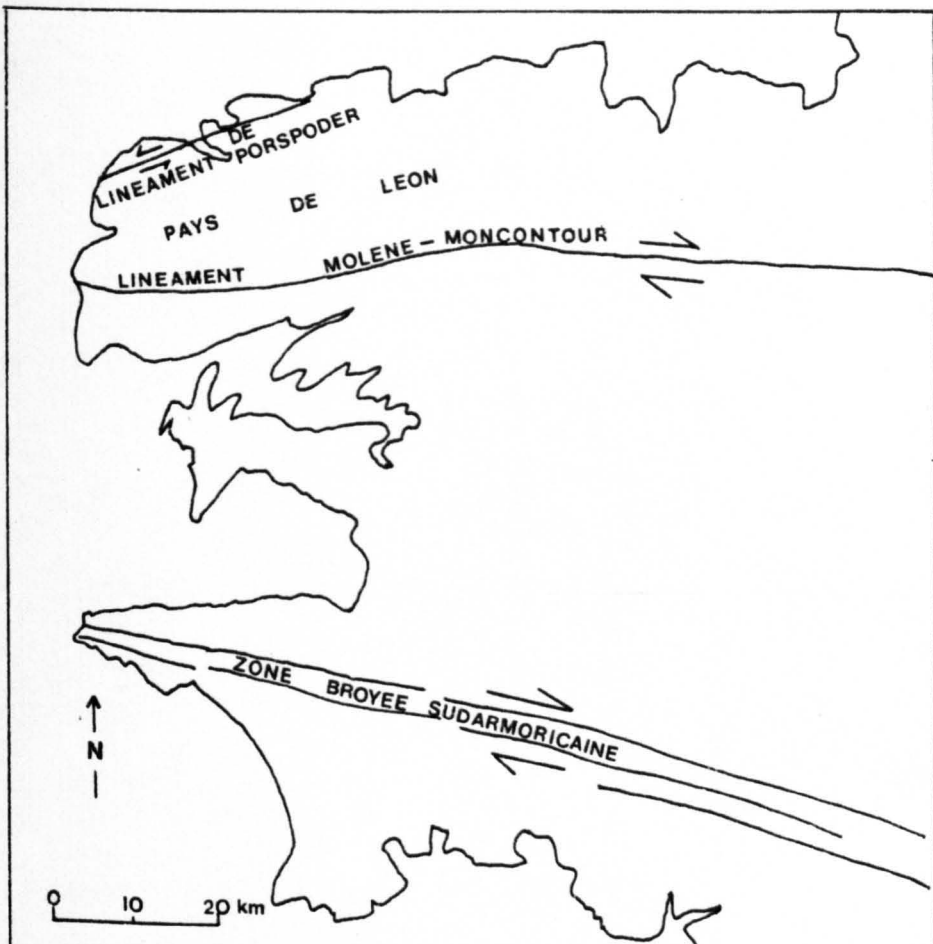
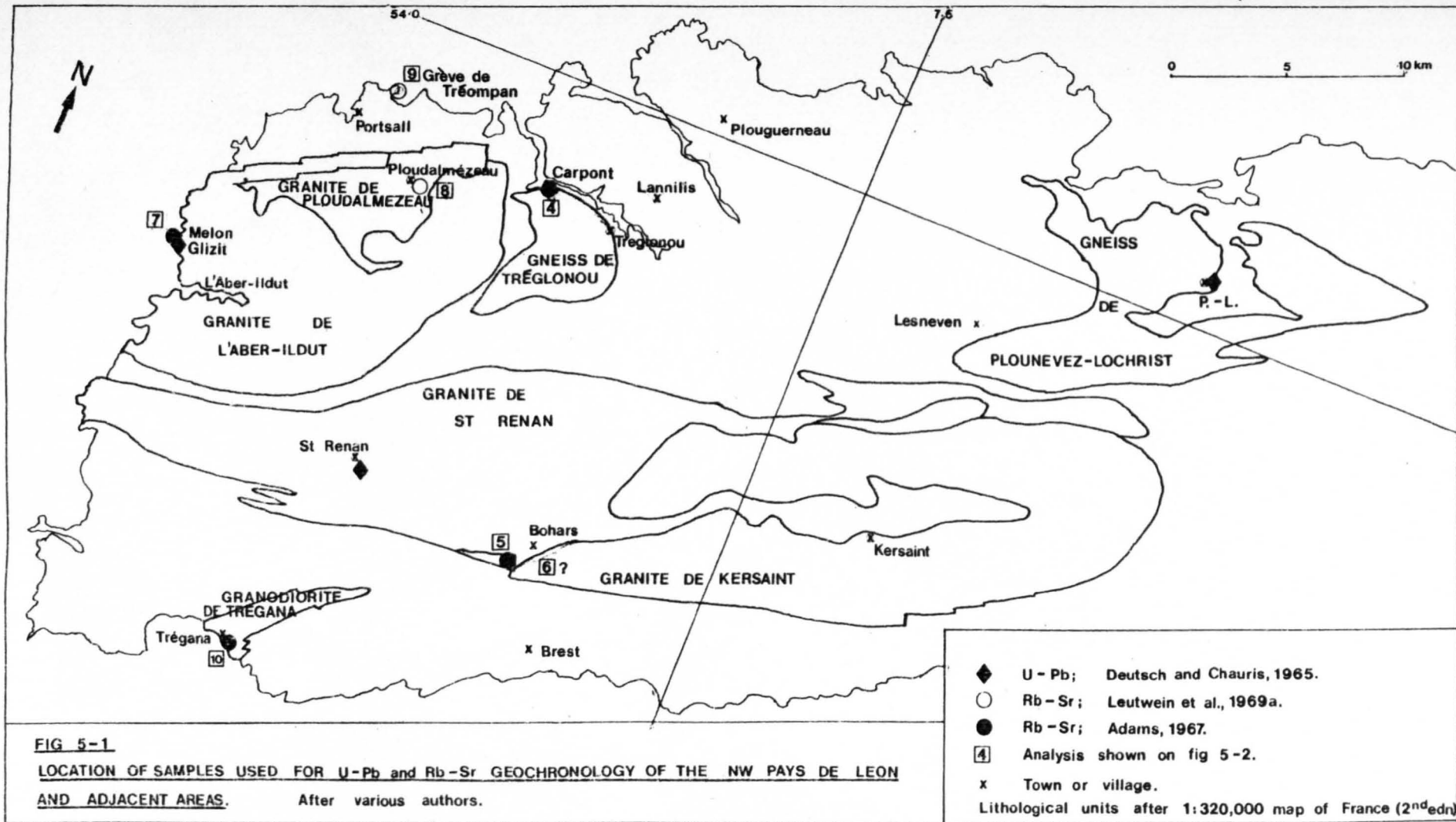
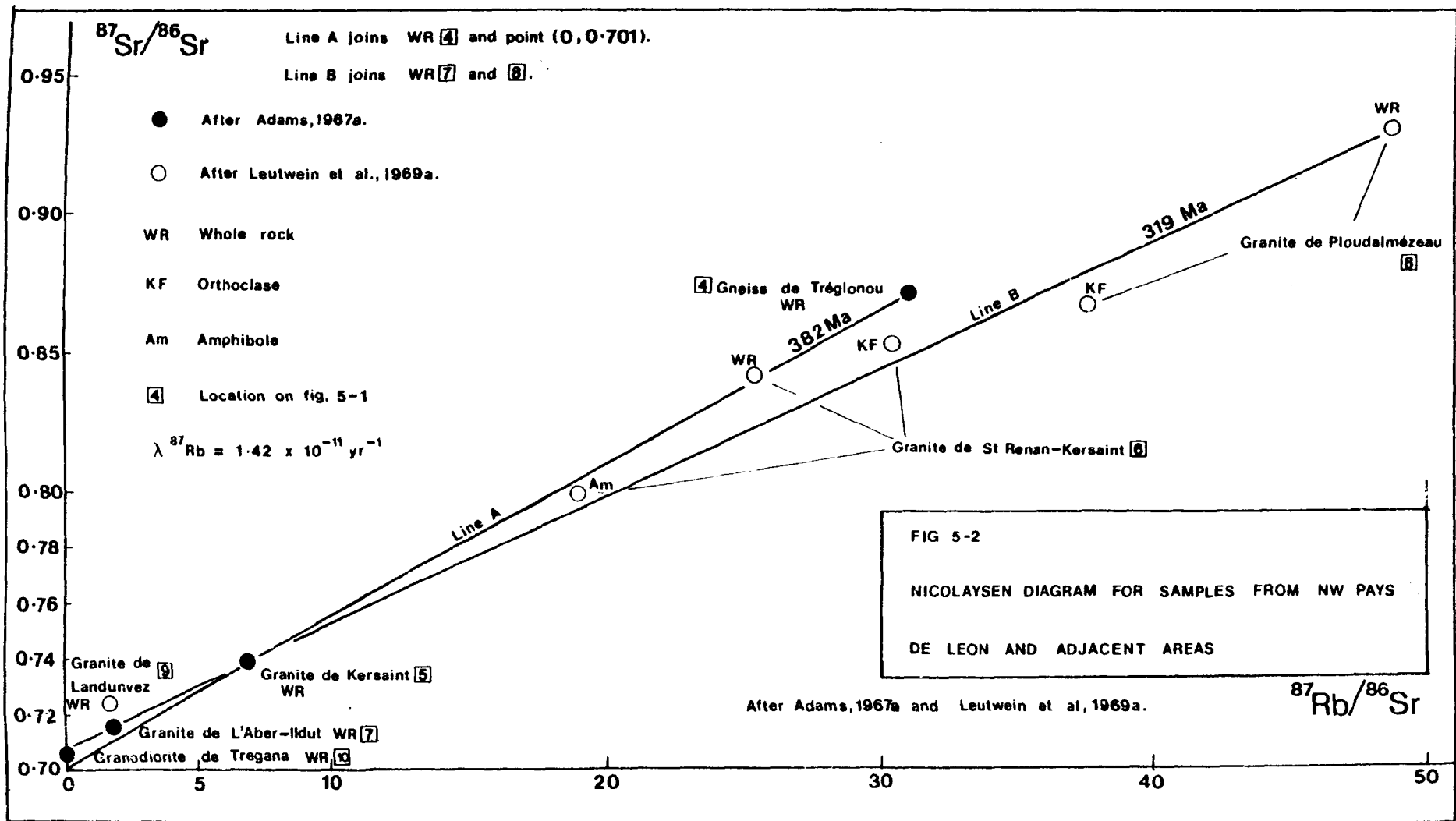


FIG 4-5

MAJOR TRANSCURRENT FAULTS IN WEST BRITTANY

After Rolet, 1977





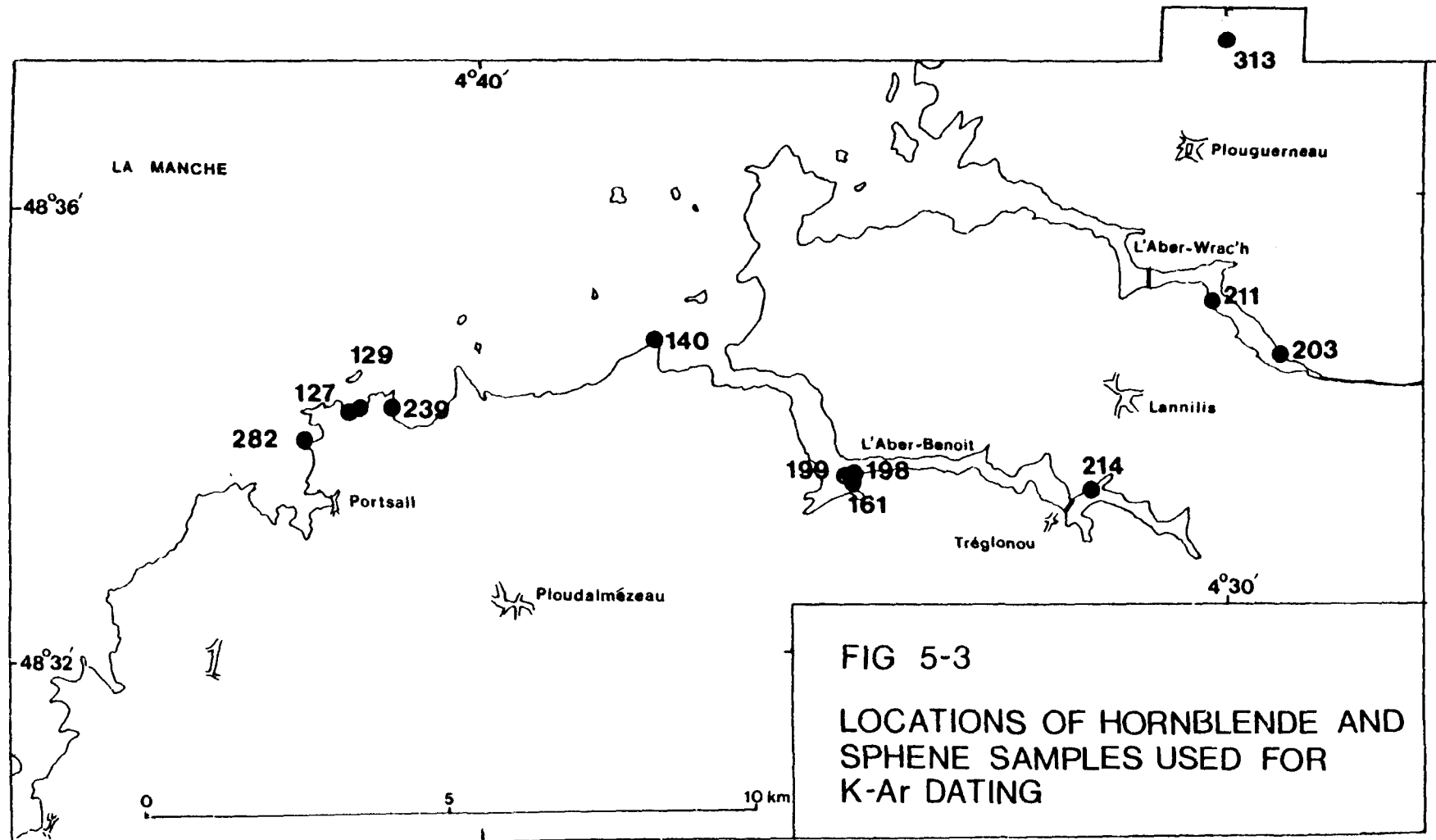


FIG 5-3

LOCATIONS OF HORNBLENDE AND SPHENE SAMPLES USED FOR K-Ar DATING

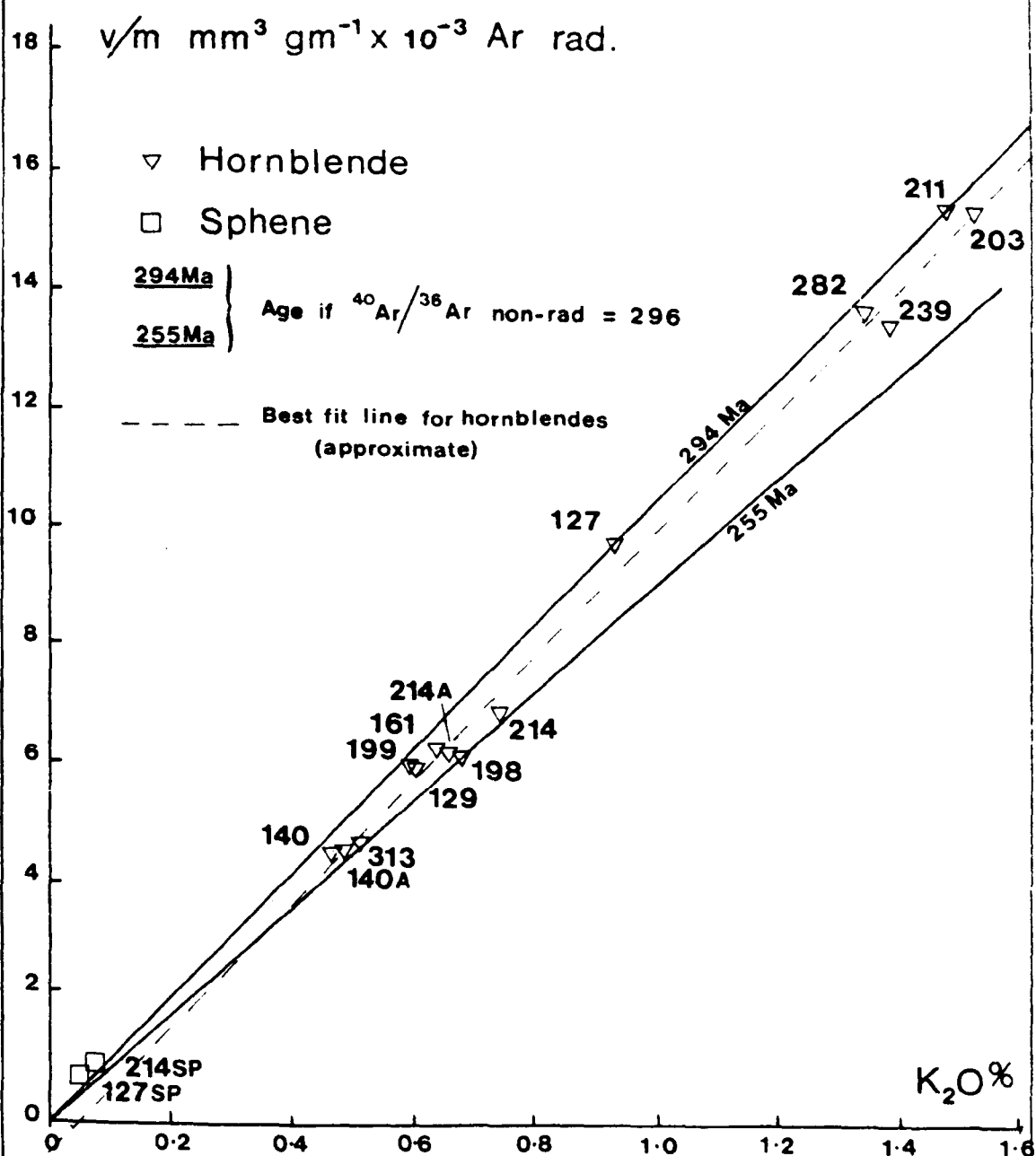


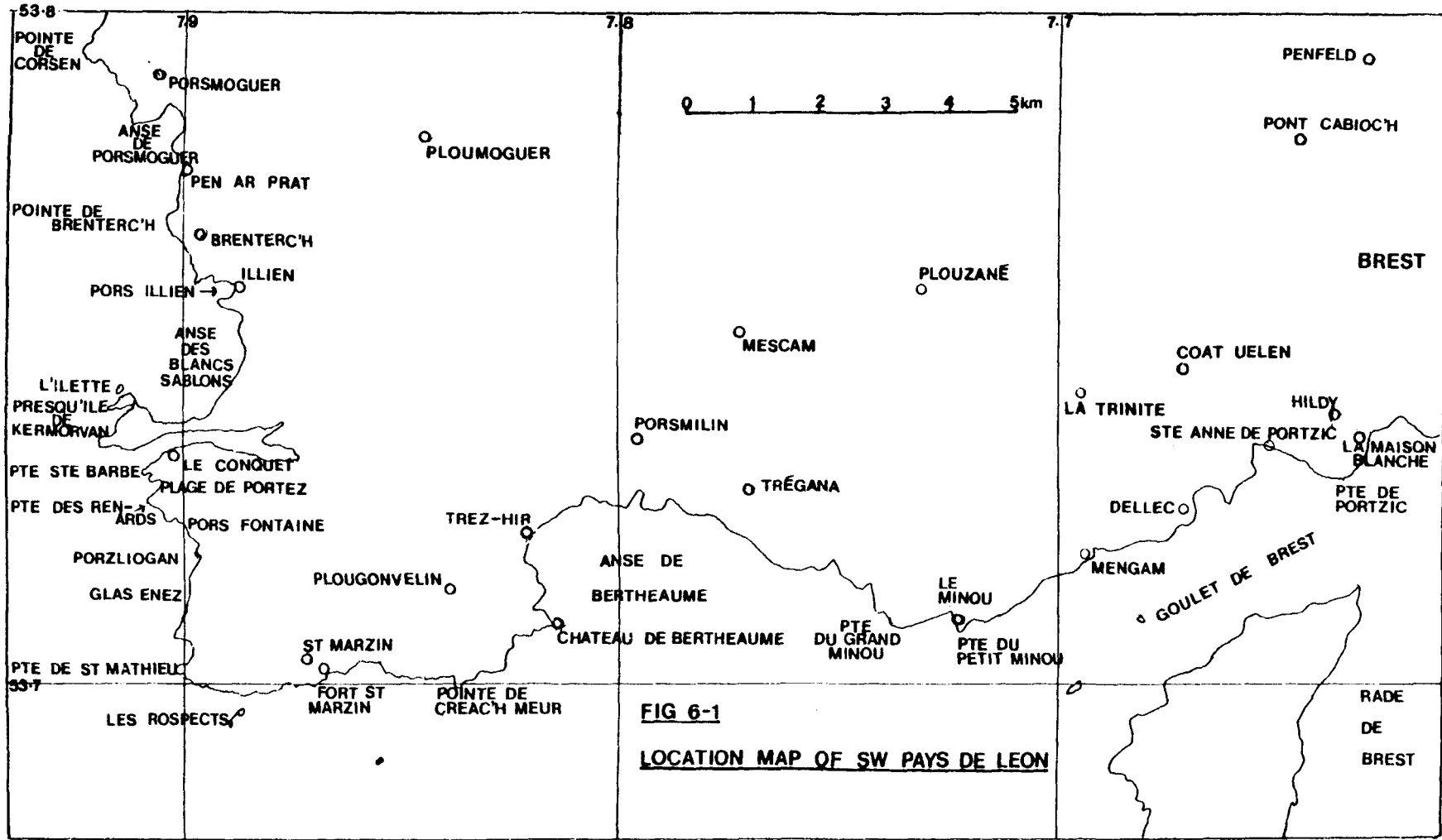
Fig 5-4

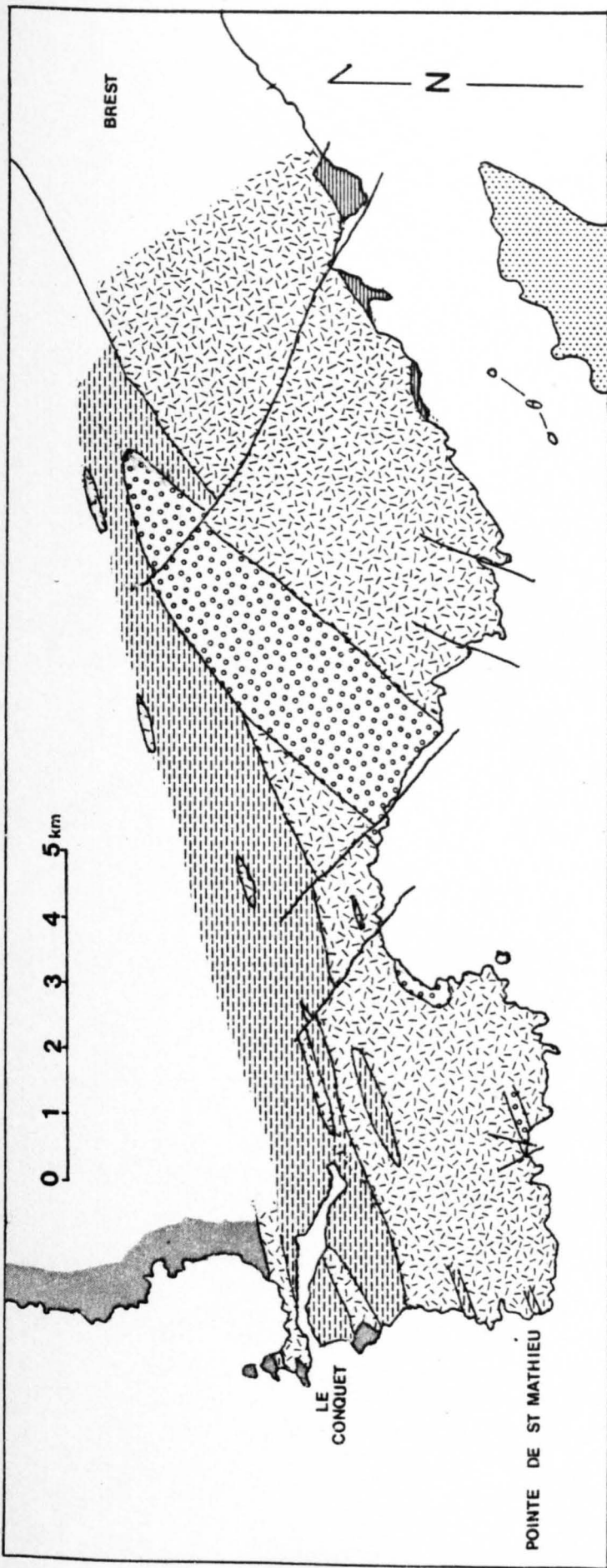
NW PAYS DE LEON K-AR ANALYSES

$$\lambda_\epsilon = 0.584 \times 10^{-10} \text{ yr}^{-1}$$

$$\lambda_\beta = 4.72 \times 10^{-10} \text{ yr}^{-1}$$

$$\frac{^{40}\text{K}}{\text{K}} = 1.19 \times 10^{-2} \text{ atom \%}$$





GEOLOGICAL MAP OF THE SW PAYS DE LÉON

Fig 6-2

TREGANA GRANODIORITE	
L. DEVONIAN	
GRES ARMORICAIN ; L. ORDOVICIAN	
PTE DES RENARDS COMPLEX	
GNEISS DE BREST	PRECAMBRIAN
LE CONQUET SCHISTS	
BRIOVERIAN SEDIMENTS	

AFTER BISHOP ET AL, 1969

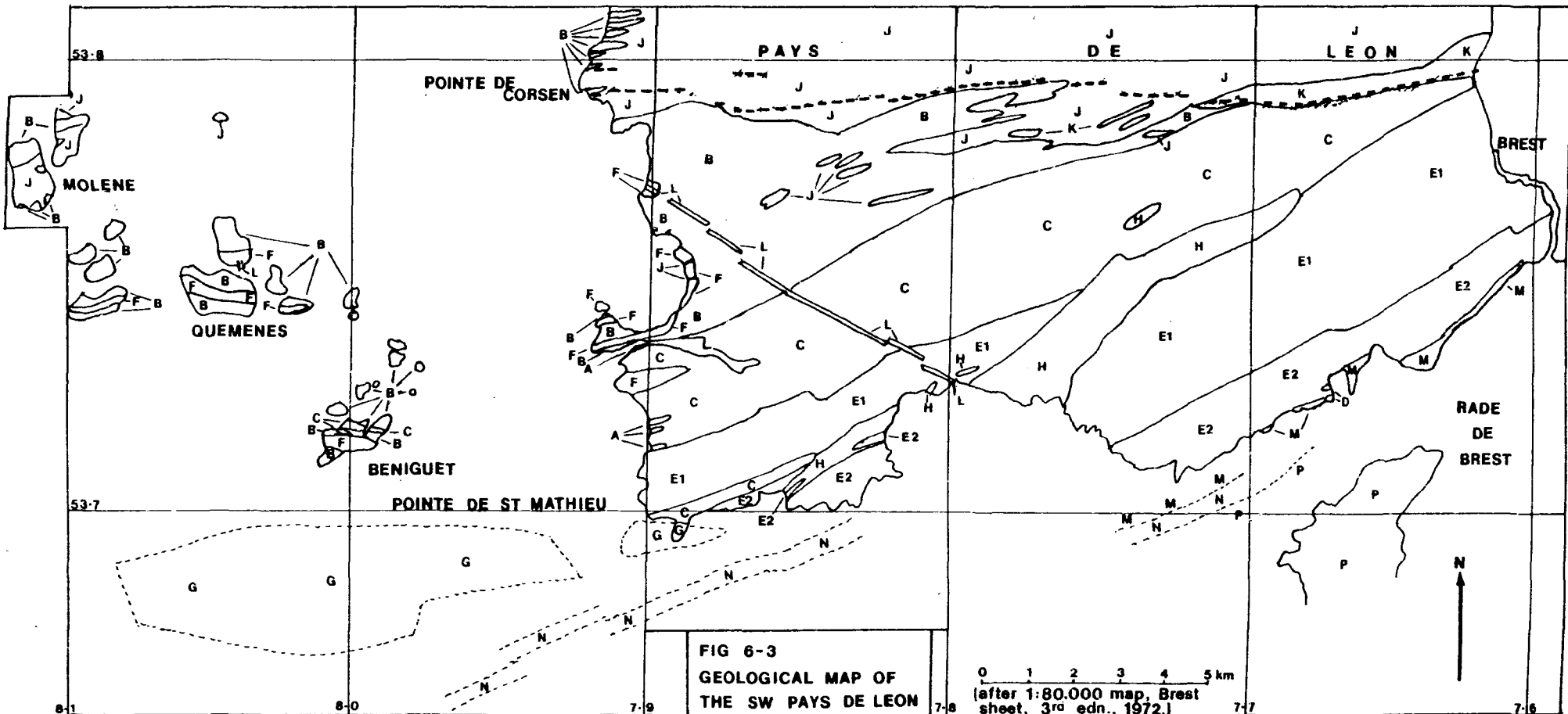


FIG 6-3

GEOLOGICAL MAP OF THE SW PAYS DE LÉON

(AFTER 1:80,000 MAP, BREST SHEET,

3rd EDITION, 1972)

(COMPILED BY L. CHAURIS, 1972c)

KEY

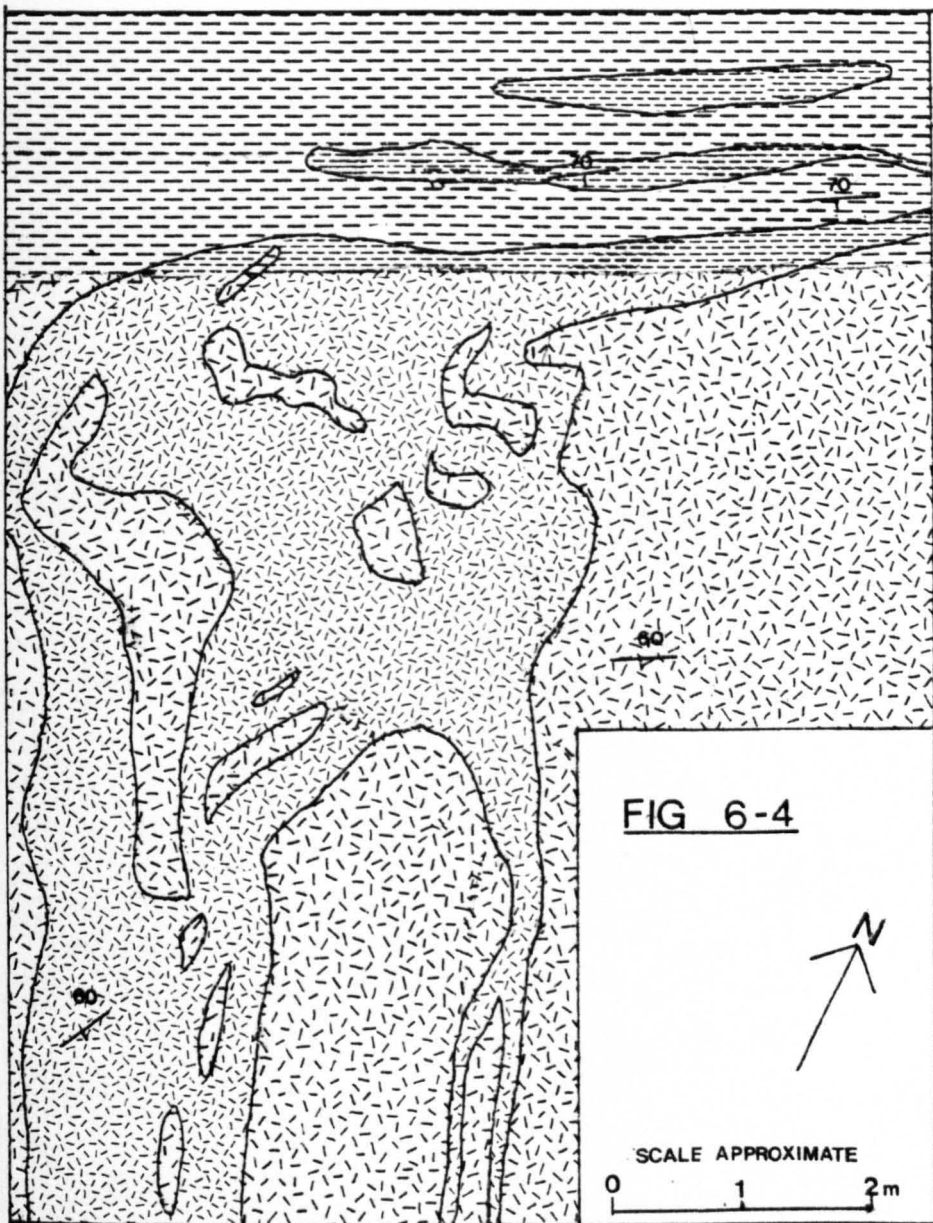
P DÉVONIEN
 N ARENIGIEN
 M BRIOVÉRIEN
 L DOLÉRITES

K	GRANITE DE KERSAINT	MASSIF
J	GRANITE DE ST RENAN	
J	(FACIES ÉCRASÉ)	

H	GRANODIORITE DE TRÉGAN	'GNEISS DE ST RENAN-KERSAINT'
G	GRANITE DE LA CHAUSSÉE DES PIERRES NOIRES	
F	GRANODIORITE DE LA POINTE DES RENARDS	
E2	FACIES GRANITIQUE DU MINOU	

E1	FACIES GNEISSIQUE DE LA POINTE ST MATHIEU
----------	--

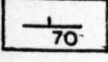
D	EPIDIORITE DU DELLEC
C	MICA-SCHISTES ET GNEISS DU CONQUET
B	GNEISS DE LESNEVEN
A	AMPHIBOLITES
	COASTLINE AND GEOLOGICAL BOUNDARIES ON LAND
	SUBMARINE GEOLOGICAL BOUNDARIES



STRONGLY FOLIATED

WEAKLY FOLIATED
OR MASSIVE

STRONGLY FOLIATED

WEAKLY FOLIATED
OR MASSIVESTRIKE AND DIP OF FOLIATION
70

FILON DE KERMORVAN

GRANODIORITE DE BREST

TRANSITION BETWEEN MASSIVE AND SCHISTOSE ZONES IN
GRANODIORITE AND MAFIC DYKE,
L'ILETTE, NEAR LE CONQUET

FIG 6-5

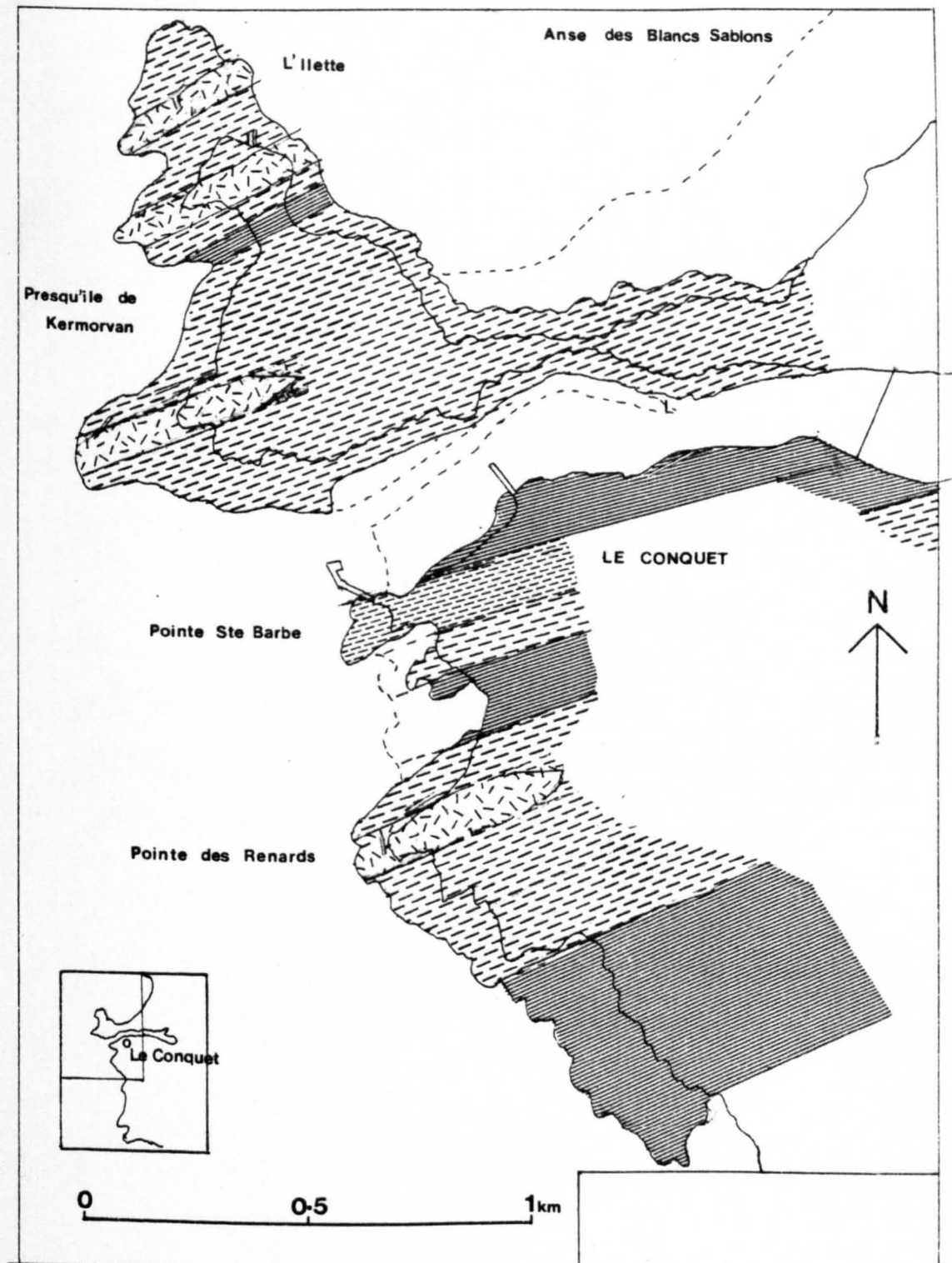


FIG. 6-5

VARIATION IN SEVERITY OF
FOLIATION OF DEFORMED
GRANODIORITE NEAR LE
CONQUET

FIG 6-6

4° 46'

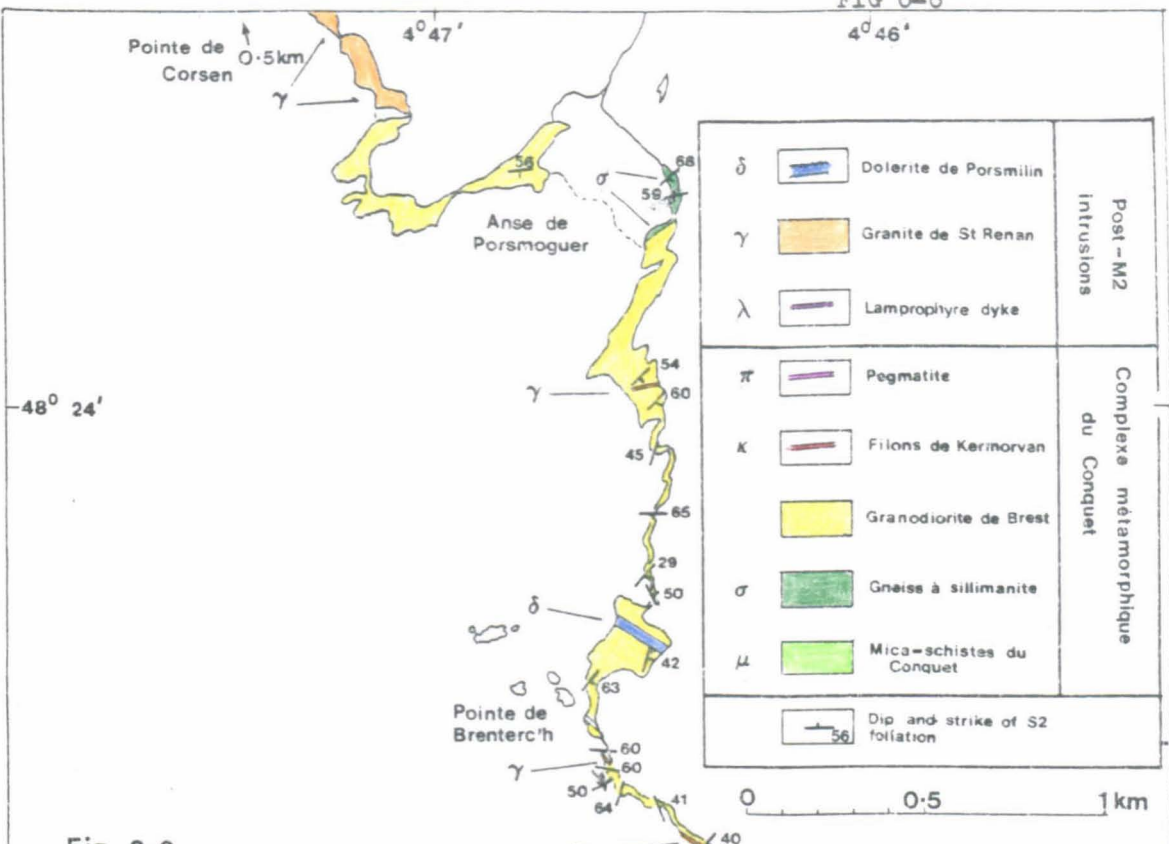
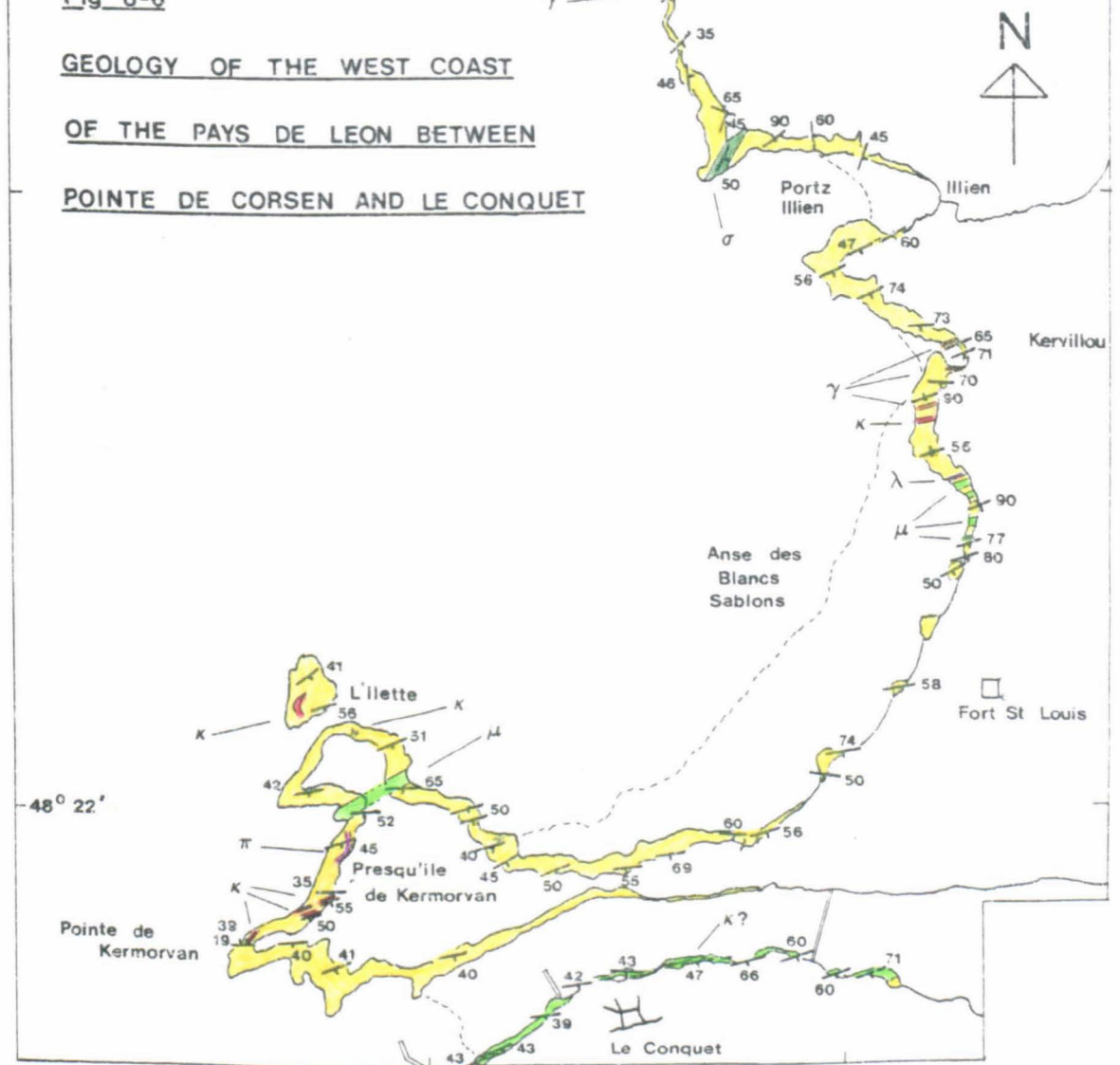


Fig 6-6

GEOLOGY OF THE WEST COAST
OF THE PAYS DE LEON BETWEEN
POINTE DE CORSEN AND LE CONQUET



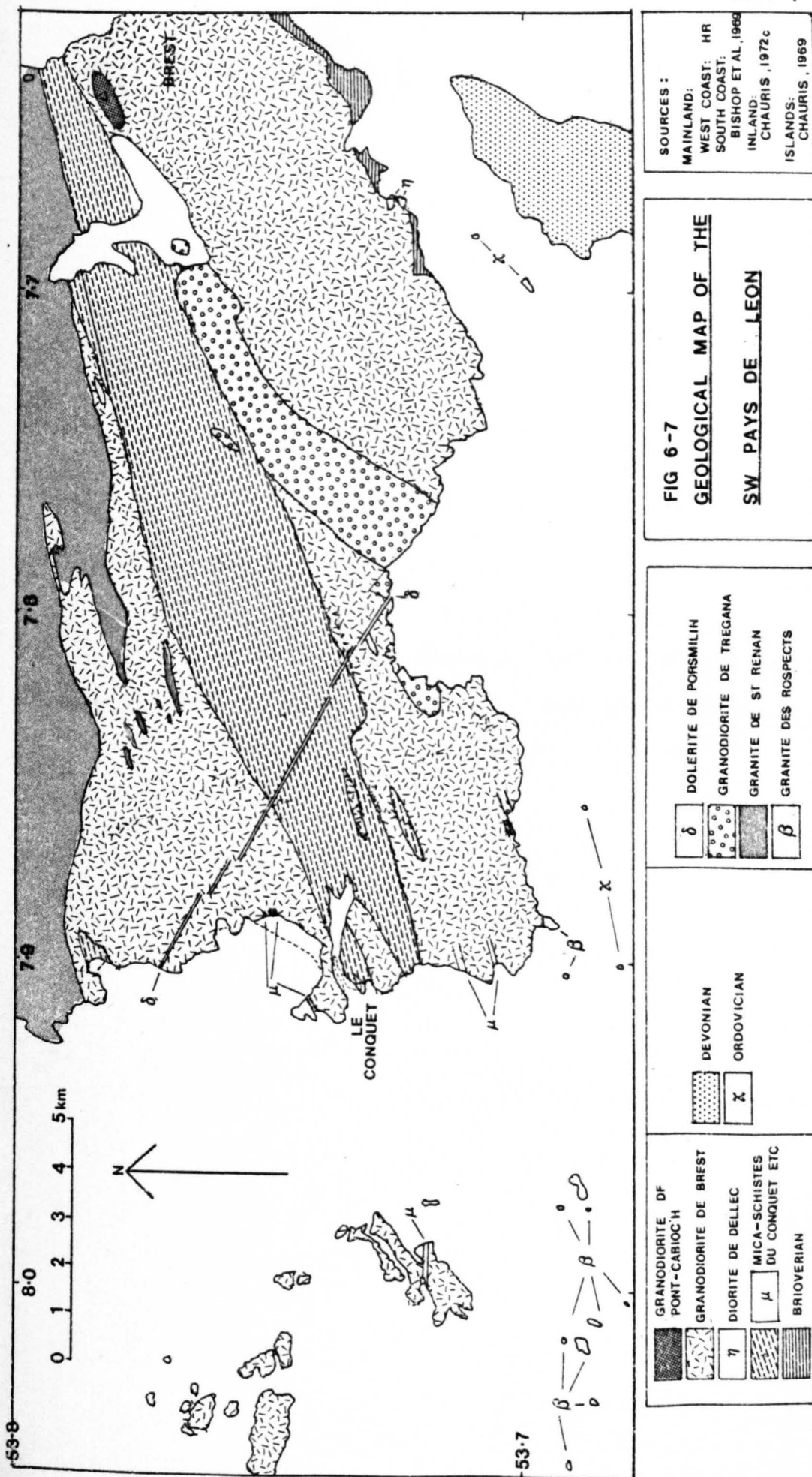


FIG 6-7

SOURCES :

MAINLAND: HR
WEST COAST: SOUTHERN CALIFORNIA

SOUTH COAST:
BISHOP ET AL 1999

INLAND:

ISLANDS: CHAURIS, 1969
CHAURIS, 1972c

GEOLOGICAL MAP OF THE
PAYS DE L'EON

DOLERITE DE PORMSILIH	GRANODIORITE DE TREGANA	GRANITE DE ST RÉNAN	GRANITE DES ROSPECTS
			

DEVONIAN
ORDOVICIAN

Fig 7-1 (facing page)

Geological map of North and Central Finistère.

After Bishop et al, 1969.

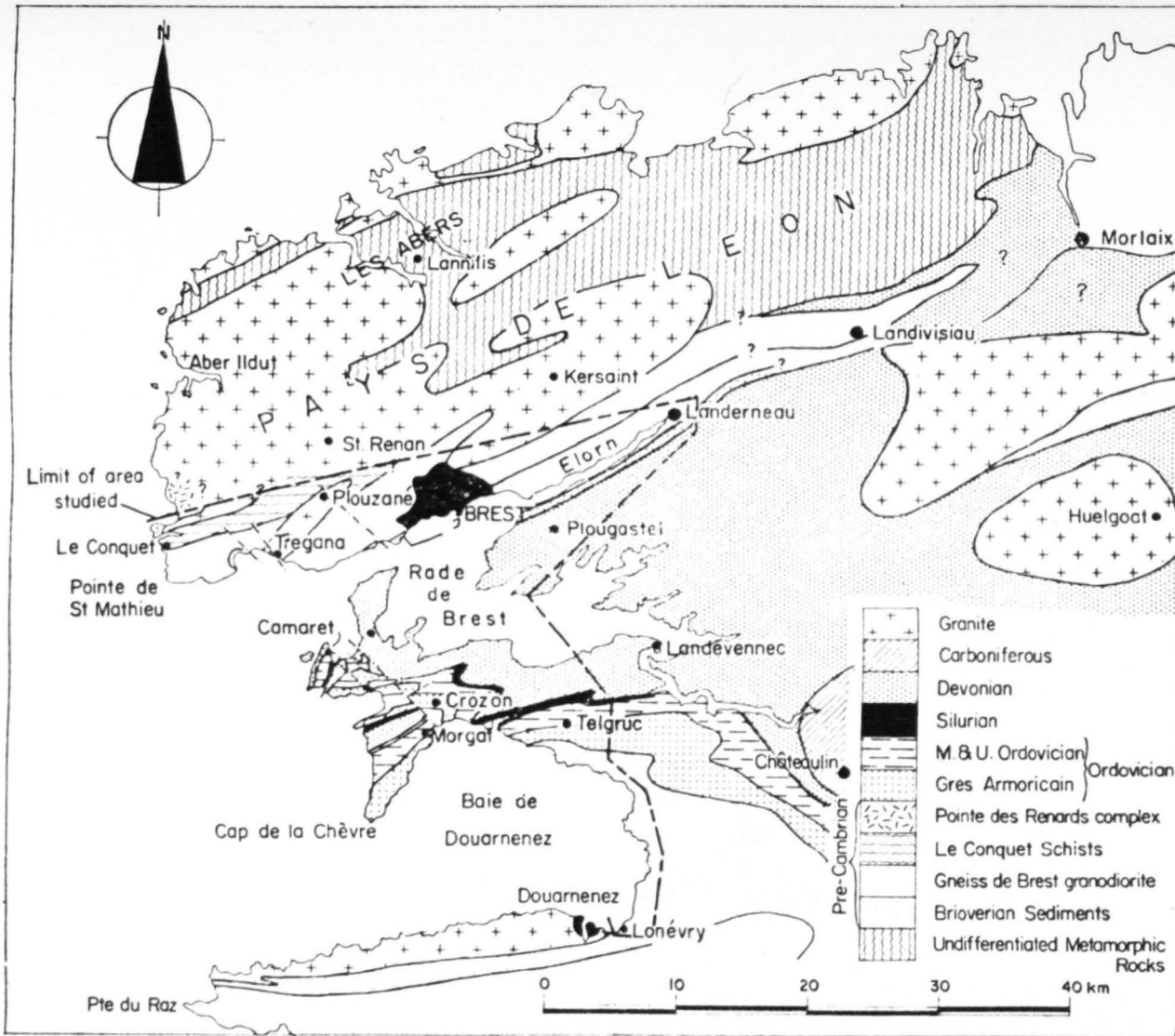
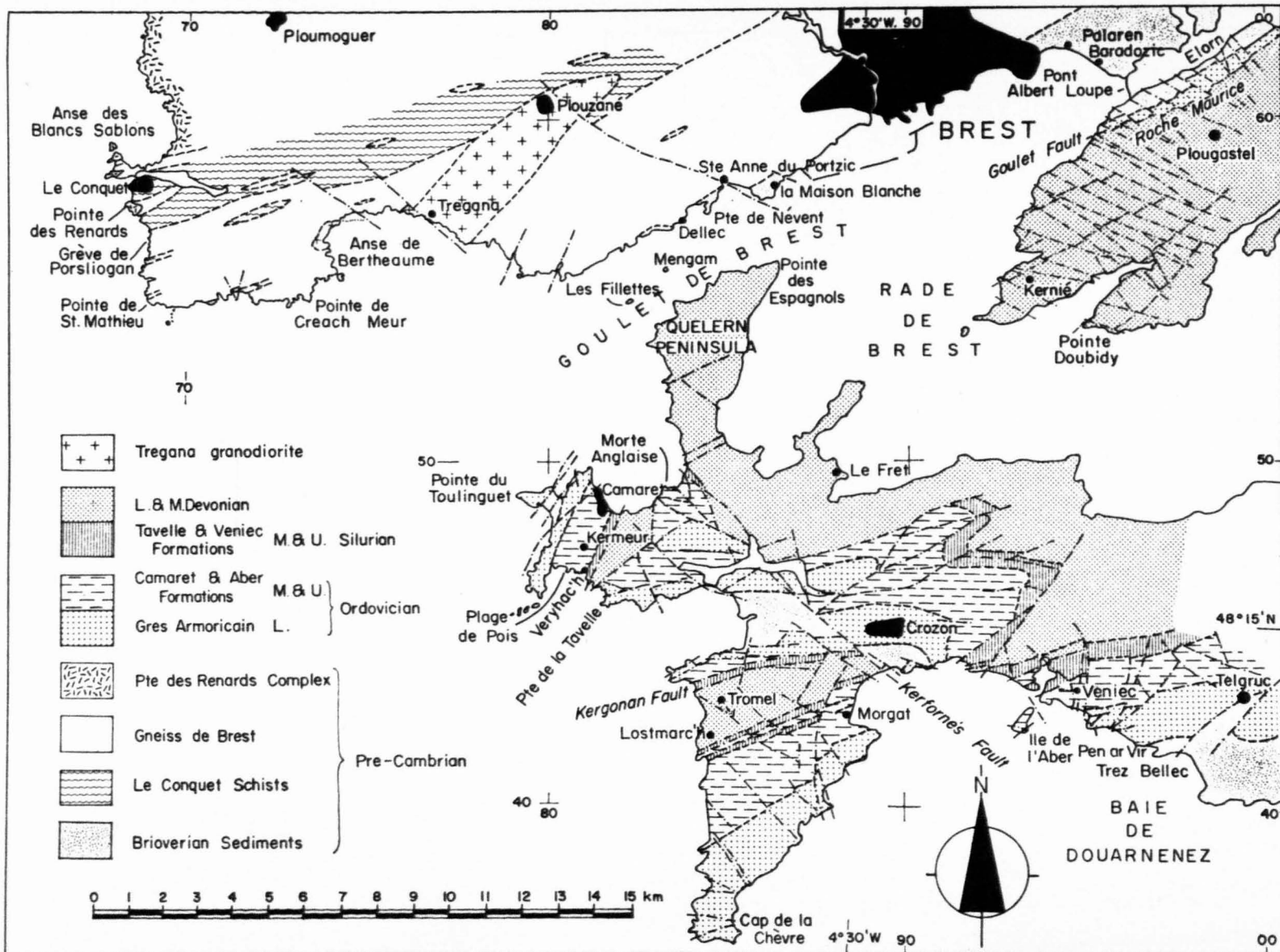
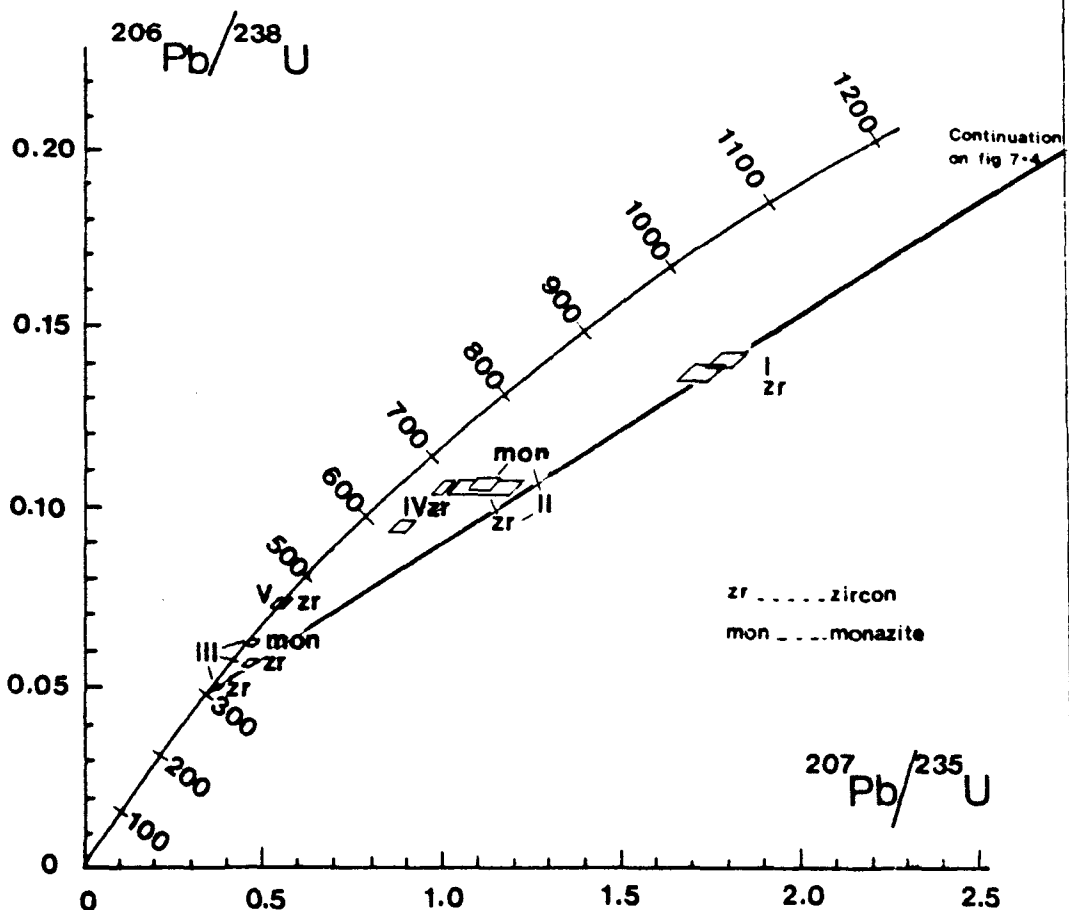


Fig 7-2 (facing page)

Geological map of Presqu'ile de Crozon
and adjacent areas.

After Bishop et al, 1969.





Lithological division			
	Locality	Original publication	This work
I	Kerisbihan and Portzic	Quartzophyllades de L'Elorn	As original
II	Le Conquet	Mica-schistes du Conquet	As original
III	Le Conquet	Mica-schistes du Conquet (Biotite-plagioclase gneiss)	Granodiorite de Brest
IV	Hildy	Gneiss de Brest	Granodiorite de Brest
V	Pont Cabioch	Gneiss de Brest	Granodiorite de Pont Cabioch

FIG 7-3

CONCORDIA DIAGRAM FOR ZIRCON AND MONAZITE

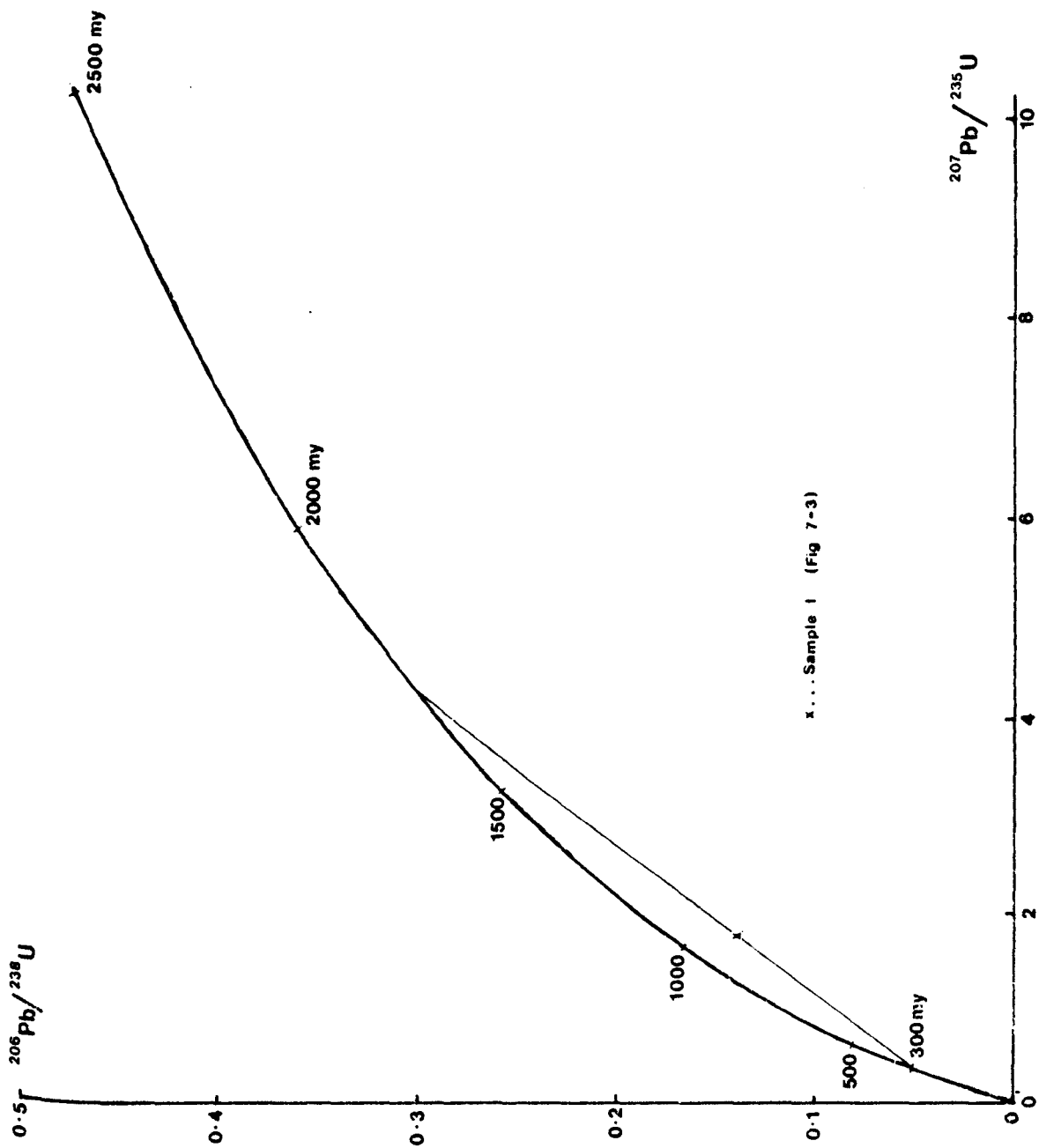
FROM THE SW PAYS DE LEON, FINISTERE

After Michot and Deutsch, 1970.

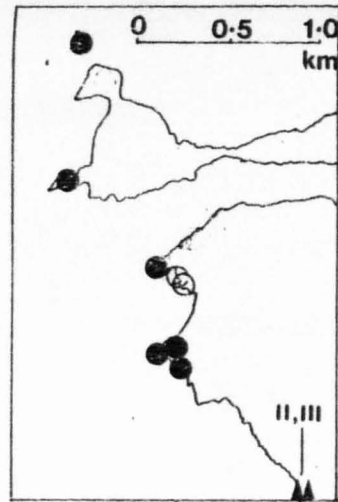
Fig 7-4

CONCORDIA PLOT OF ZIRCONS FROM
QUARTZOPHYLLADES DE L'ELORN

(after Michot and Deutsch, 1970)



\blacktriangle	Zircons U-Pb	Various lithologies	Michot and Deutsch, 1970
\bullet	Whole-rock Rb-Sr	'Renards Granite'	Adams, 1967a
\circ	Whole-rock Rb-Sr	'Gneiss de Brest'	Adams, 1967a
\blacklozenge	Whole-rock Rb-Sr	'Gneiss de Brest'	Cabanis et al, 1977



0 10 km

Lesneven

LEON

DE

P A Y S

Pont Cabioc'h

IV

Brest

Le Conquet

V

FIG 7-5

LOCATION OF SAMPLES USED FOR U-Pb AND Rb-Sr

GEOCHRONOLOGY OF 'GNEISS DE BREST' AND

ASSOCIATED LITHOLOGIES

Also shown: outcrop of Gneiss de Brest (after Chauria, 1972d)

FIG 7-5

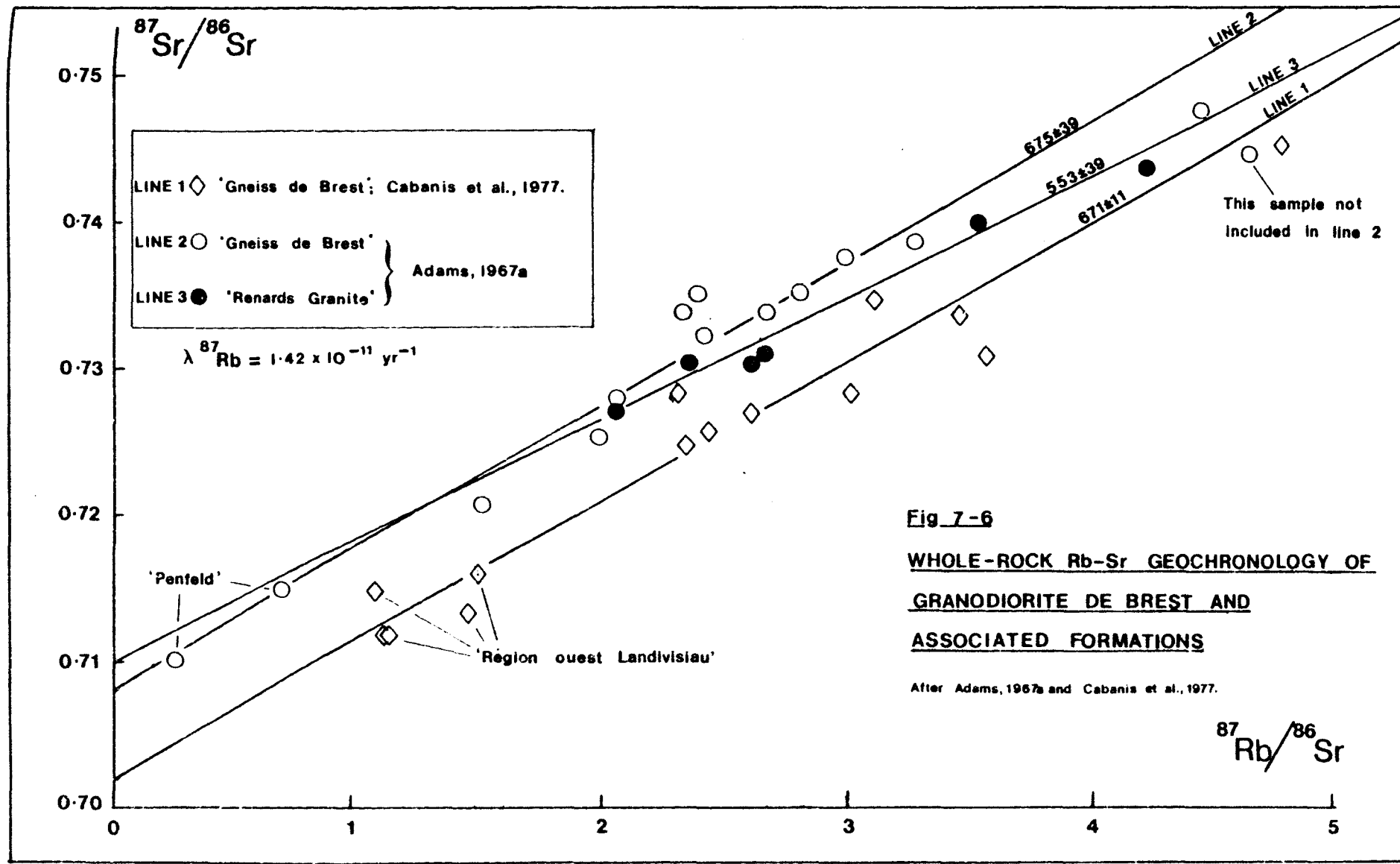
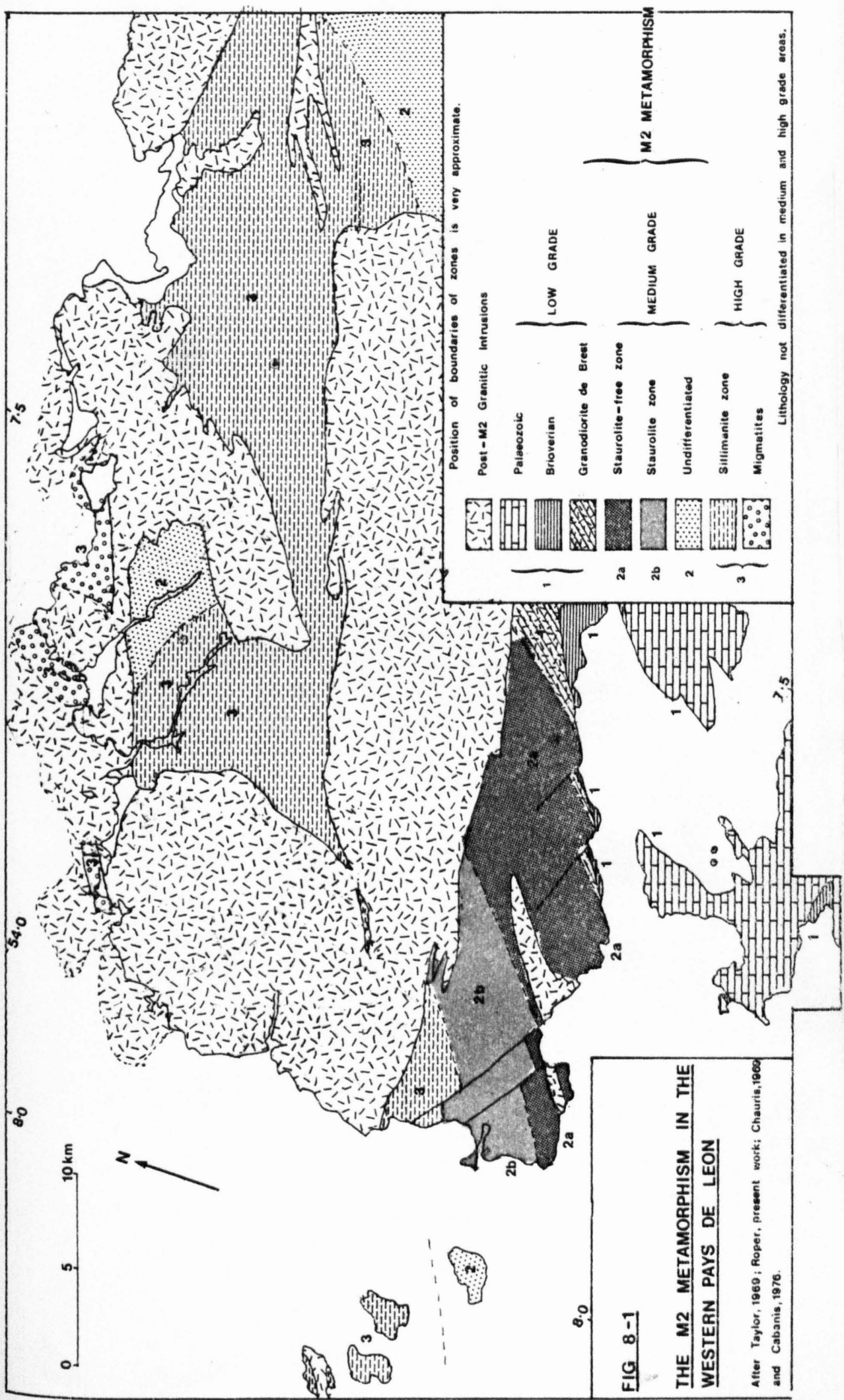


Fig. 7-6

WHOLE-ROCK Rb-Sr GEOCHRONOLOGY OF
GRANODIORITE DE BREST AND
ASSOCIATED FORMATIONS

After Adams, 1967a and Cabanis et al., 1977.

FIG 8-1



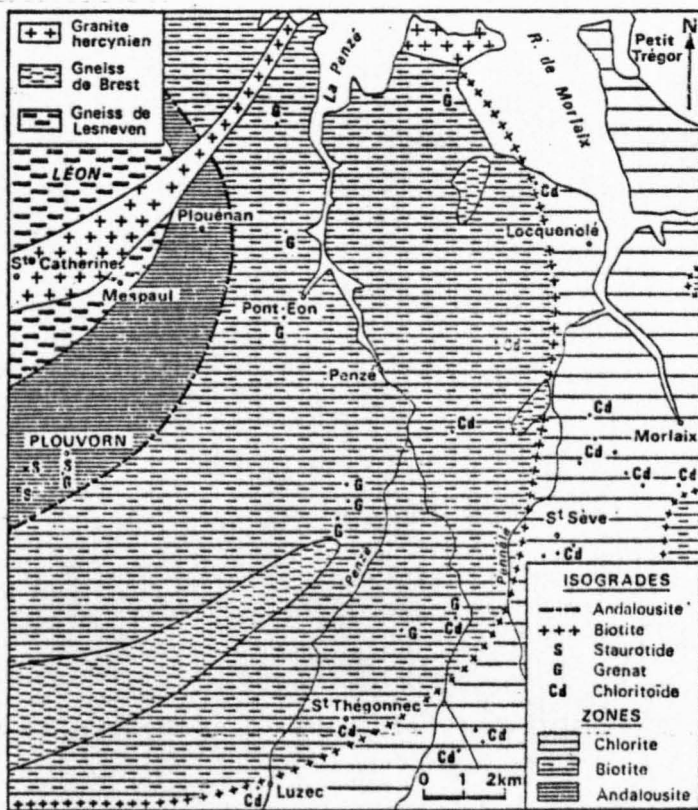
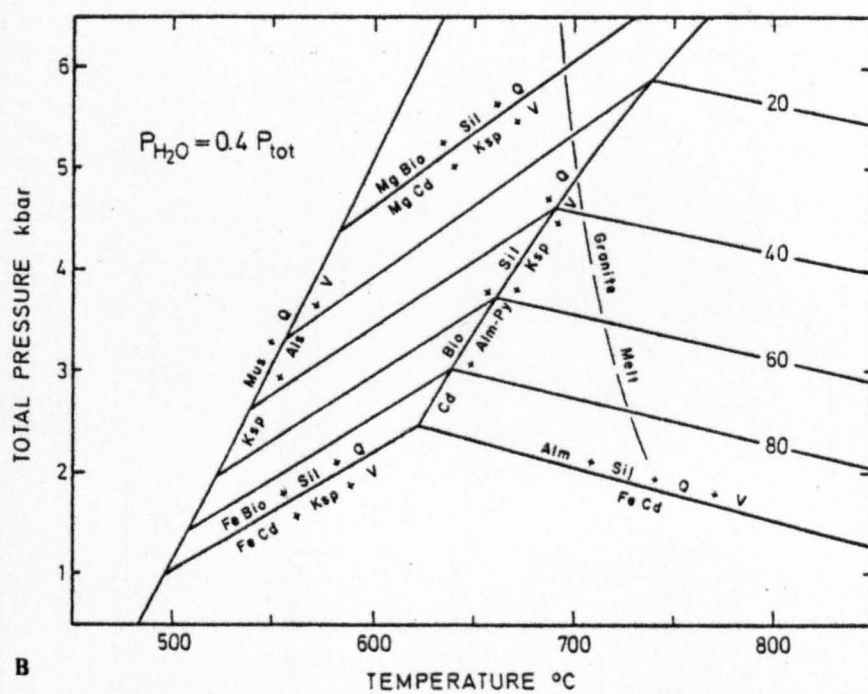
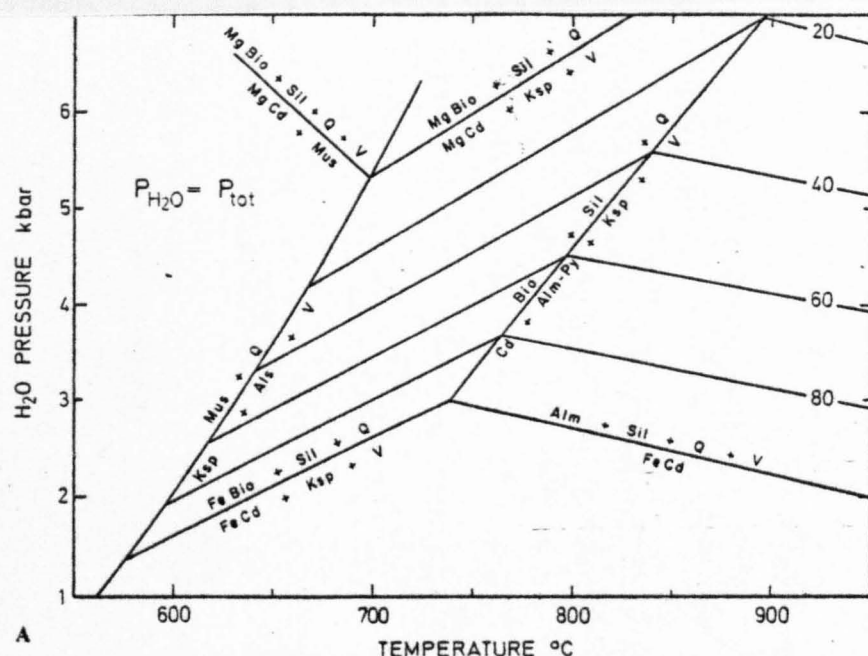


Fig 8-2

ZONATION OF HERCYNIAN METAMORPHISM IN THE
EASTERN PAYS DE LÉON

After Cabanis, 1975.

FIG 8-3



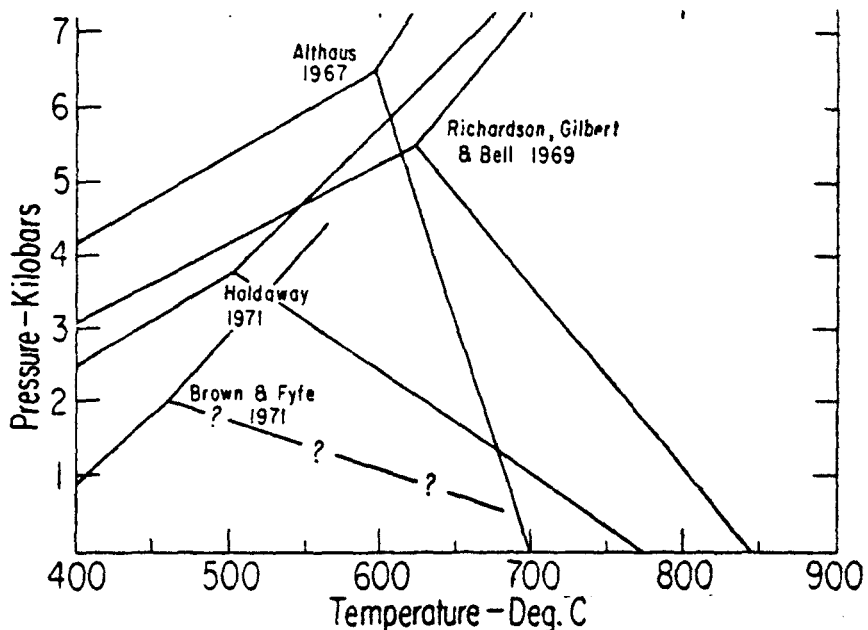
Calculated $P-T$ curves for Fe-Mg reactions (1) and (2), and the univariant Fe-Mg reaction producing cordierite, garnet, and K feldspar. A: $P_{H_2O} = P_{tot}$; B: $P_{H_2O} = 0.4 P_{tot}$, garnet with 7 mole-% spessartite+grossularite, and K feldspar with 20 mole-% albite. Note that above about 715°C, K feldspar-quartz assemblages melt, so that reaction (1) and the univariant reaction are hypothetical above this temperature in A. Granite melting curve in B is based on Kerrick (1972). Muscovite curves are from Chatterjee and Johannes (1974) modified in B using data of Kerrick (1972) and Thompson (1974). Numbers refer to Fe content of cordierite

Fig 8-3

GARNET-CORDIERITE PHASE RELATIONSHIPS

After Holdaway and Lee, 1977.

FIG 8-4
FIG 8-5



Experimental Al_2SiO_5 diagram according to Richardson, Gilbert, and Bell (1969), Holdaway (1971), Althaus (1967), and Brown and Fyfe (1971).

Fig 8-4

Al_2SiO_5 PHASE DIAGRAM ACCORDING TO VARIOUS WORKERS
After Anderson et al., 1977.

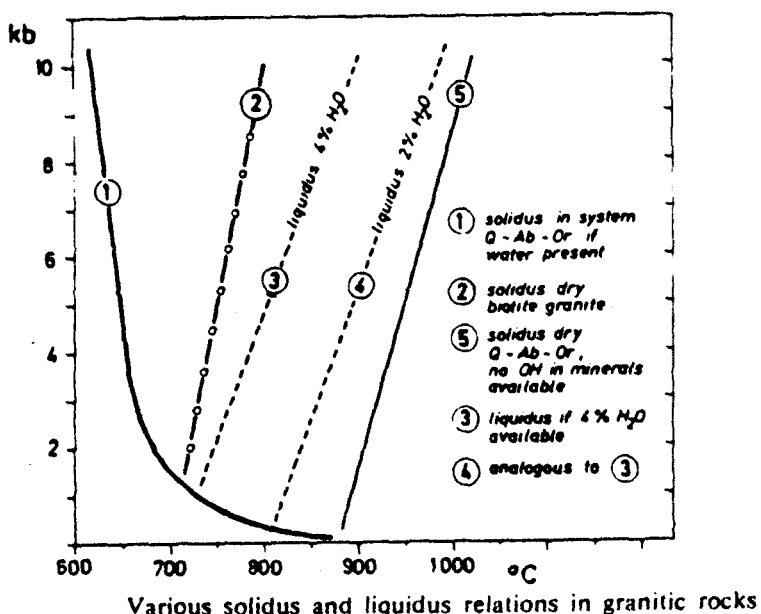


Fig 8-5

VARIOUS SOLIDUS AND LIQUIDUS RELATIONS IN GRANITIC ROCKS

After Brown and Fyfe, 1970 (in Winkler, 1974).

FIG 8-6

KEY

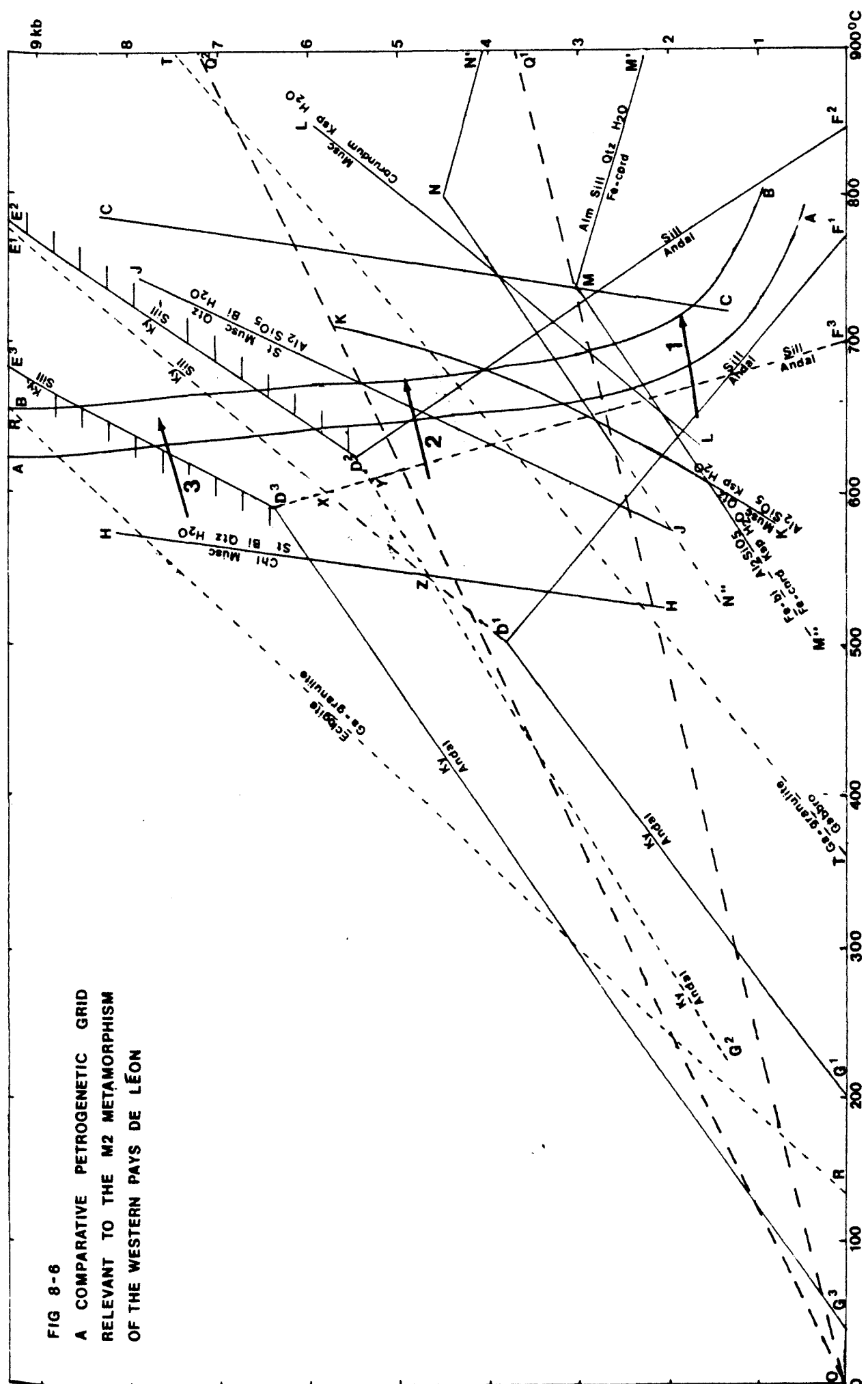
- A - A Solidus in system quartz-albite-alkali-feldspar if H_2O present. (Ab/An). Tuttle and Bowen, 1958.
- B - B Solidus in system quartz-plagioclase-alkali-feldspar if H_2O present. (Ab/An 1.8). Von Platen, 1965.
- C - C Solidus for dry biotite granite. Brown and Fyfe, 1970.

$D^1 - F^1$			Holdaway, 1971.
$D^2 - F^2$	andalusite-sillimanite equilibria		Richardson et al, 1969.
$D^3 - F^3$			Althaus, 1969.
$D^1 - G^1$			Holdaway, 1971.
$D^2 - G^2$	andalusite-kyanite equilibria		Richardson et al, 1969.
$D^3 - G^3$			Althaus, 1969.
$D^1 - E^1$			Holdaway, 1971.
$D^2 - E^2$	kyanite-sillimanite equilibria		Richardson et al, 1969.
$D^3 - E^3$			Althaus, 1969.

(Horizontal lines indicate possible bivariant equilibrium of kyanite and sillimanite).

X - Y - Z	Al_2SiO_5 'triple field'.	
H - H	chlorite + muscovite = staurolite + biotite + quartz + H_2O	
J - J	staurolite + muscovite + quartz = Al_2SiO_5 + Biotite + H_2O	Hoschek, 1969.
K - K	muscovite+quartz = Al_2SiO_5 + alkali-feldspar + H_2O .	Winkler,
L - L	muscovite = corundum + alkali-feldspar + H_2O .	Evans, 1974.
M - M'	Fe-cordierite = Fe-almandine + sillimanite + quartz+ H_2O .	
M - M''	Fe-cordierite + alkali-feldspar+ H_2O = Fe-biotite + Al_2SiO_5 .	
N - N'	As M - M' but in system with $FeO/MgO+FeO=0.6$.	
N - N''	As M - M'' but in system with $FeO/MgO+FeO=0.6$.	
O - Q ¹	Maximum feasible mean geothermal gradient for the M2 metamorphism.	
O - Q ²	Minimum feasible mean geothermal gradient for the M2 metamorphism.	
R - R	Line separating fields of garnet-granulite and eclogite.	Green and Ringwood, 1972.
T - T	Line separating fields of garnet-granulite and gabbro.	
<u>3</u>	Barrovian (kyanite-sillimanite type)	Possible paths
<u>2</u>	M2 episode in Léon	of
<u>1</u>	Abukuma (andalusite-sillimanite type)	prograde metamorphism.

FIG 8-6



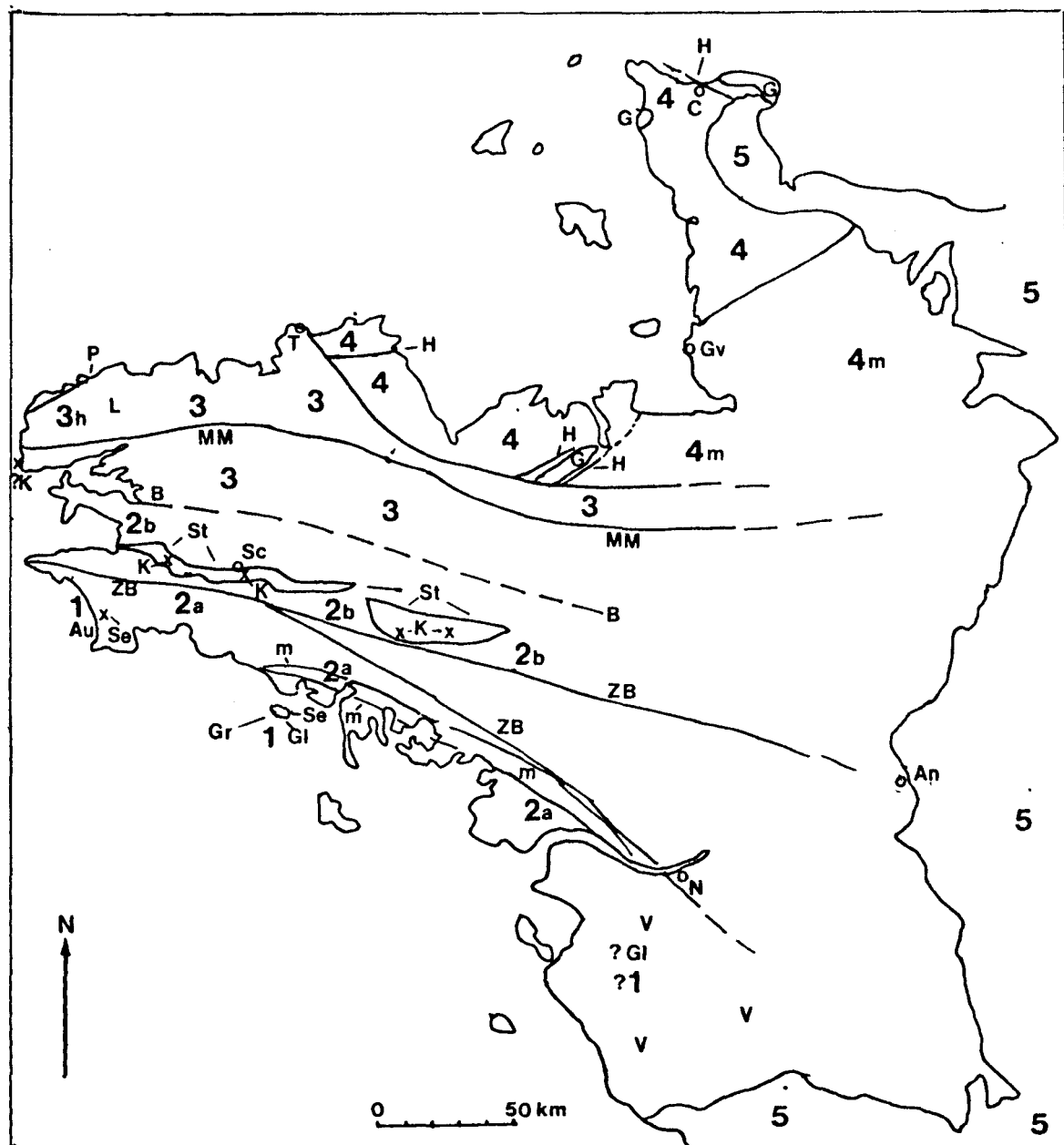


Fig. 8-7 Major subdivisions of the Massif Armorican during and after the Bretonic phase.

Note: This map only concerns the western half of the massif. It should only be regarded as a tentative model.

For other placenames see Fig. 1-1; for distribution of Hercinian granitic rocks see Fig. 1-3; for subdivisions of Zone normano-breton see Fig. 1-4. For key see overleaf.

FIG 8-7

Major zones:

Major transcurrent faults: (after Cogné, 1974)

- ZB Zone broyée sudarmoricaine (bifurcating in east)
MM Linéament Molène-Moncontour
P Porspoder lineament

Bretonic and later Hercynian features:

Placenames:

- | | |
|----------|-----------------------|
| An | Angers |
| Au | Baie d'Audierne |
| C | Cherbourg |
| L | Pays de Léon |
| N | Nantes |
| Sc | Scaër |
| T | Ploumanac'h-Trégastel |
| V | Vendée |
| Gr | Ile de Groix |
| Gv | Granville |

PLATES

Please note: scales given for microphotographs are only approximate.

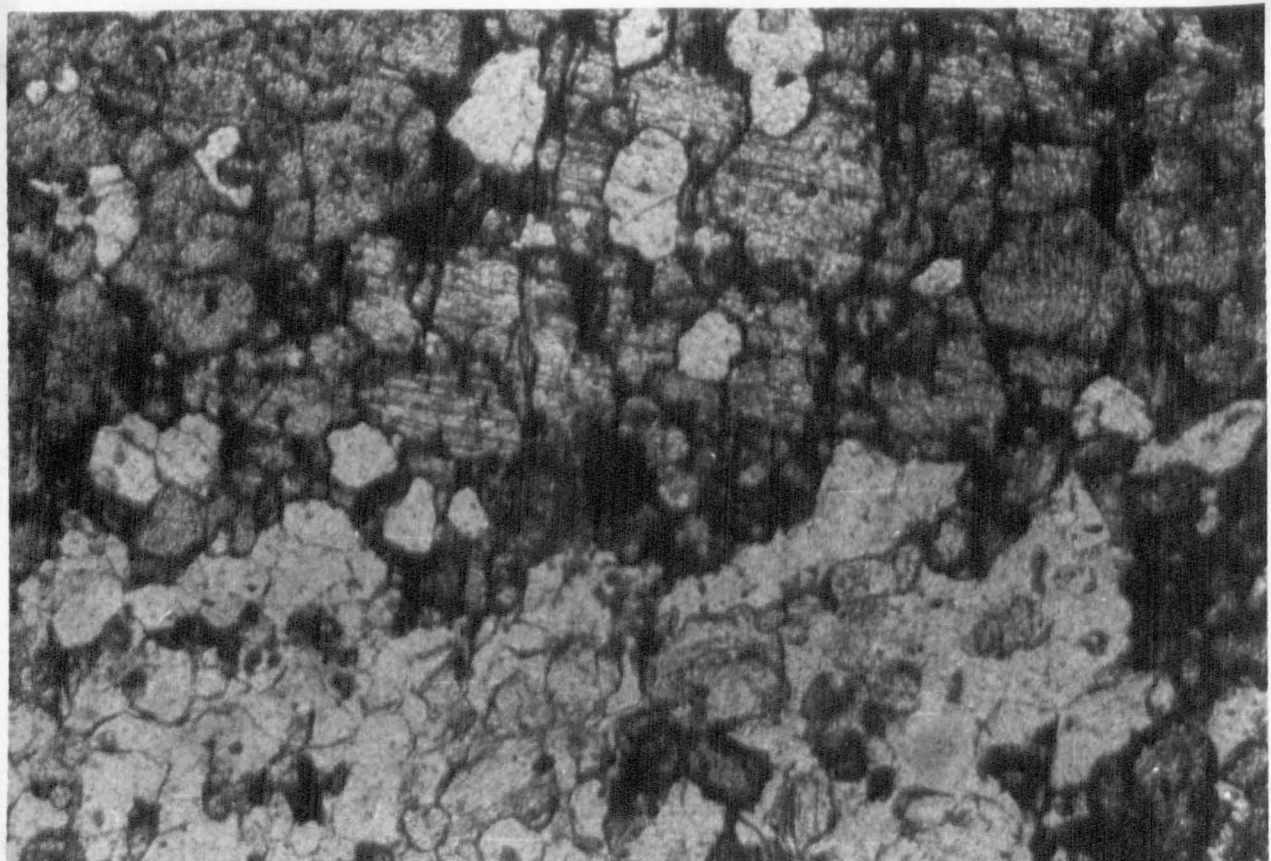
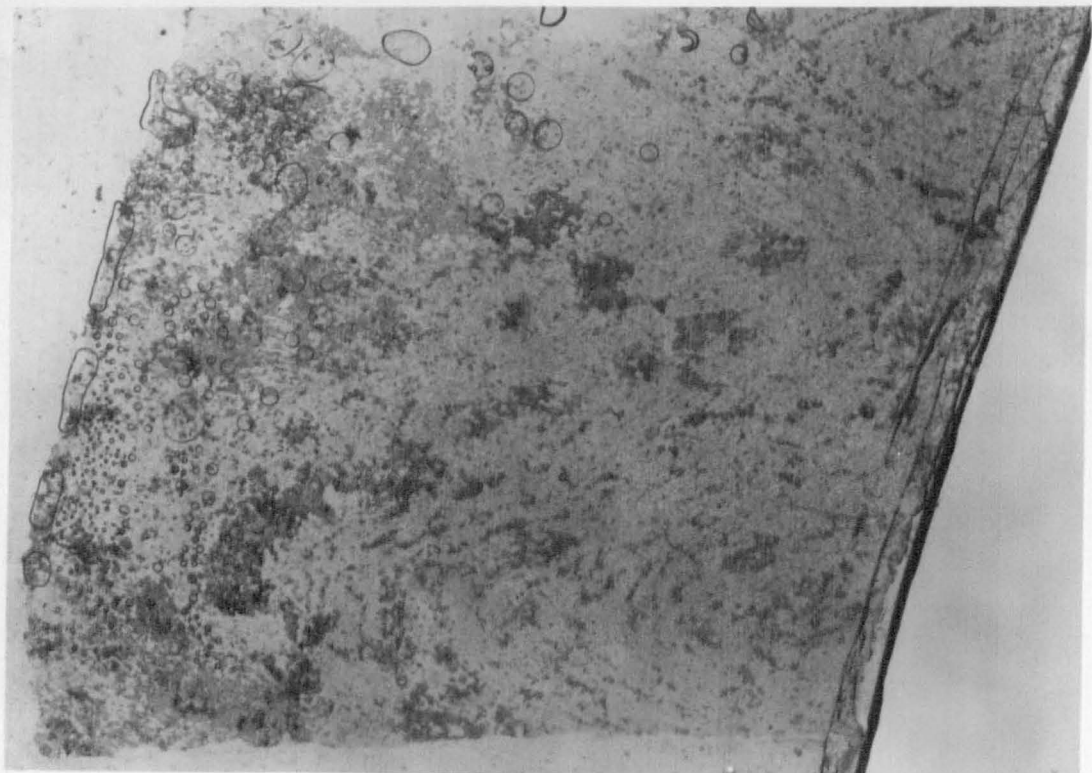


PLATE 2-1

Garnet-clinopyroxene psammite. Micaschistes de L'Aber-Wrac'h, near Le Traon (Fig 2-1). Ordinary light 6x
Both mafic minerals mainly occur as irregular aggregates or small porphyroblasts which appear to overgrow the hinge zones of the prominent folds.

PLATE 2-2

As plate 2-1 PPL 120x
Garnet (upper left, without cleavage) and clinopyroxene (upper centre and right). Both contain inclusions of quartz. The ground mass consists of calcic plagioclase (higher relief) and quartz.
The cleavage in the pyroxene is traversed by fractures and the grains are not optically continuous.

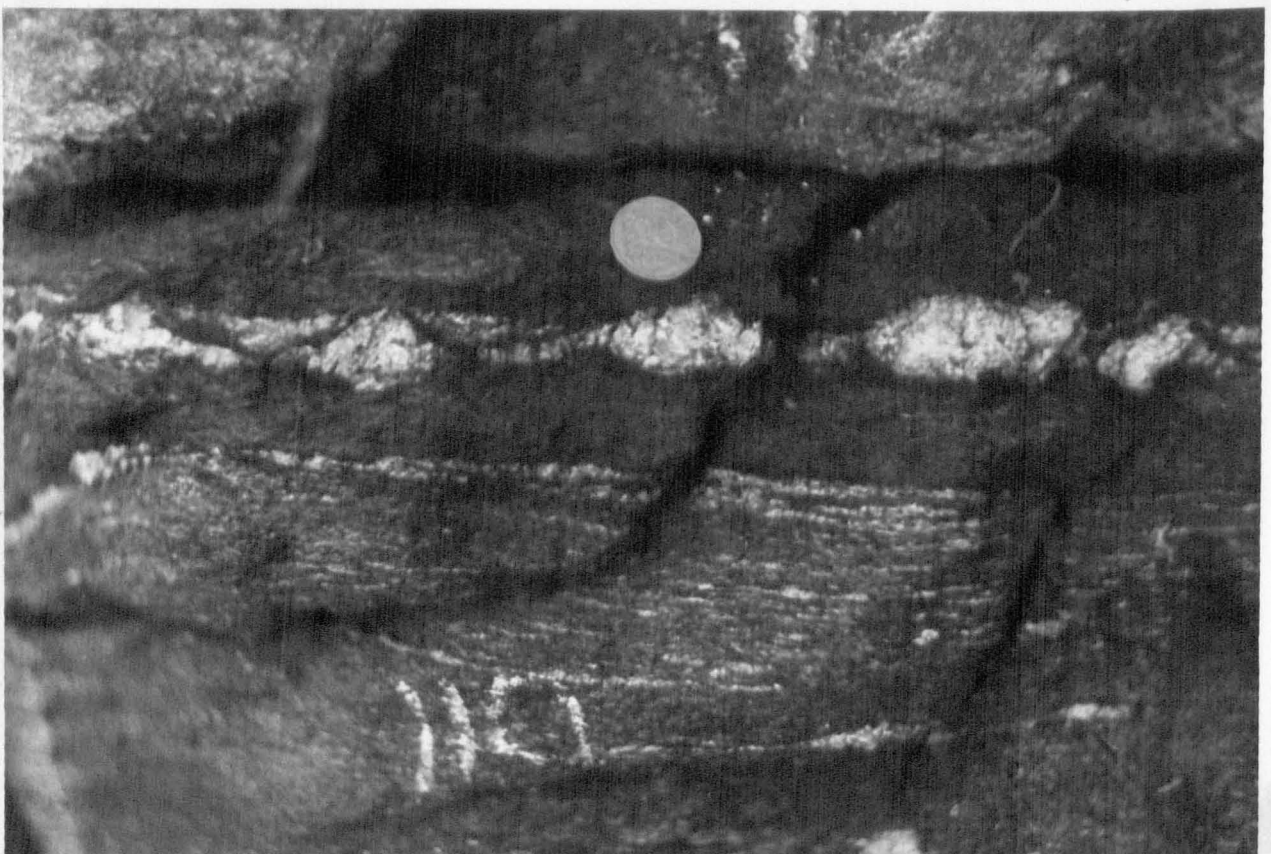
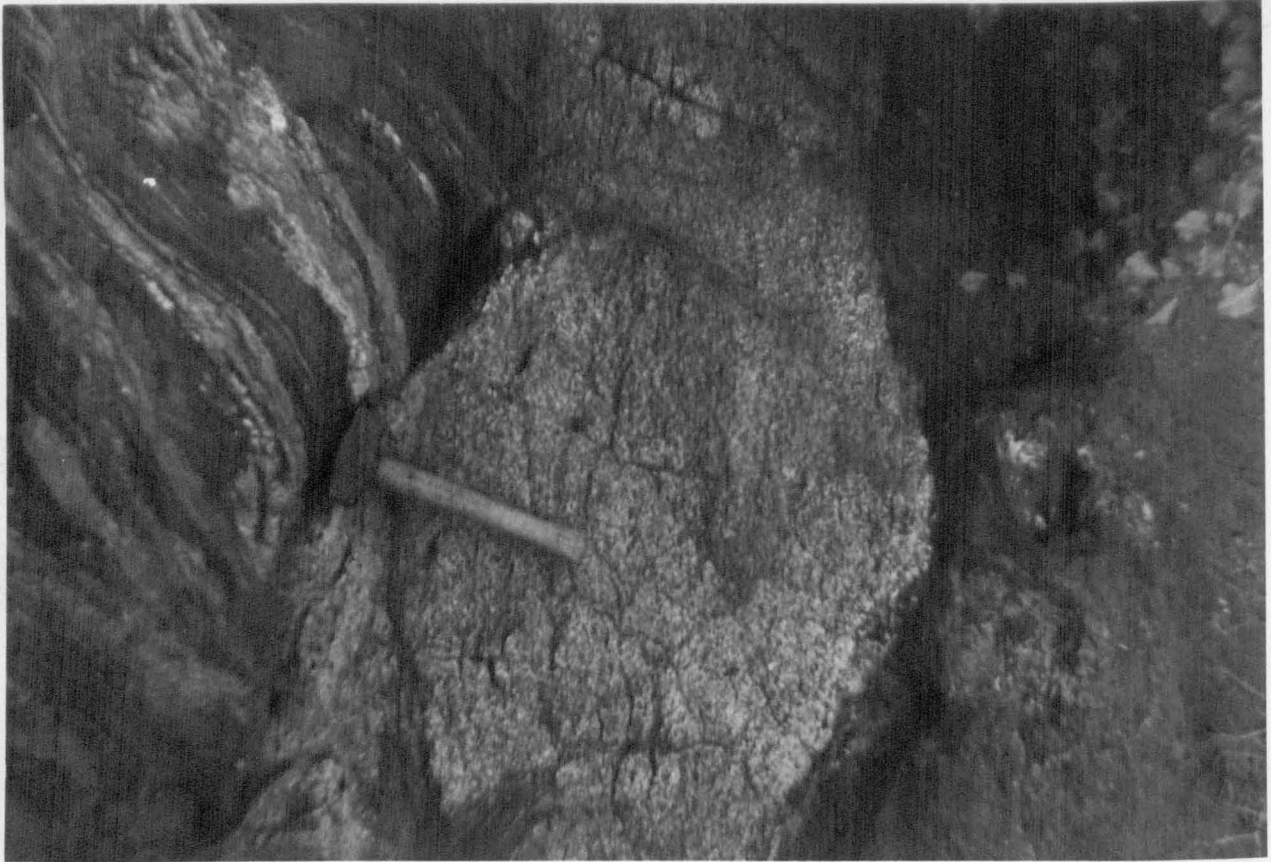


PLATE 2-3

Banded pelitic gneiss traversed
by a sheet of granite of Ploudalmezeau
type. Gneiss a sillimanite de
L'Aber-Benoit
North of Locmajan (Fig 2-3)

PLATE 2-4

Heterogeneous pelitic gneiss with
quartzofeldspathic augen
Lithological unit and locality as
Plate 2-3

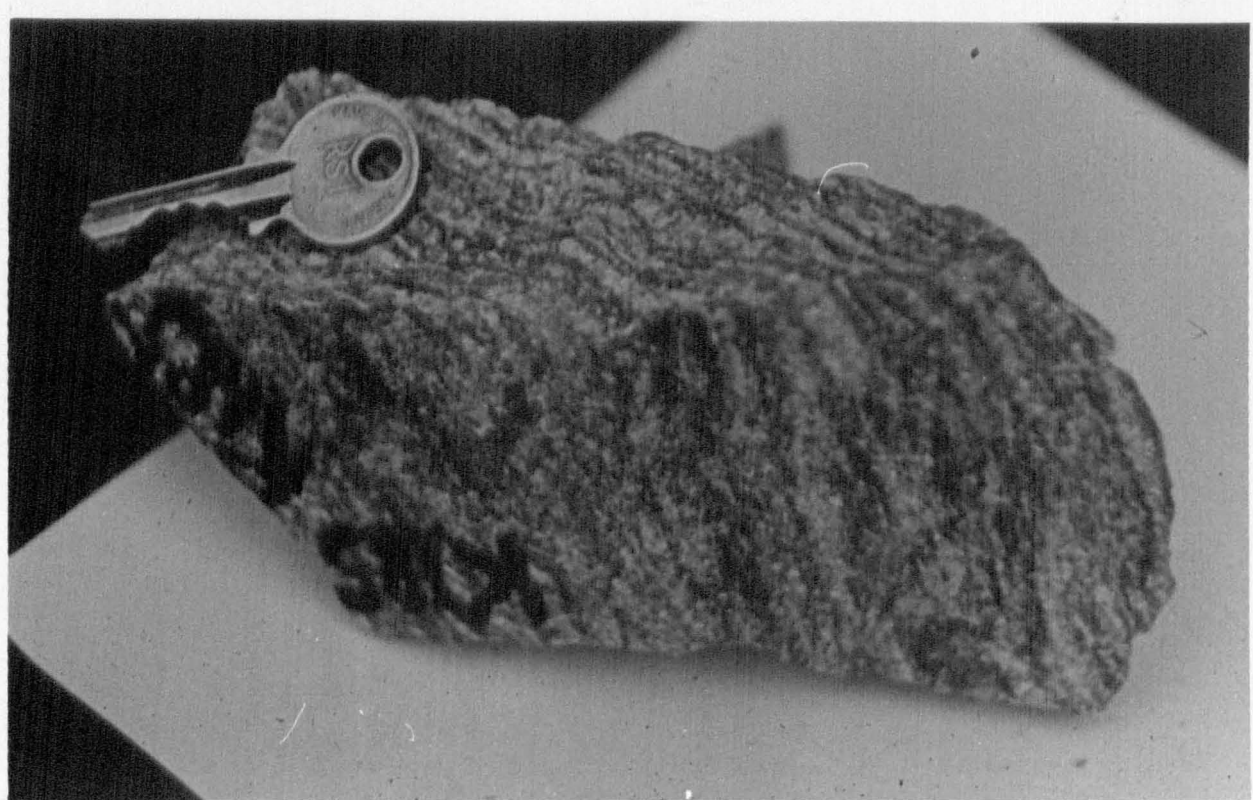


PLATE 2-5

Sillimanite gneiss

Lithological unit and locality as

Plate 2-3 PPL 120 x

The field consists of biotite (dark) quartz and acicular sillimanite.

Oligoclase is common elsewhere in the slide.

PLATE 2-6

Banded alkali-granitic garnet-

biotite gneiss. Gneiss de Treglonou,

Carriere de Carpont, near Locmajan

(Fig 2-3)

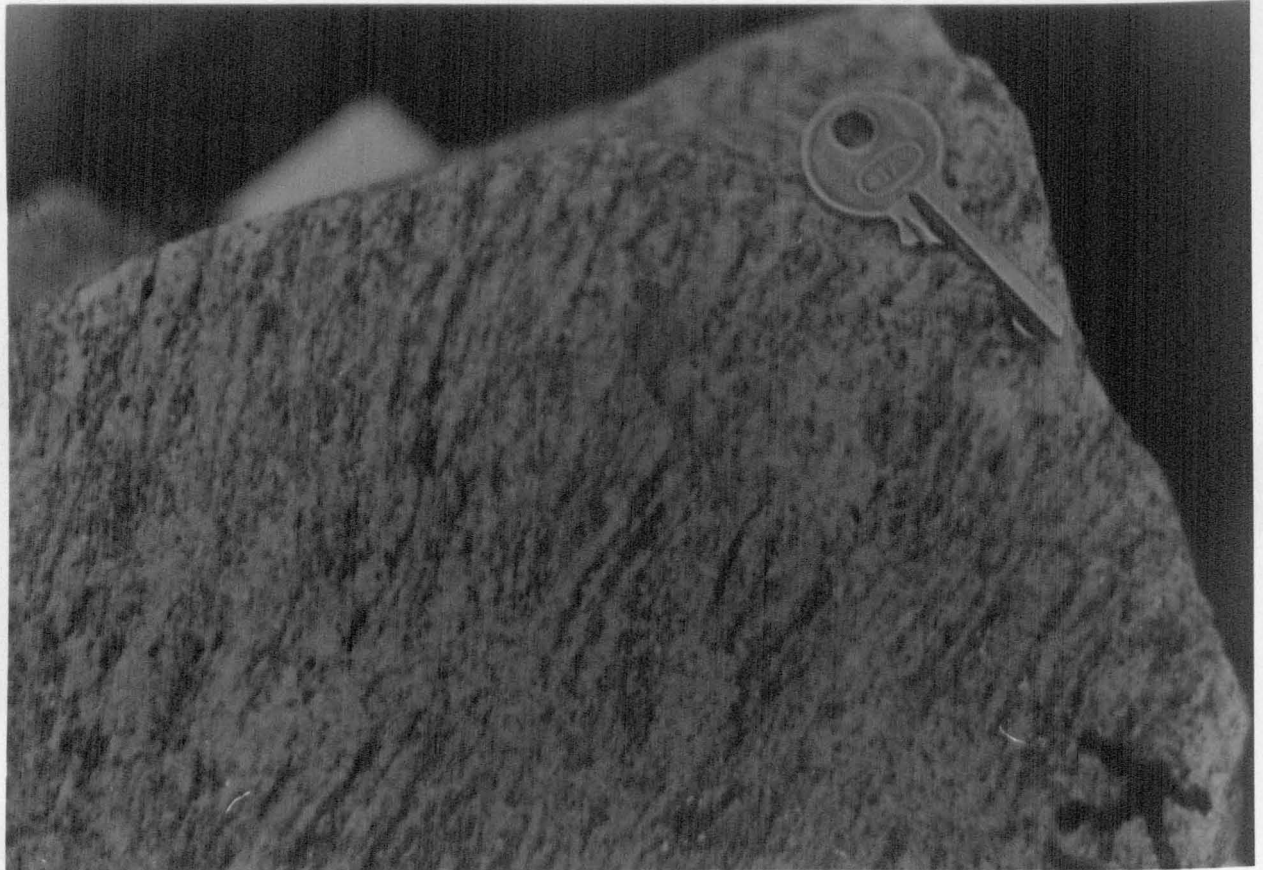


PLATE 2-7

Banded alkali-granitic garnet-biotite gneiss, with local replacement of biotite by tourmaline
Gneiss de Plounevez-Lochrist,
Plouider (Fig 1-2)

PLATE 2-8

Finely banded biotite-gneiss with folded cross-cutting leucogranitic bands. Later intrusive sheet of coarse pink-feldspar-porphyritic biotite-granite (Granite de L'Aber-Ildut) Corn ar Gazel (Figs 2-1, 3-A)

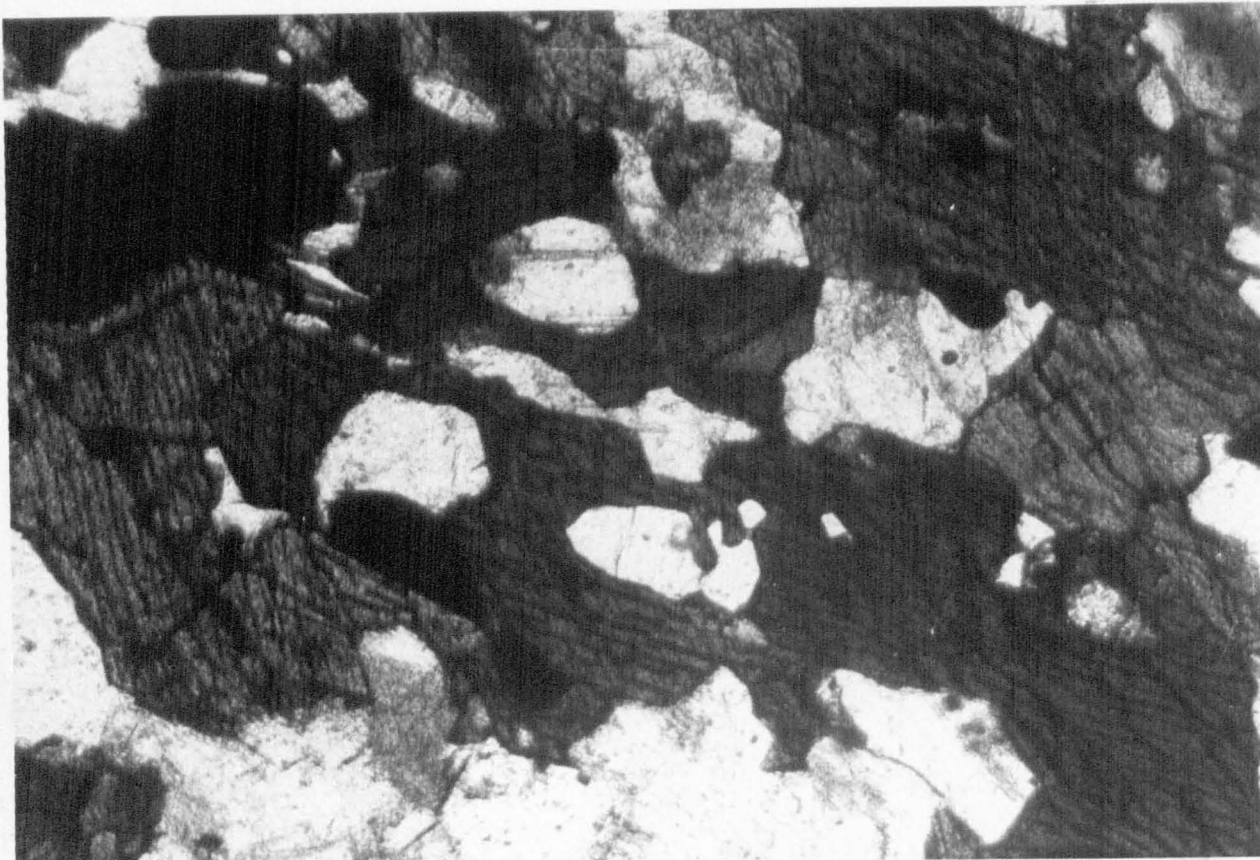
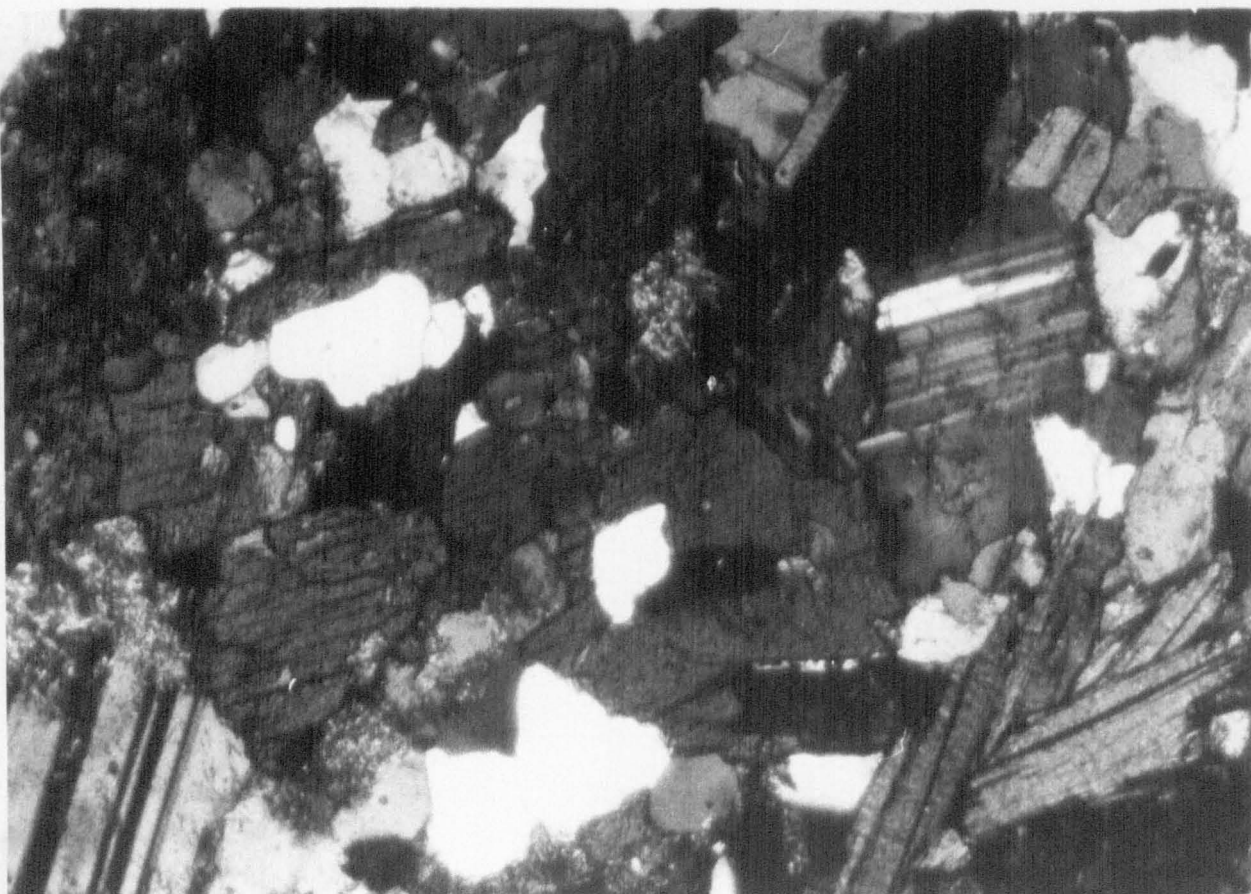


PLATE 2-9

Diorite de Lannilis

NW of Pont Crac'h Gue (Fig 2-1)

Crossed polars 100 x

Hornblende (poikiloblast left of centre) biotite (lower right), andesine, and quartz are clearly visible. A K-Ar analysis has been made of hornblende from another sample from this locality (Sample 203, Figs 5-3 and 5-4)

PLATE 2-10

Mafic amphibolite

Amphibolites de L'Aber-Benoit, north of Locmajan (Fig 2-3). The field shows predominantly calcic andesine (altered and cleaved) and olive-green hornblende, with a few grains of quartz and opaques. A K-Ar analysis has been made of hornblende from this sample (no 161, Figs 5-3 and 5-4).

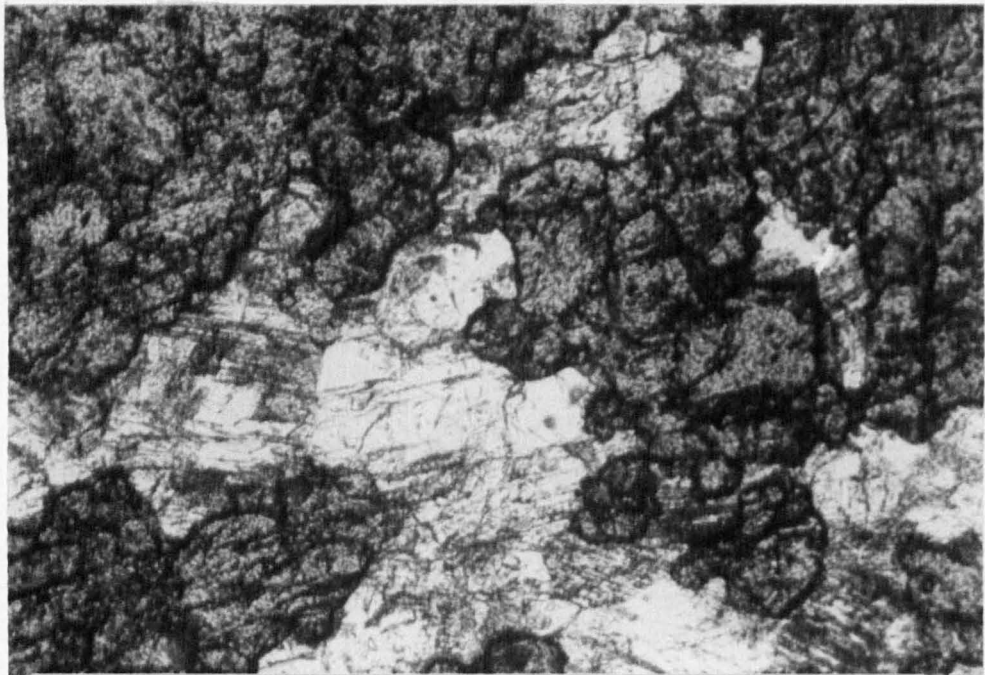
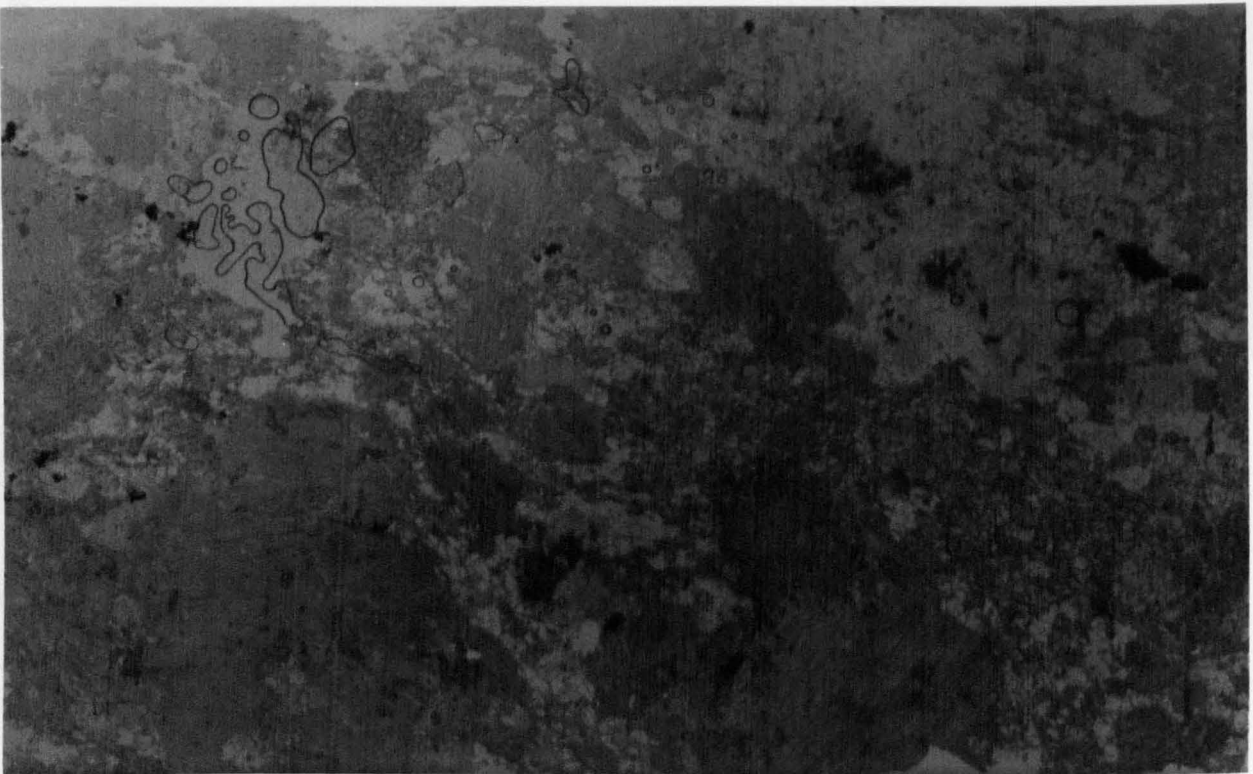
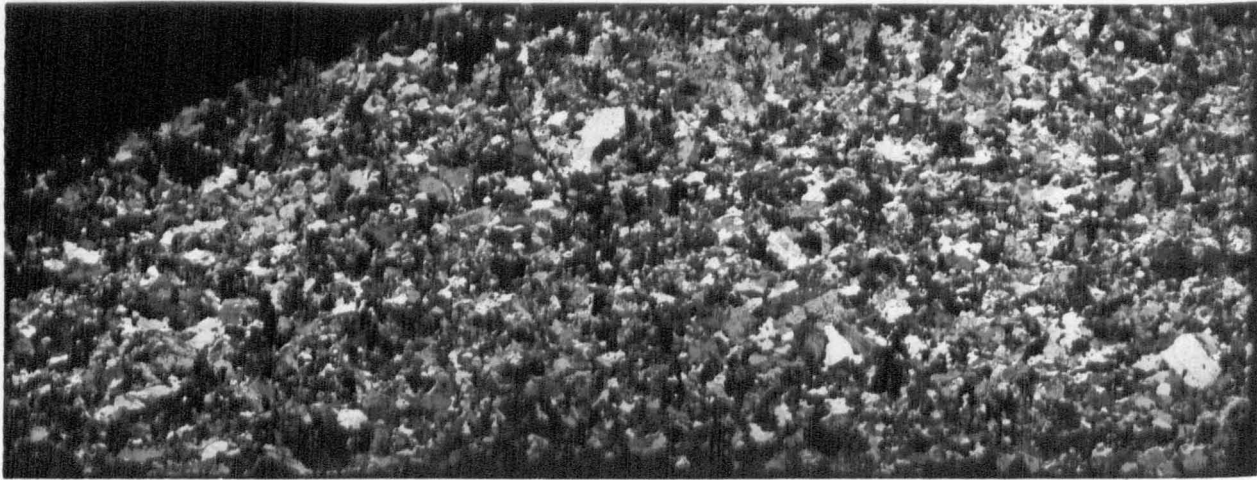
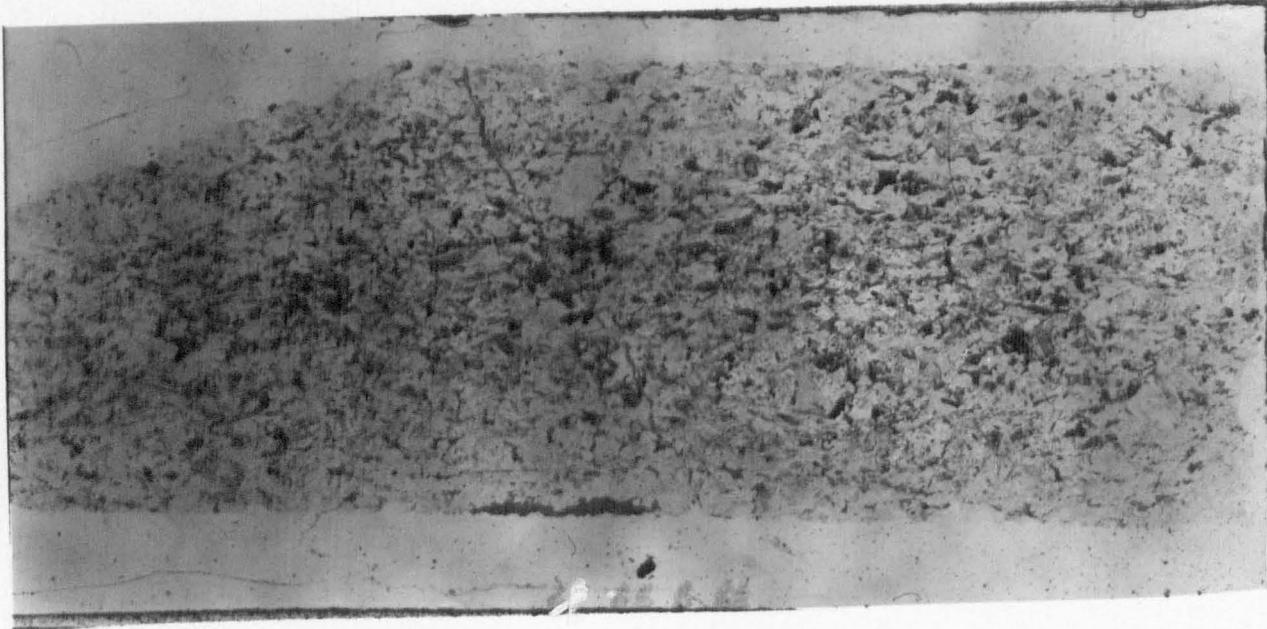


PLATE 2-11

Coarse mafic gneiss, Pont de Treglonou (Fig 2-1). Ordinary light 6 x. The rock consists largely of hornblende (medium tones, with prominent prismatic cleavage), clinopyroxene (pale, traversed by numerous cracks), andesine (colourless) and sphene (a prominent grain upper left). K-Ar analyses have been made on hornblende and sphene (sample 214, Figs 5-3, 5-4).

PLATE 2-12

Mafic gneiss . Brendaouez (Fig 2-1). PPL 80 x . The rock consists largely of garnet (high relief, pink), clinopyroxene (lower relief, green to pale-pink) and calcic andesine .



PLATES 2-13 (P.P.L.) (above)

and 2-14 (crossed polars) (below)

Granite de St Renan.

Quarry, Langongar, near St Renan. 5x.

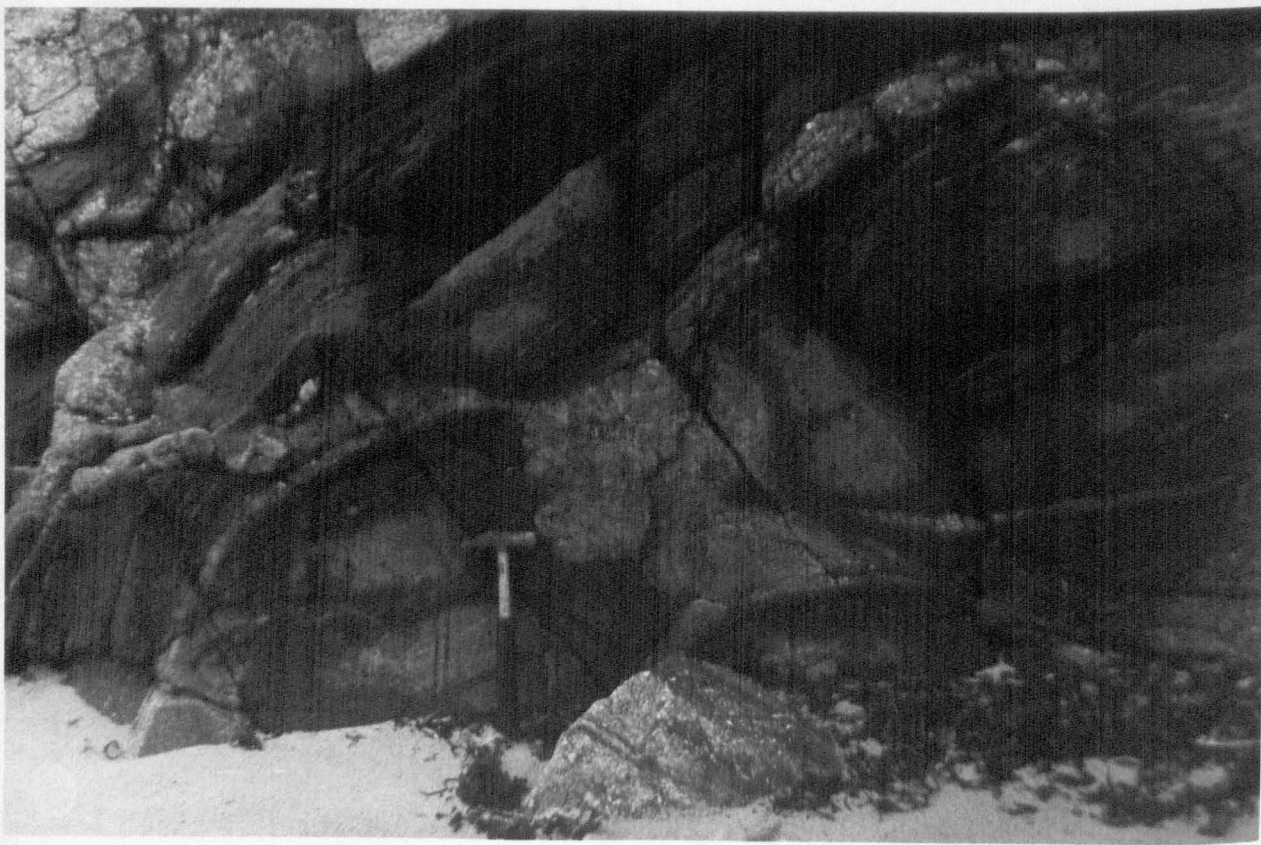


PLATE 3-1

DIORITE DE PORTSALL

NE of Kerros

(Fig 3-1)

Numerous granitic veins penetrate
but do not disrupt the earlier
structures in the diorite

PLATE 3-2

AGMATITE

Diorite de Portsall

NE of Kerros (Fig 3-1)

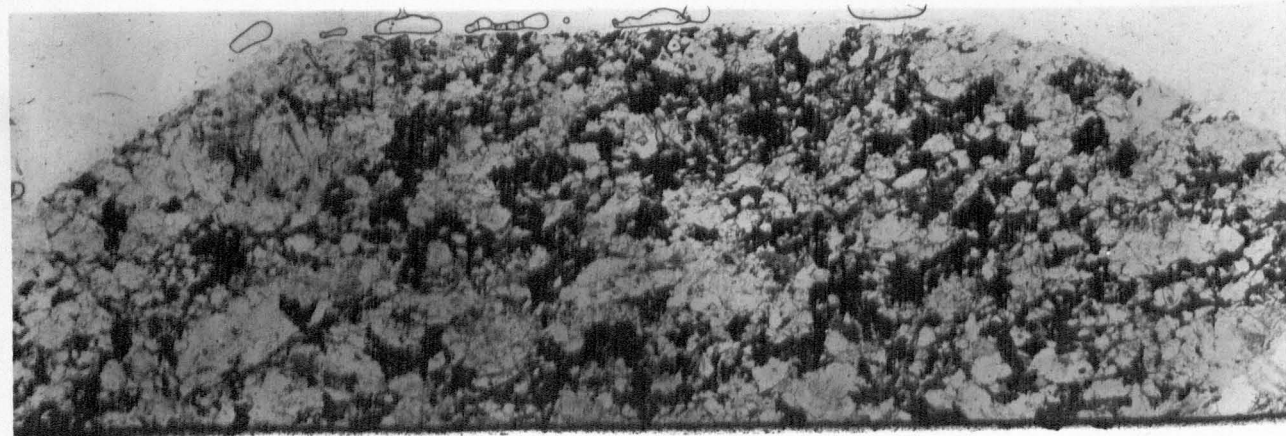


PLATE 3-3

MIGMATITIC PORTION OF DIORITE DE
PORTSALL, WITH MAFIC ENCLAVE
SE OF POINTE SCOUNE (FIG 3-2)

PLATE 3-4

DIORITE DE PORTSALL WEST SIDE OF
GREVE DE TREOMPAN (FIG 3-2) ORDINARY
LIGHT (6x).

The rock displays a rather weak linear and planar fabric. The main minerals are andesine, green hornblende, biotite, quartz and sphene. A K-Ar analysis has been made of hornblende from this rock (Sample no. 239, Figs 3-3 and 3-4)

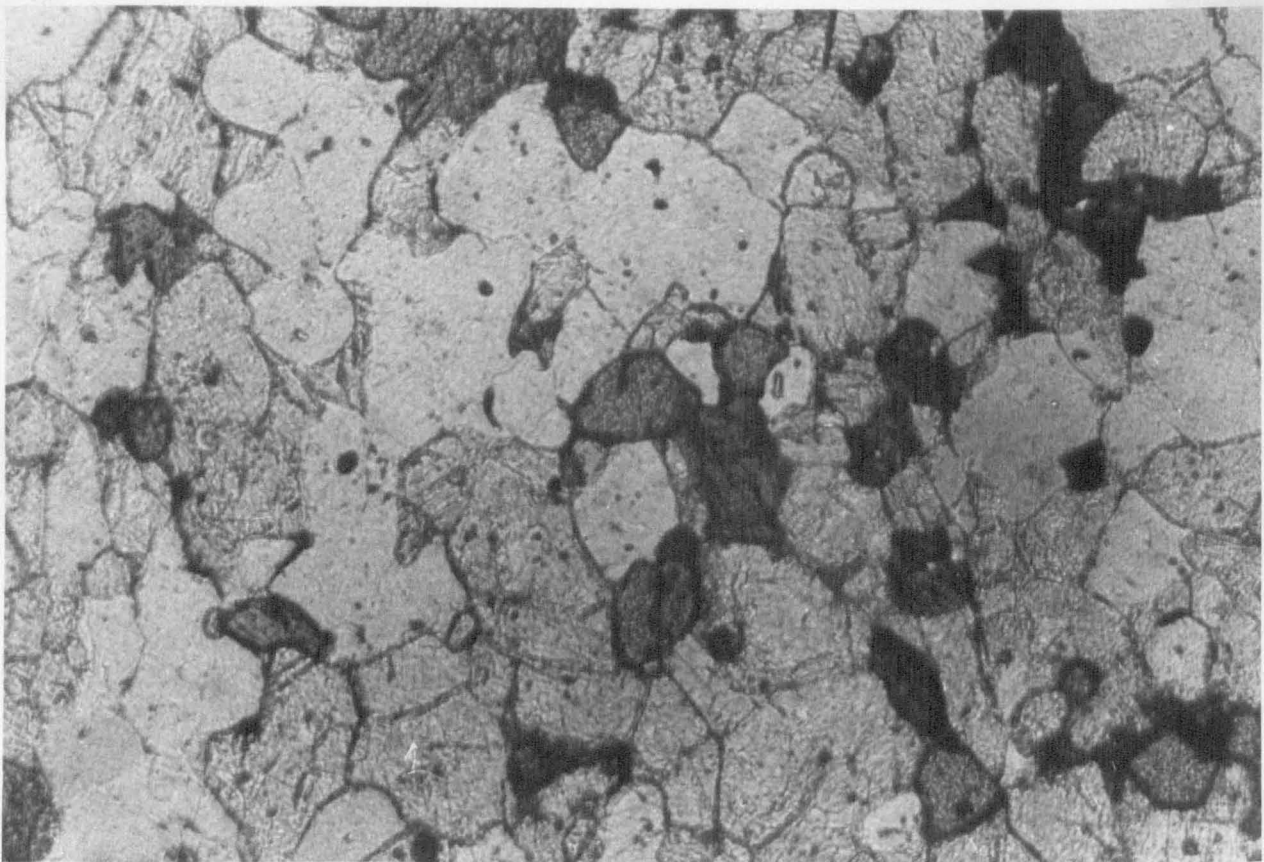


PLATE 3-5

**CALCAREOUS PSAMMITE
MIGMATITES DE PLOUGUERNEAU
TROLOUC'H (FIG 3-1) P.P.L.100x**

The rock consists of quartz (low relief), calcic andesine (with cleavage, higher relief), garnet (high relief, no cleavage) and amphibole (high relief, with cleavage).

PLATE 3-6

**SILLIMANITE - GNEISS
MIGMATITES DE PLOUGUERNEAU
NORTH END OF ILE TARIEC (FIG 3-6).**

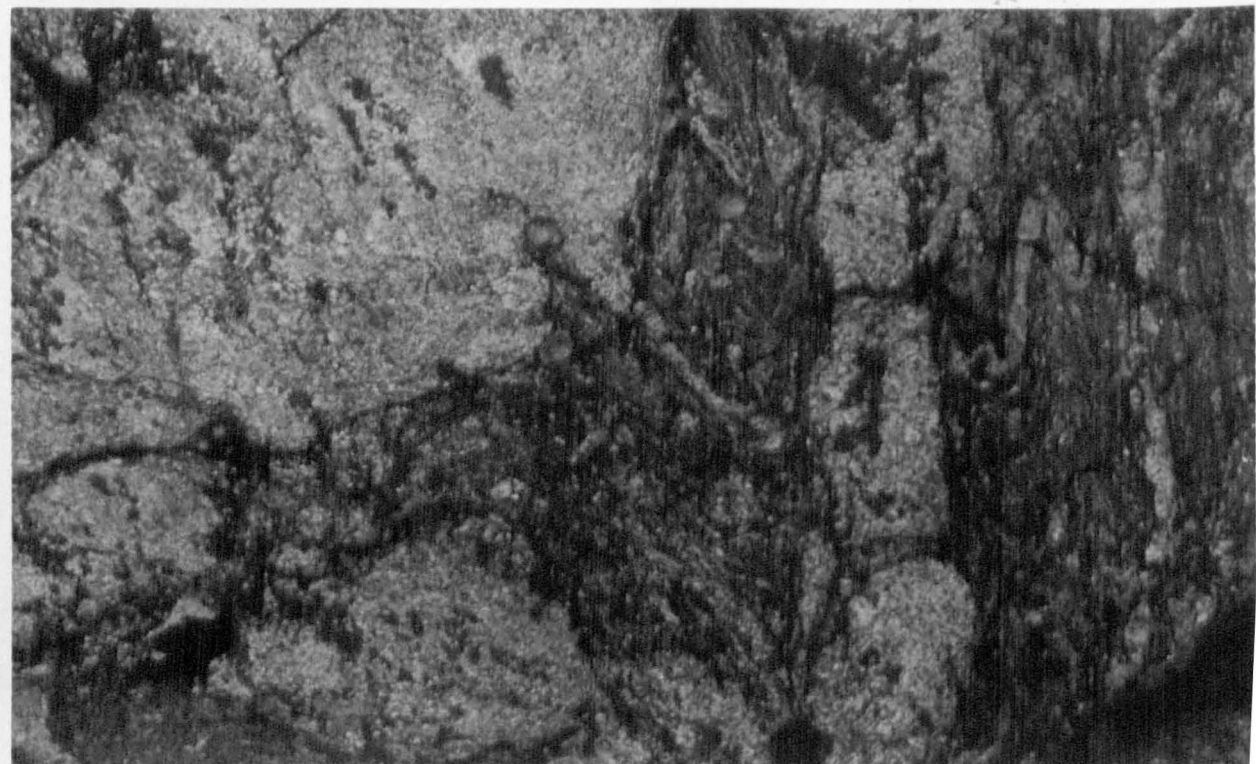
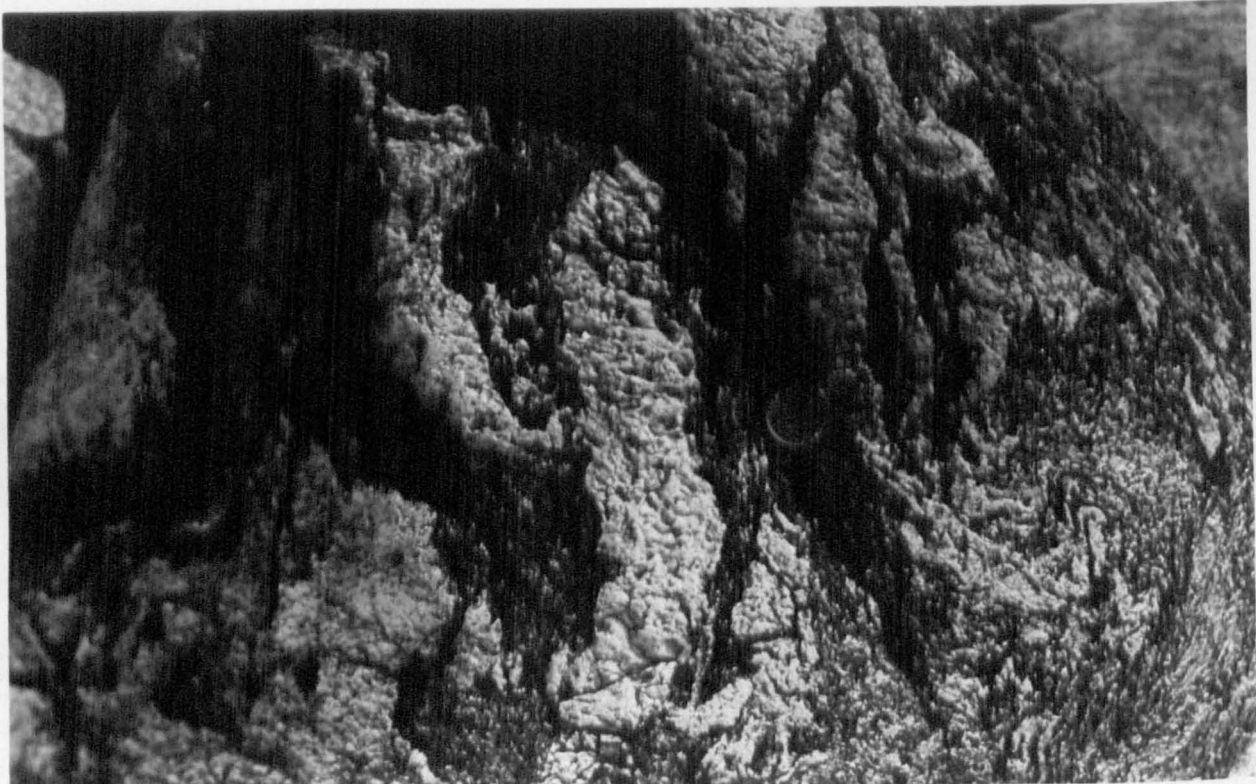


PLATE 3-7

SILLIMANITE - GNEISS
MIGMATITES DE PLOUGUERNEAU
ILE VENAN (FIG 3-1)

The melanosome (sillimanite-biotite) and leucosome bands are thicker than in the example shown in plate 3-6.

PLATE 3-8

FINELY-BANDED BIOTITE-GNEISS
cut by coarse sheets of leucogranite
MIGMATITES DE PLOUGUERNEAU
ENEZ CROAZ-HENT (FIG 3-4)
(The limpets are about 3 cm in diameter)

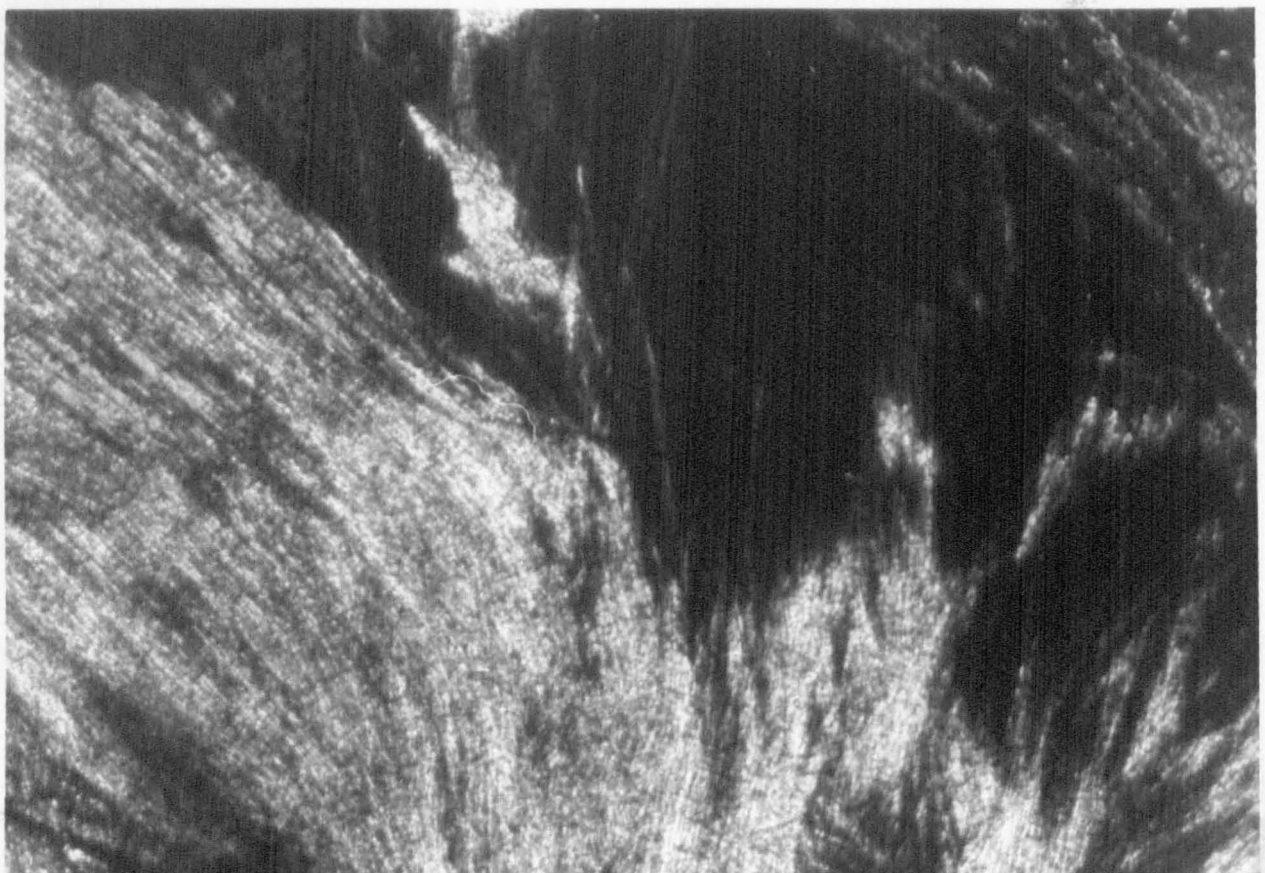
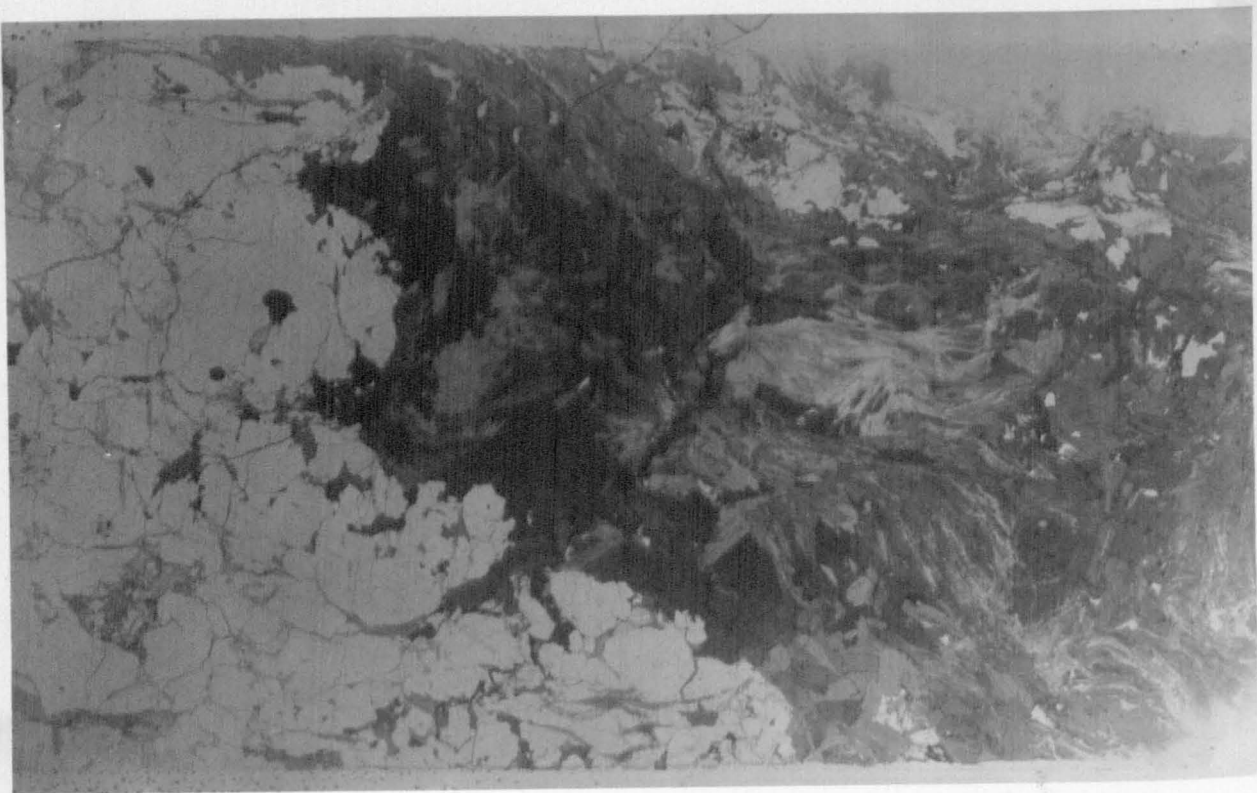
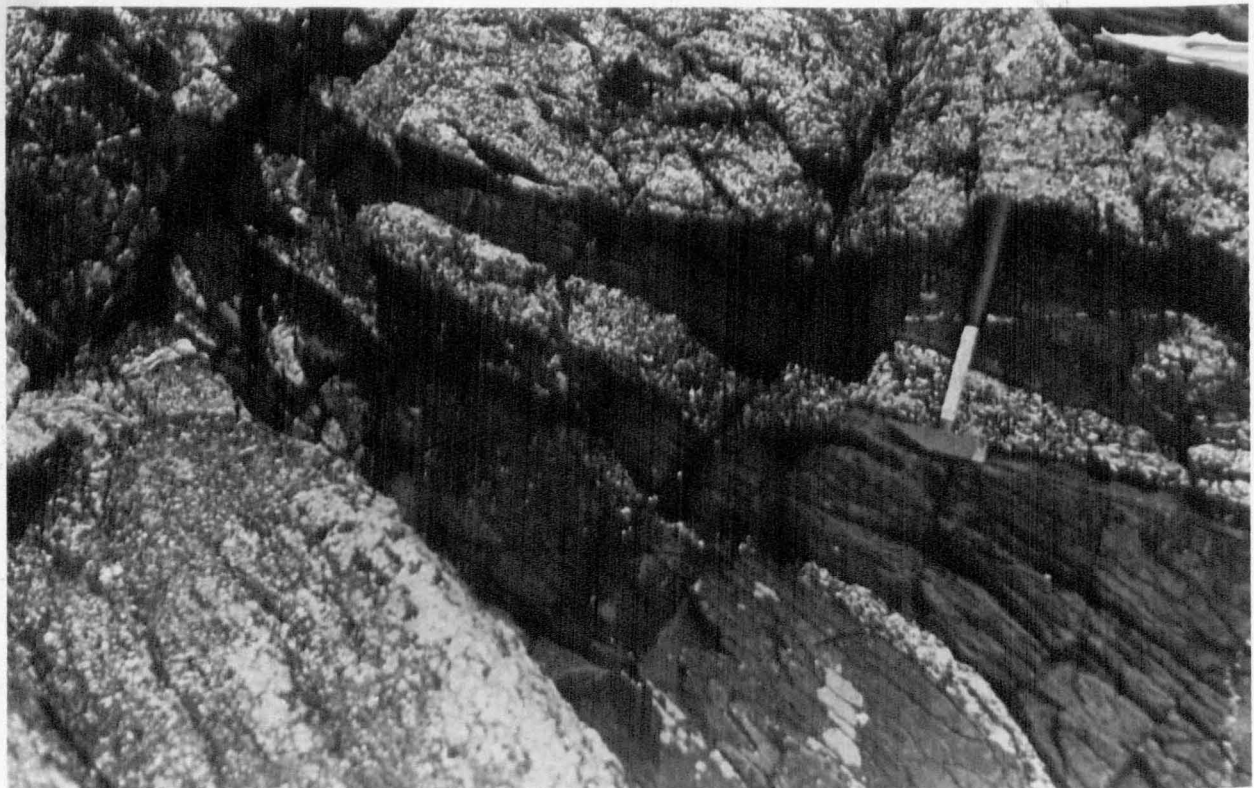
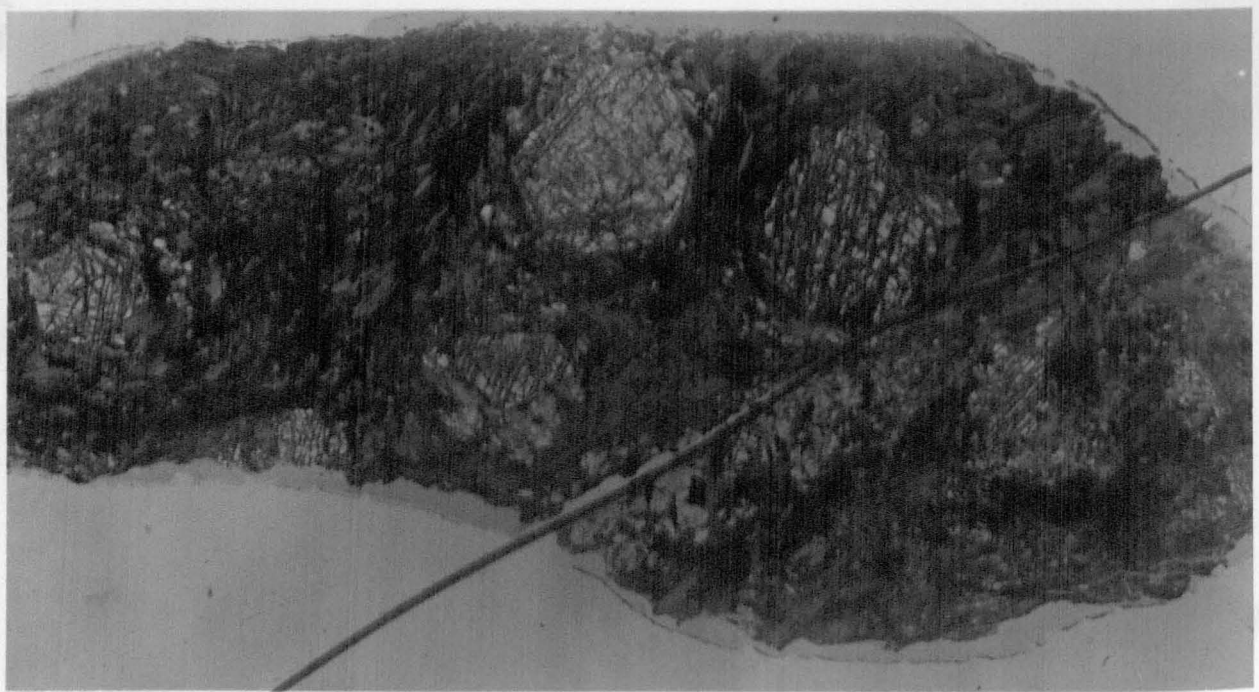


PLATE 3-9

SILLIMANITE-GNEISS
MIGMATITES DE PLOUGUERNEAU
PORTSALL HARBOUR (FIG 3-2).
Ordinary light 6 x
The differentiation into melanosome
(consisting of biotite and fibrolite,
with minor garnet) and leucosome is
apparent.

PLATE 3-10

SAME SECTION AS PLATE 3-9
PPL 100x
Fibrolite nucleating on biotite



1965-01-01

PLATE 3-11

MELANOSOME
MIGMATITES DE PLOUGUERNEAU
Ar PENVIDIQIOU (FIG 3-A)
Ordinary light 5 x
Euhedral porphyroblasts of highly
cleaved pale lilac corundum in a
matrix of biotite with minor fibrolite
and alkali-feldspar

PLATE 3-12

MAFIC LENSES IN LEUCOGRANITE
MIGMATITES DE PLOUGUERNEAU
CREAC'H AN AVEL (FIG 3-1)
The mafic portion consists of hornblende
and labradorite with minor quartz and
secondary chlorite. A K-Ar analysis
has been made of hornblende from this
locality (sample 313, Figs 5-3 and 5-4).



PLATE 3-13

Relatively ^{un}migmatised fine-grained
granodiorite and concordant sheet
of leucogranitic gneiss.

MIGMATITES DE PLOUGUERNEAU
BEG AR SKEIZ (FIG 3-4)

PLATE 3-14

Migmatised but undisrupted granodiorite
MIGMATITES DE PLOUGUERNEAU
Same locality as plate 3-13

21-E 87447

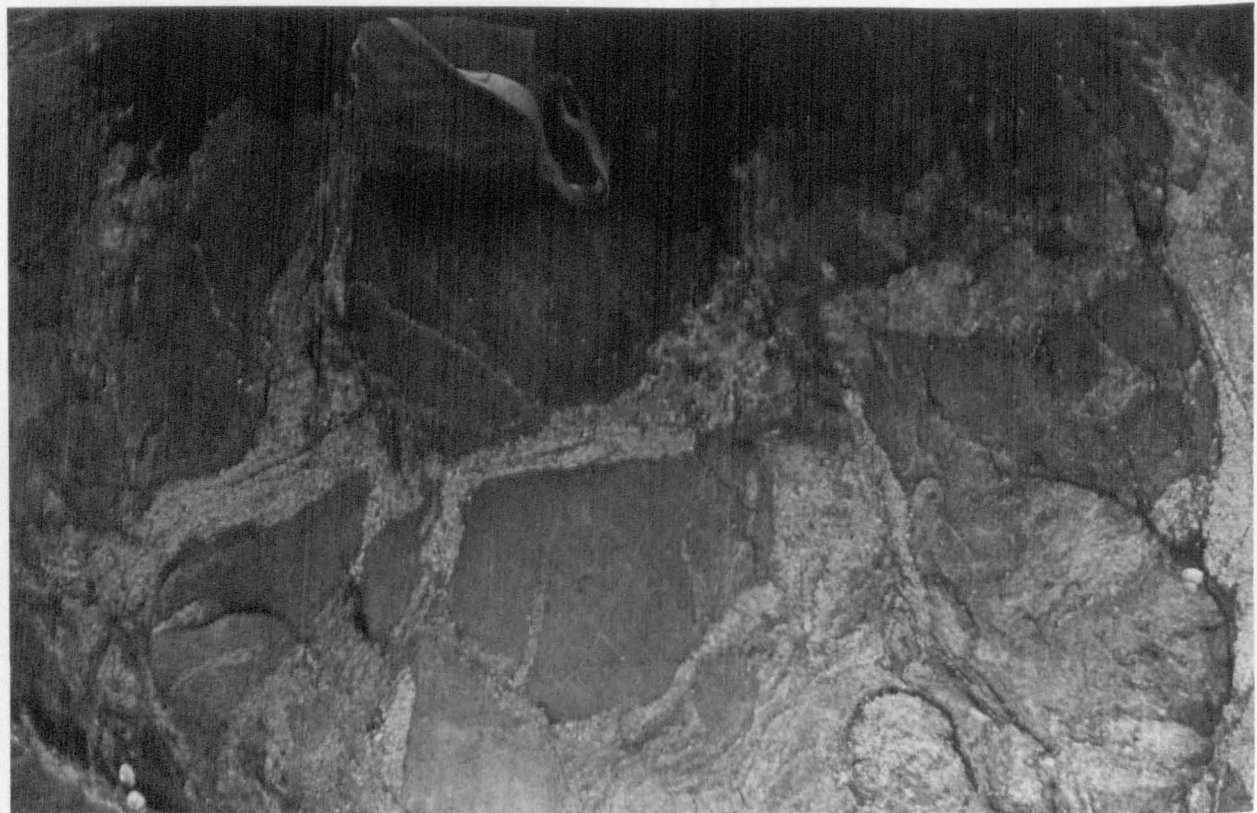


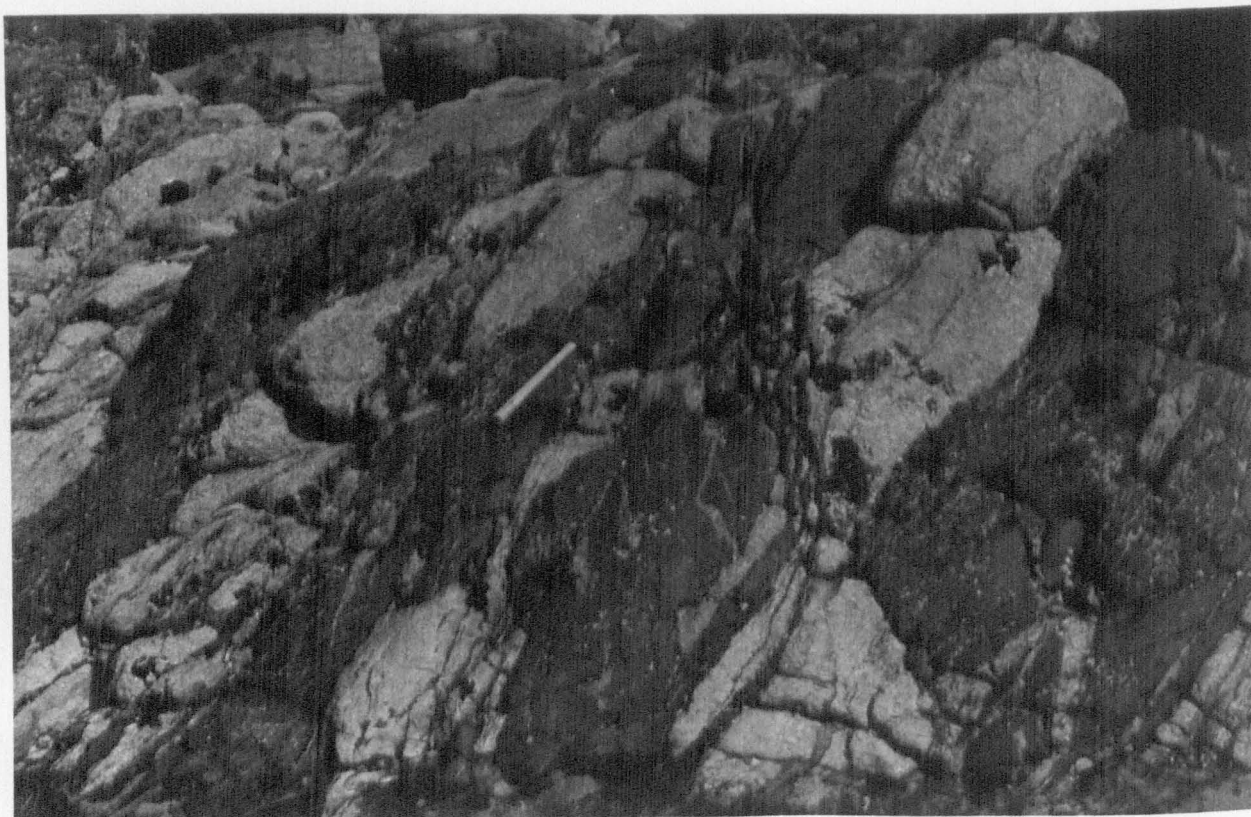
PLATE 3-15

AGMATITE

MIGMATITES DE PLOUGUERNEAU

ENES DU (FIG 3-4)

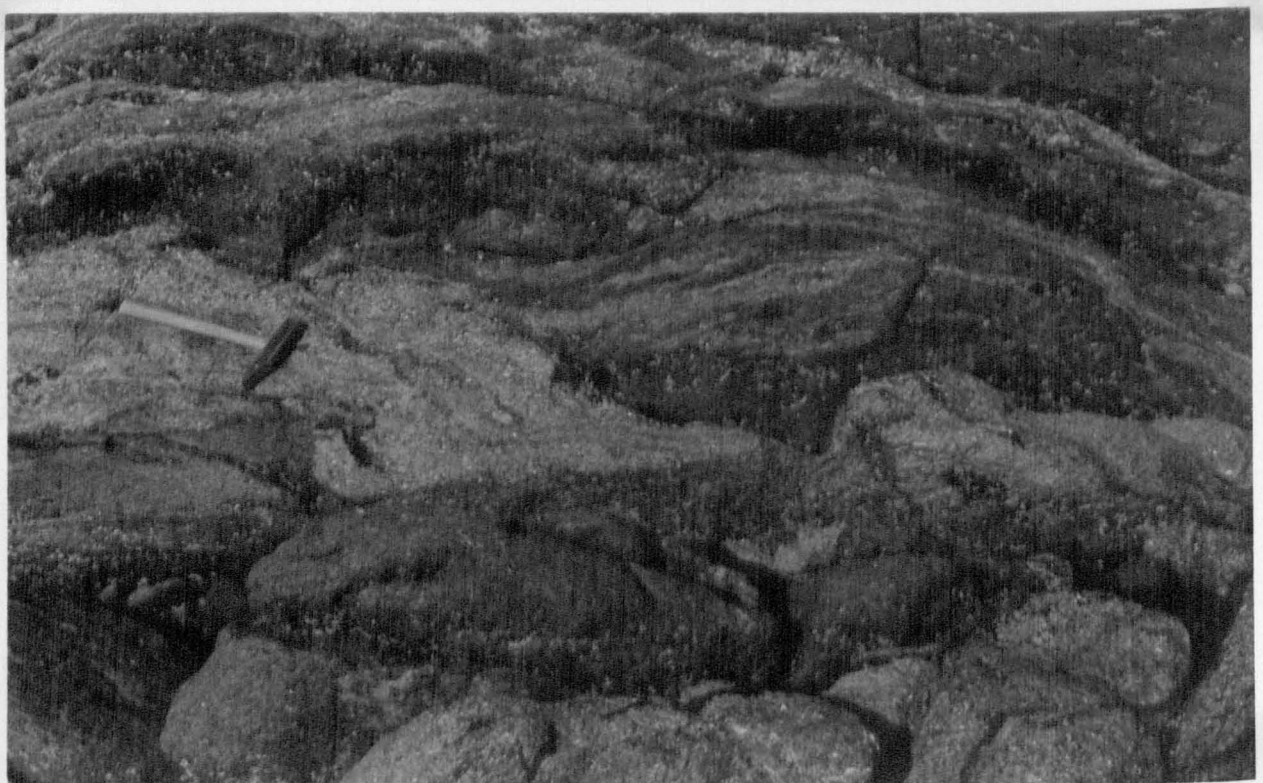
Sub-angular blocks of biotite-
granodiorite composition
disrupted by banded leucosome.



PLATES 3-16 (top) and 3-17

Increasing severity of migmatisation
of dark biotite-granodiorite with
development of biotite schlieren in
leucogranite matrix.

ENEZ CROAZ-HENT (FIG 3-4)



PLATES 3-18 (top) and 3-19

Progressive migmatisation of
biotite-granodiorite

Le Vougo (Fig 3-4)

Palaeosome and leucosome are less
clearly distinguished with increasing
severity of migmatisation;
anatexis appears to have reached an
advanced degree

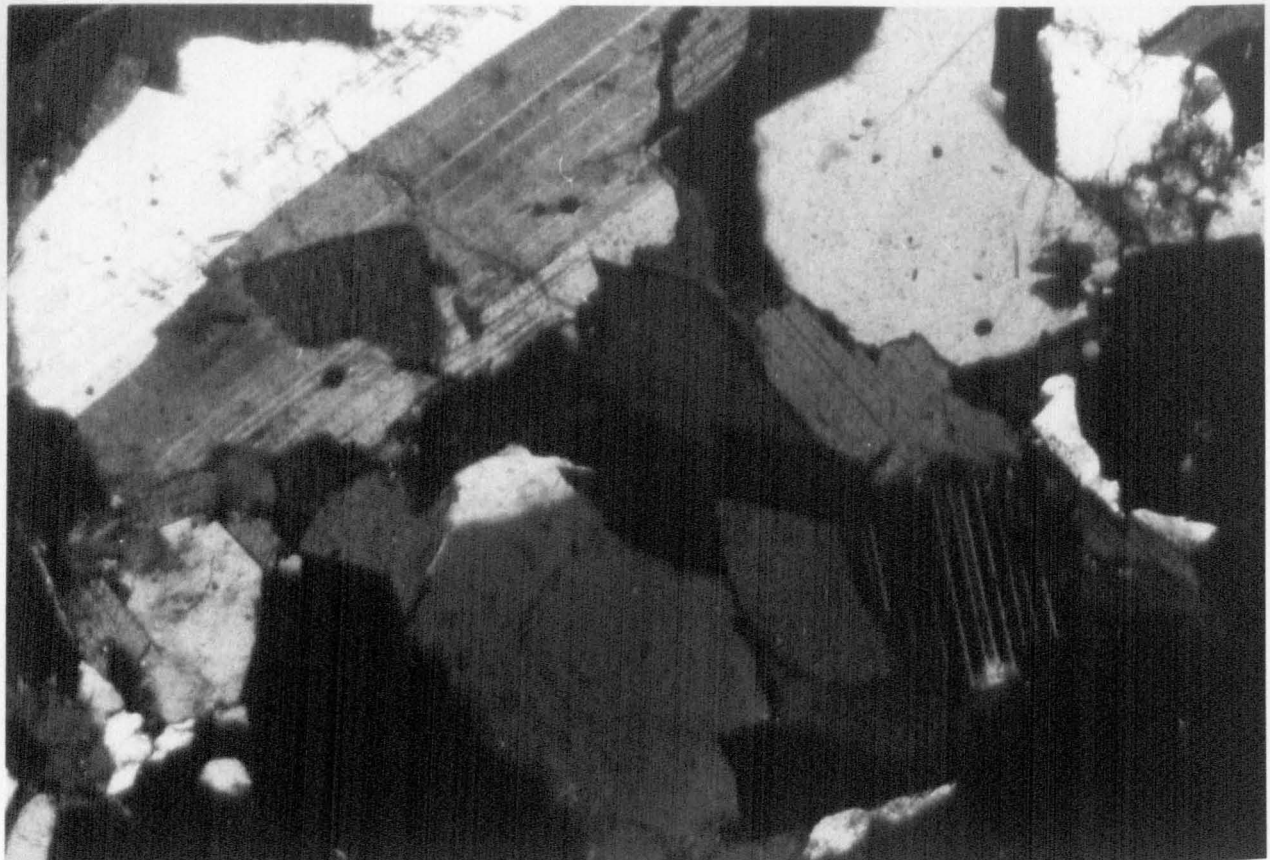
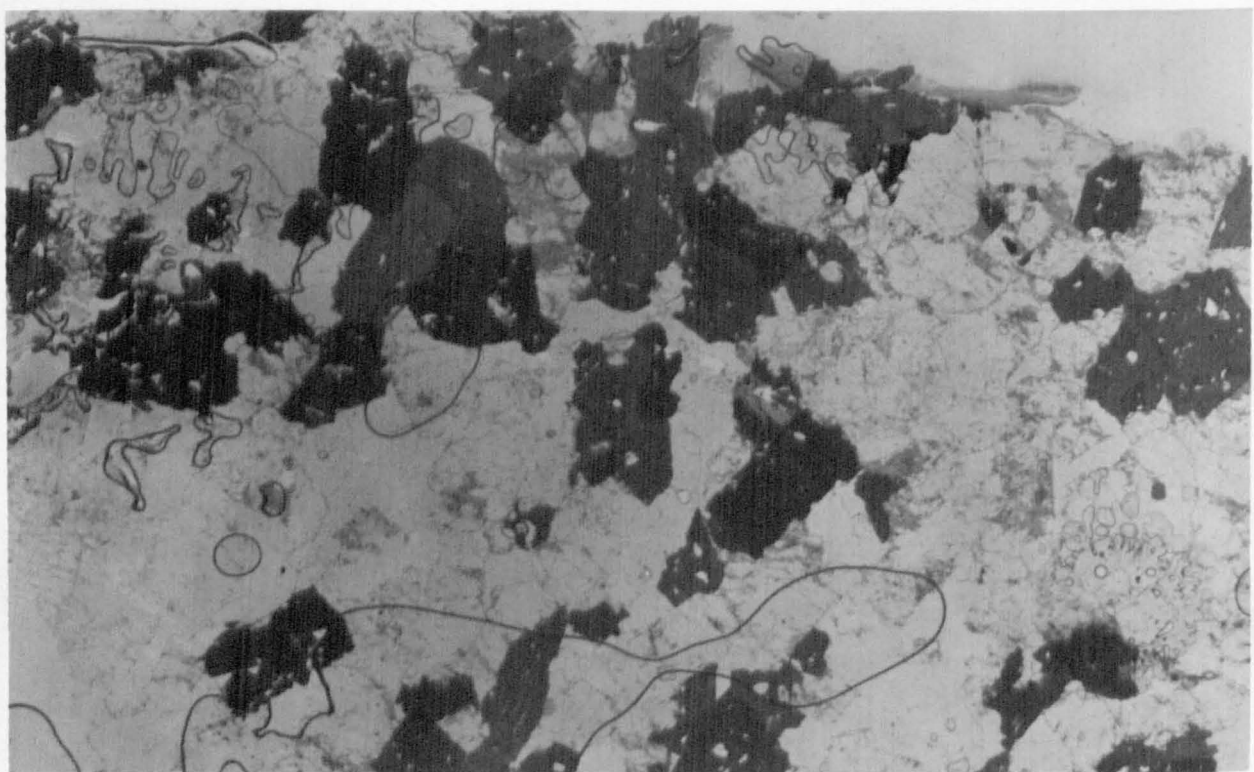
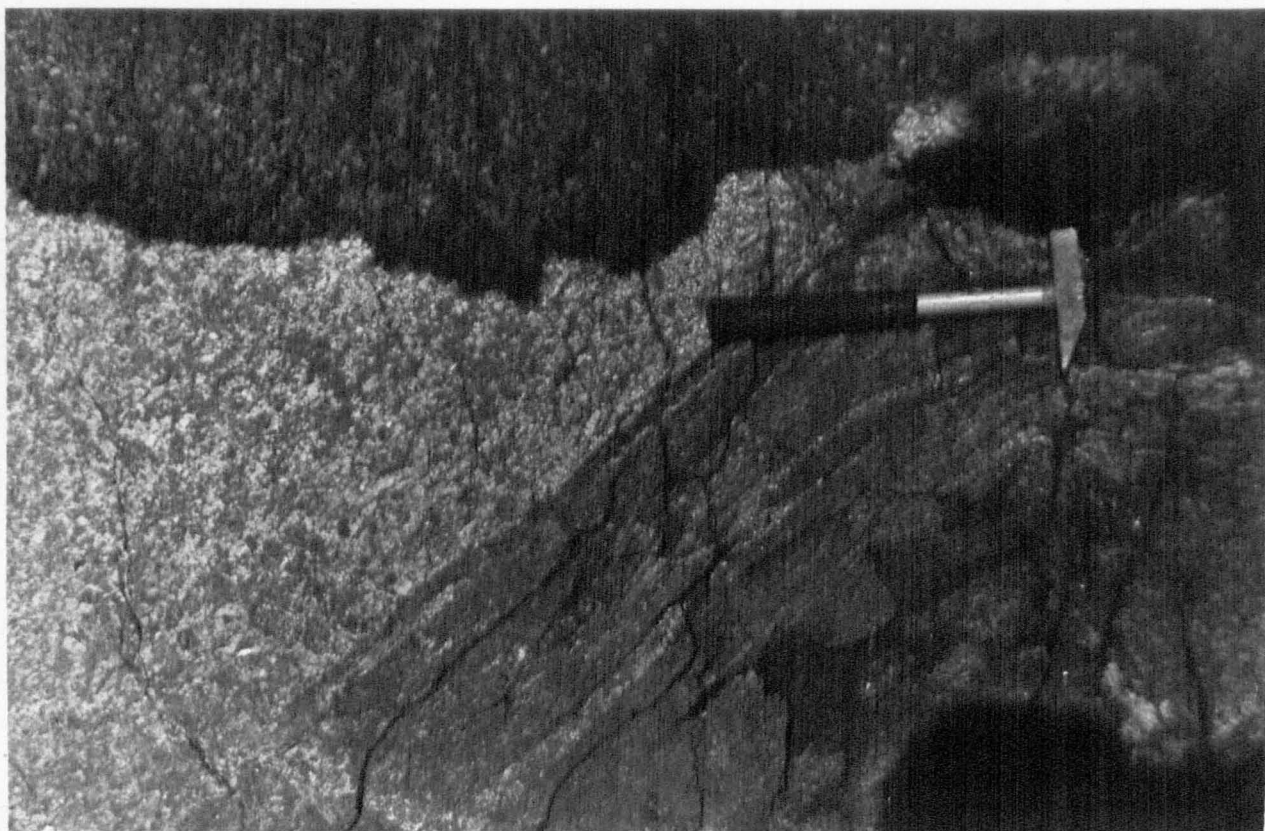
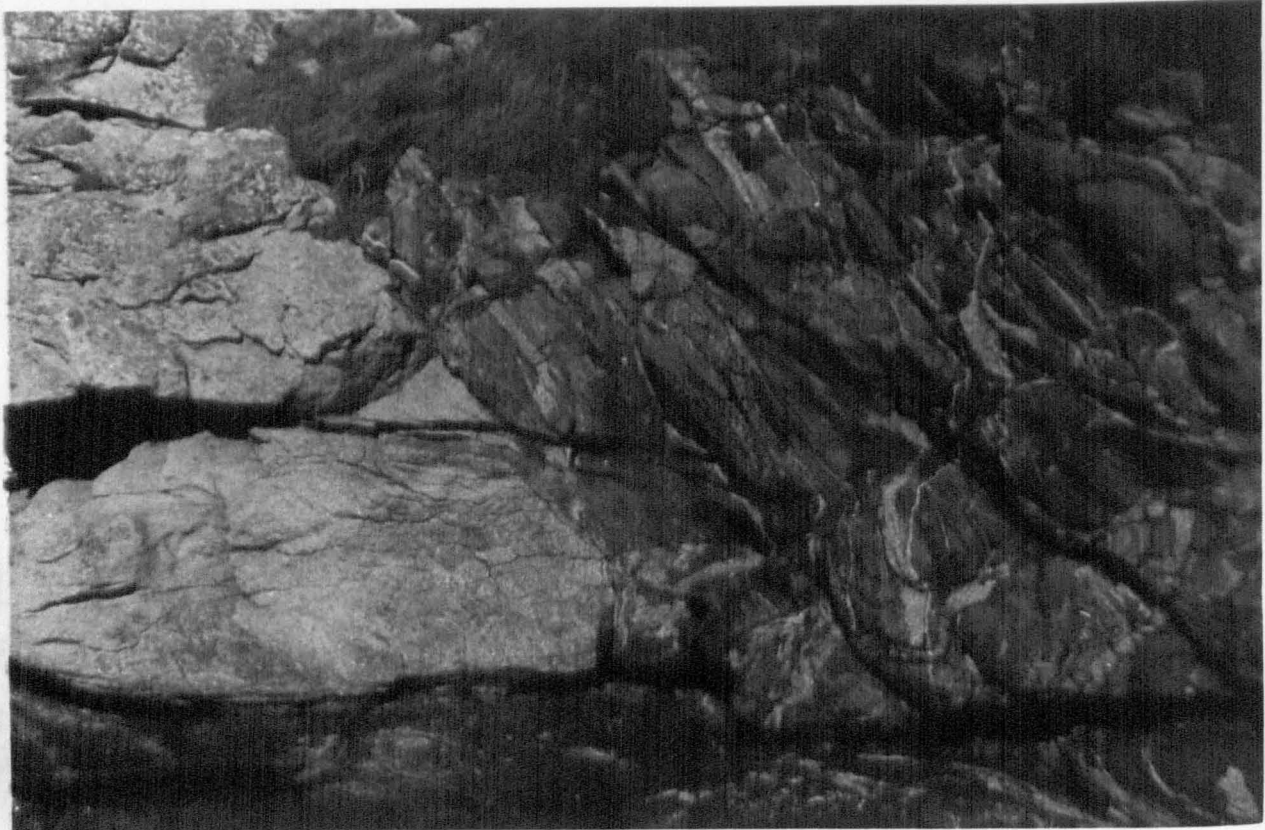


PLATE 3-20 Coarse grained orthomigmatite agmatite palaeosome of intermediate composition. PENN ENEZ (east of TROLOU'CH, FIGS 3-1, 3-A). Crossed polars; 100x
The rock consists of predominantly sodic andesine, quartz and biotite.

PLATE 3-21 Leucosome from agmatite of Plate 3-20.
The rock consists predominantly of microcline perthite and quartz, with smaller amounts of oligoclase and chloritised biotite (not seen in plate).



- PLATE 3-22 'PSEUDOGARNET' LEUCOGNEISS
MIGMATITES DE PLOUGUERNEAU
BEG AR SKEIZ (FIG 3-4)
Many of the scattered dark spots
consist of biotite and chlorite,
possibly pseudomorphous after garnet.
- PLATE 3-23 Leucodiorite vein in Diorite de Portsall
POINTE DE PENVIR (FIG 3-2)
Ordinary light 10 x
The rock consists of hornblende, andesine/
oligoclase and quartz.
A K-Ar analysis of hornblende from this
sample has been made (sample 282,
Figs 5-3 and 5-4).



PLATES 3-24

Contact between migmatised
DIORITE DE PORTSALL (right) and
a sheet of Granite de Landunvez.
Carrec Cros (Figs 3-2, 3-5).

PLATE 3-25

Contact between Diorite de Portsall
(right) and Granite de Landunvez.
Carrec Cros (Figs 3-2, 3-5)



PLATES 3-26 and 3-27

Contact between GRANITE DE LANDUNVEZ (*left*)
and MIGMATITES DE PLOUGUERNEAU
at PORZ GRAE (FIG 3-1)

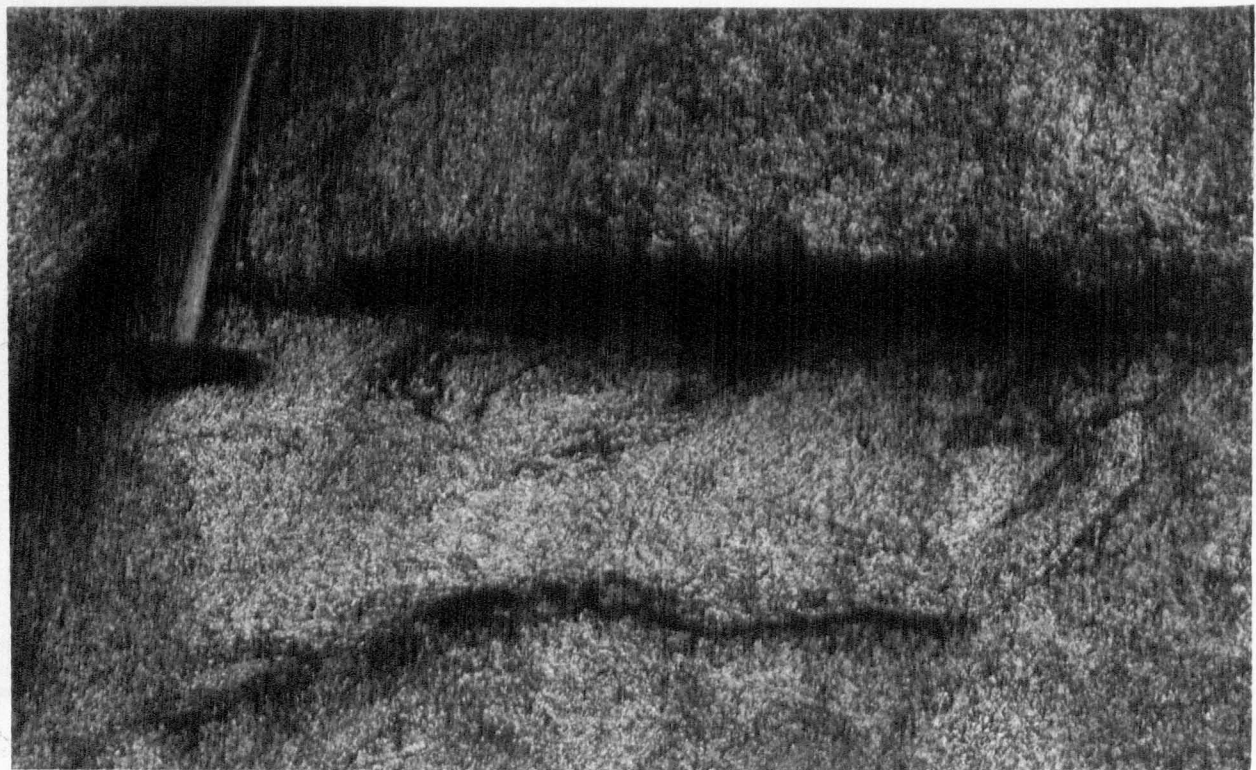
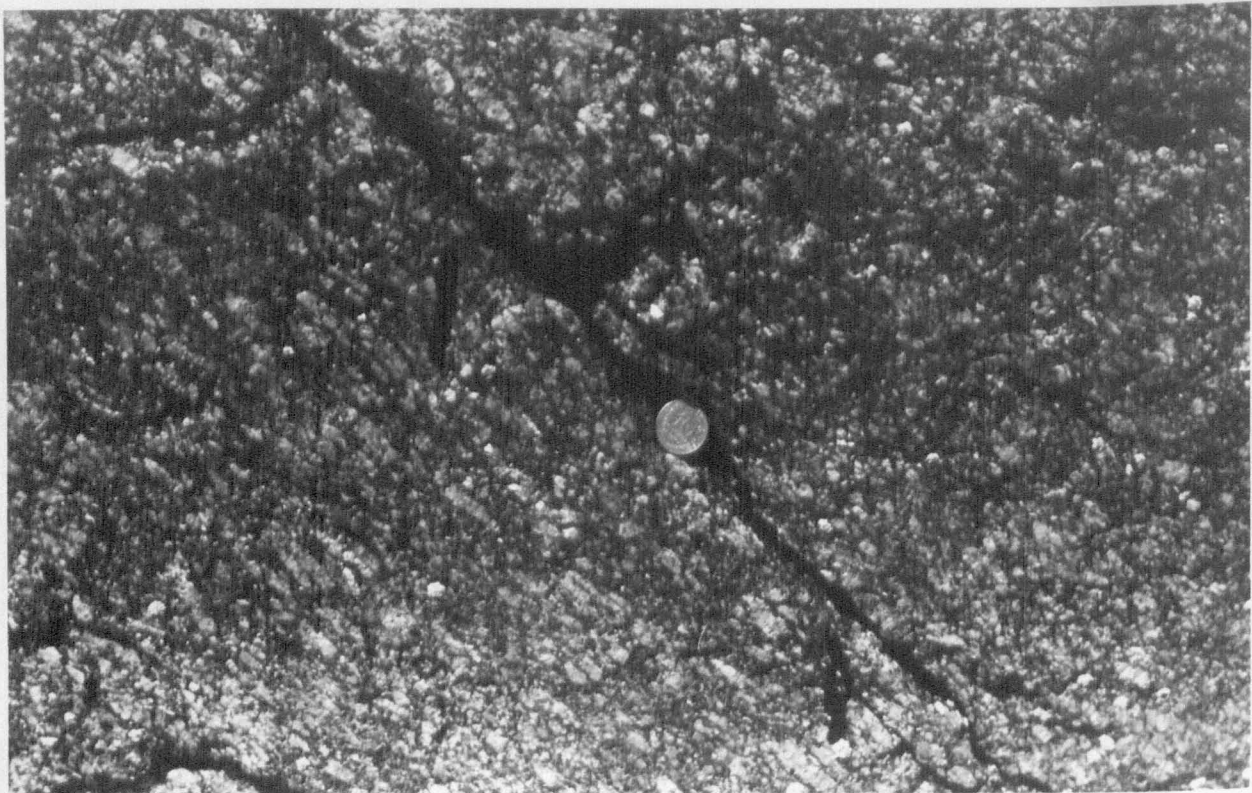


PLATE 3-28 GRANITE DE LANDUNVEZ
 ROC'H PELLEGUENT facies
 Same locality as previous two plates

PLATE 3-29 GRANITE DE LANDUNVEZ
 TRÉMAZAN facies
 POINTE DE LANDUNVEZ (Fig 3-1)

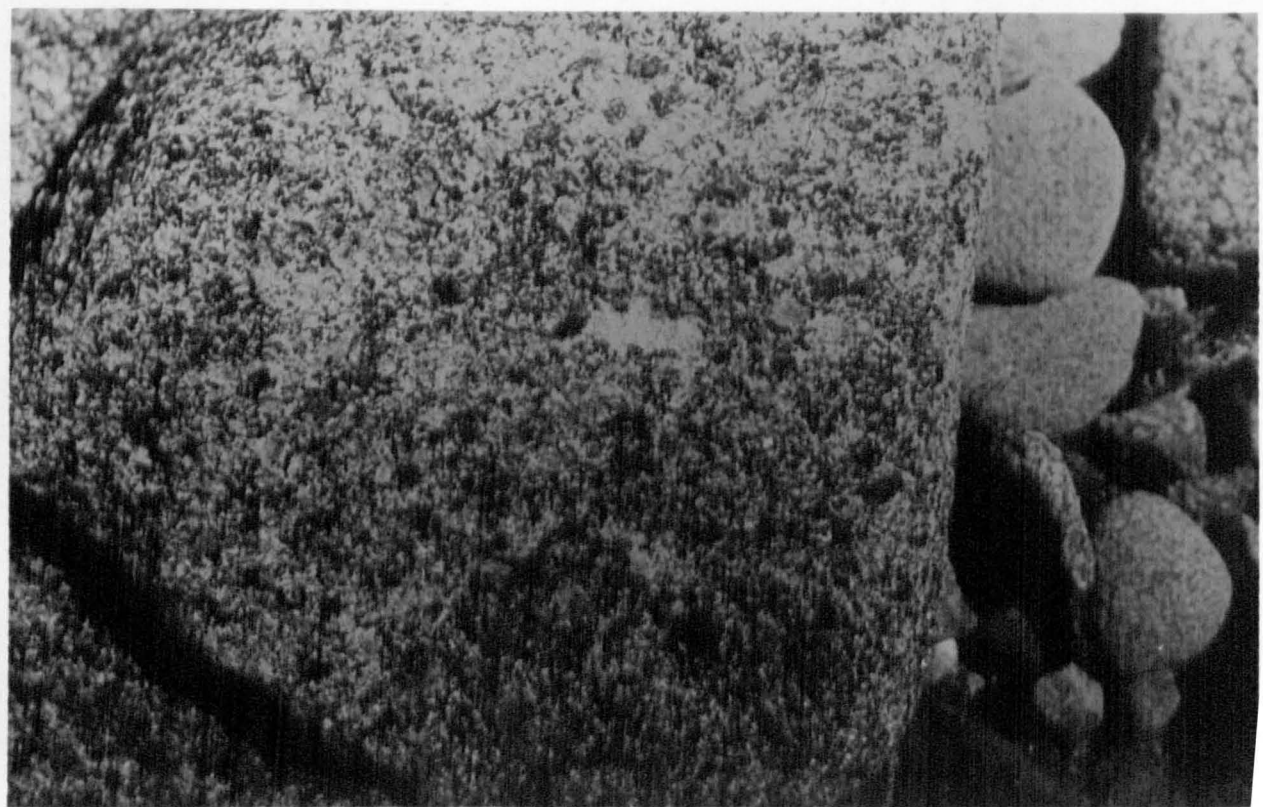
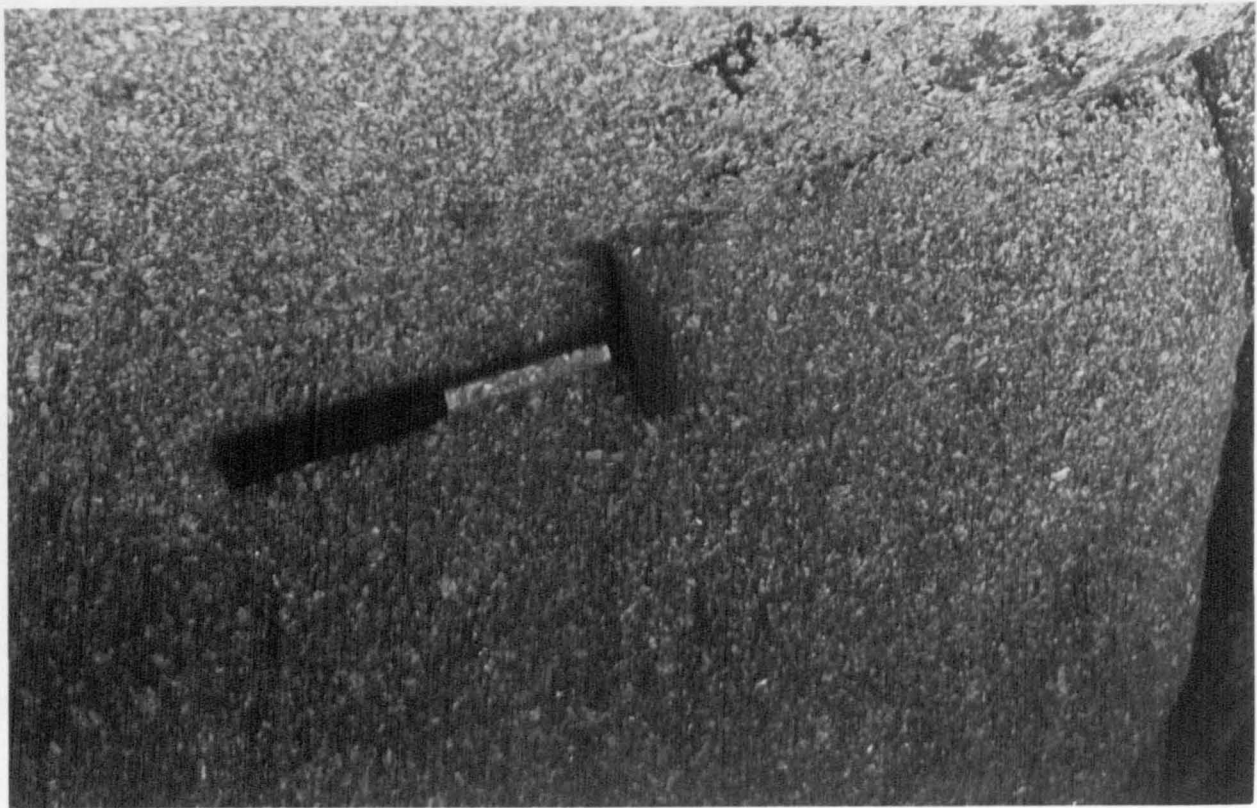
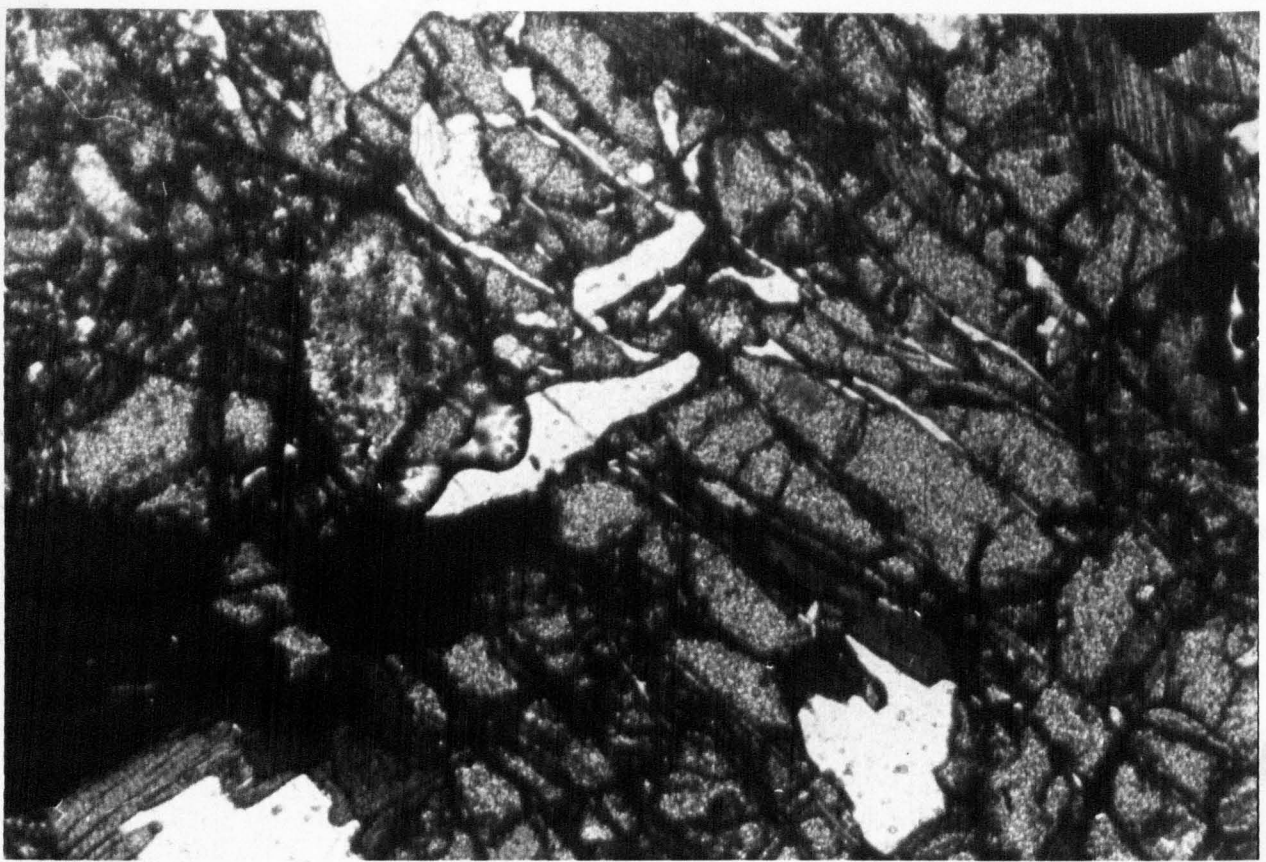
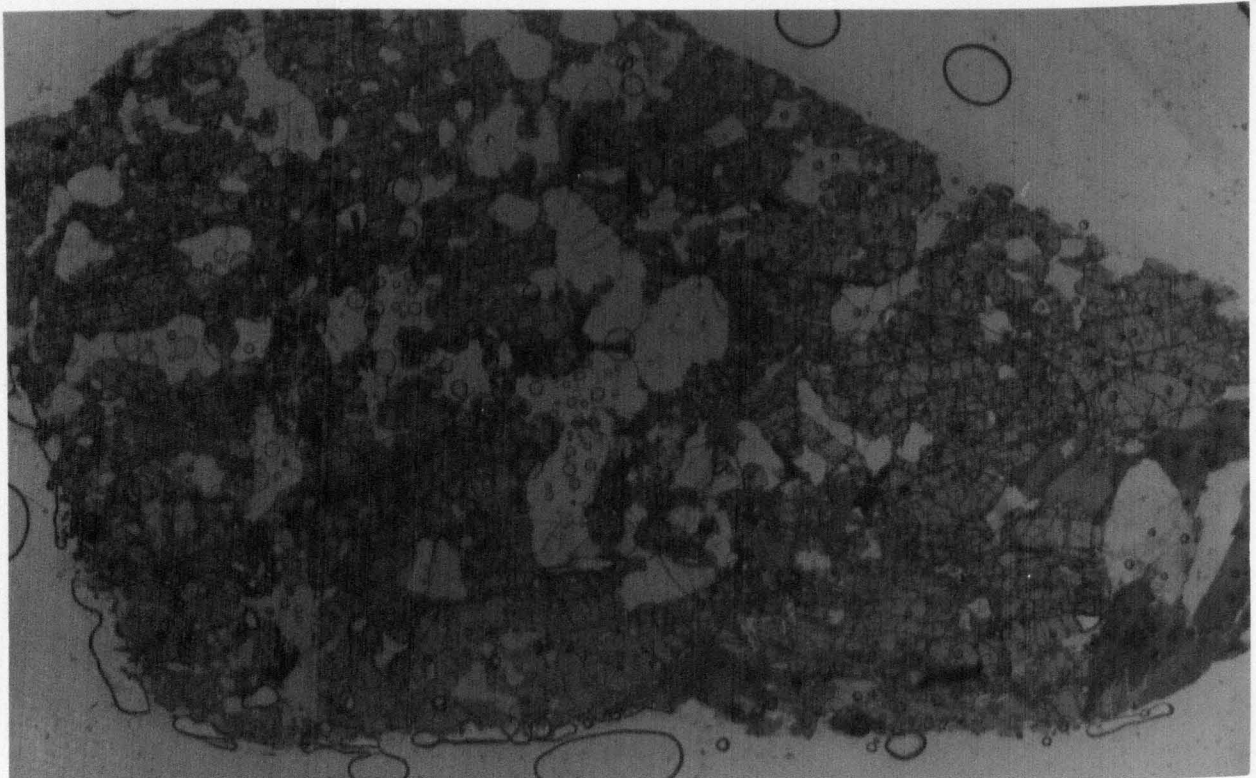


PLATE 3-30 GRANITE DE LANDUNVEZ
Scoune facies
ROCHE JAUNE (NE of ILE TARLEC)
(FIG 3-1)

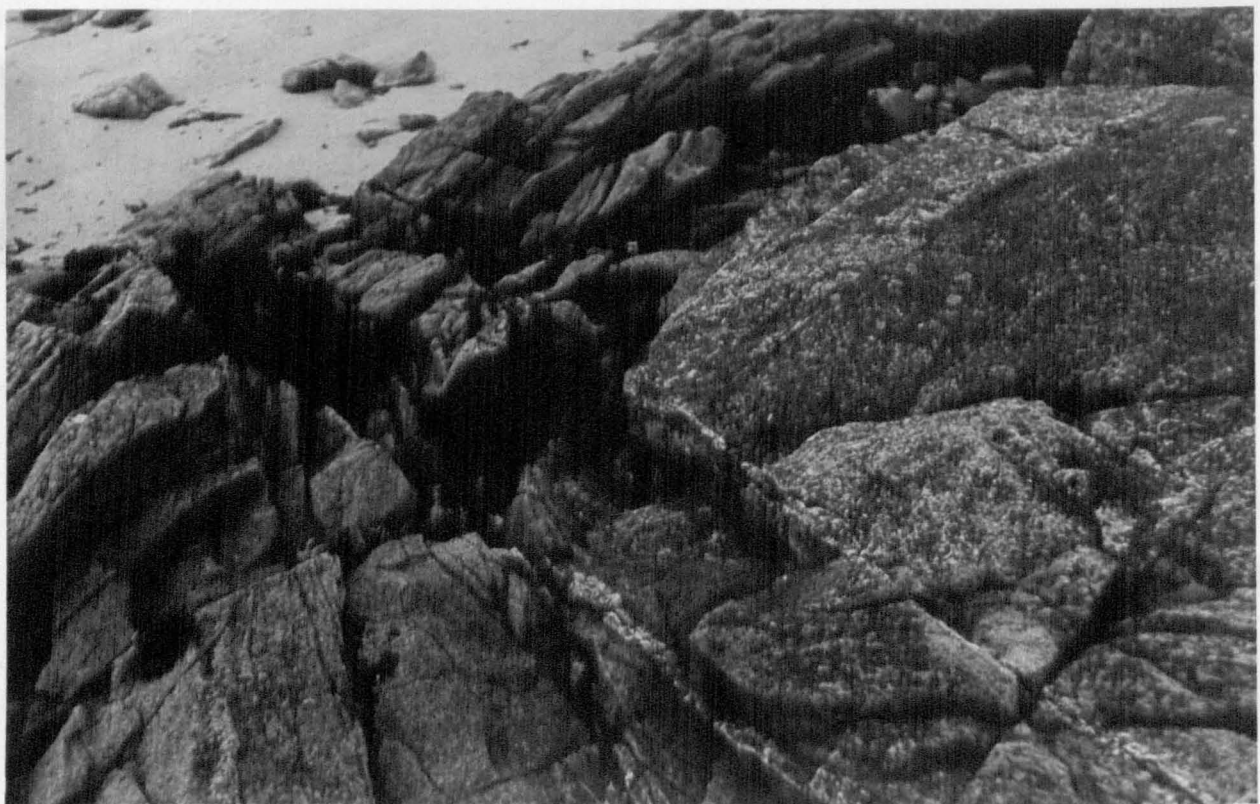
PLATE 3-31 GRANITE DE LANDUNVEZ
VALCON BRAS facies
LEVET (East of KERN AN GUEN, FIG 3-1)

Numerous garnets c. 0.5 cm in diameter
are visible



PLATES 3-32 and 3-33

Single garnet crystal
GRANITE DE LANDUNVEZ
VALCON BRAS facies BEN ENET (FIG 3-1)
(plate 3-32 ordinary light x 10)
(plate 3-33 PPL x 100)

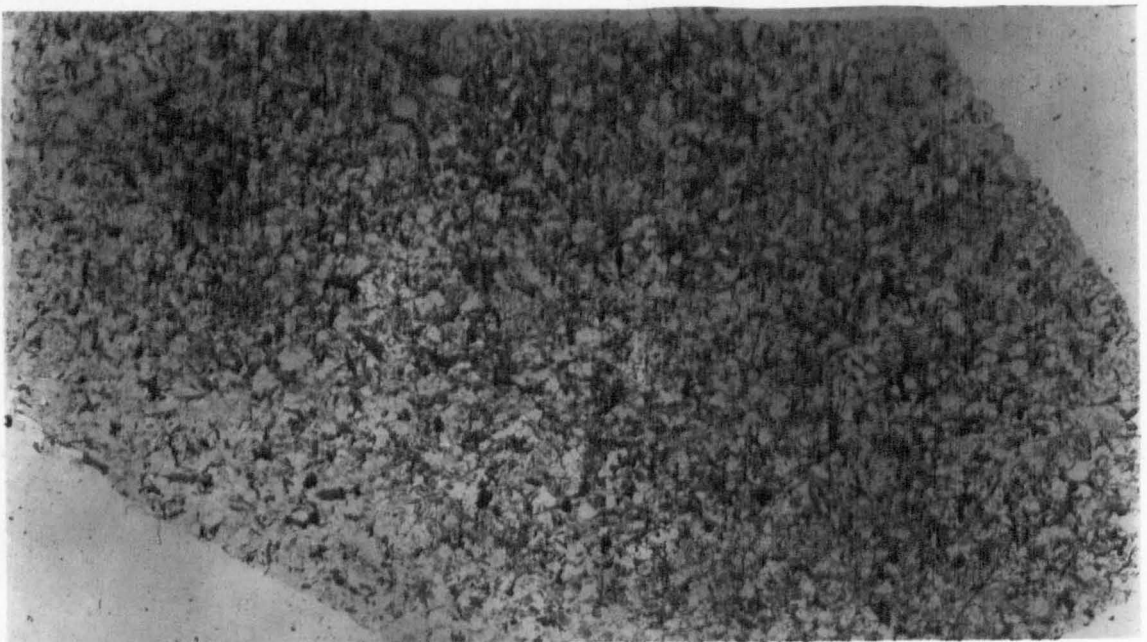
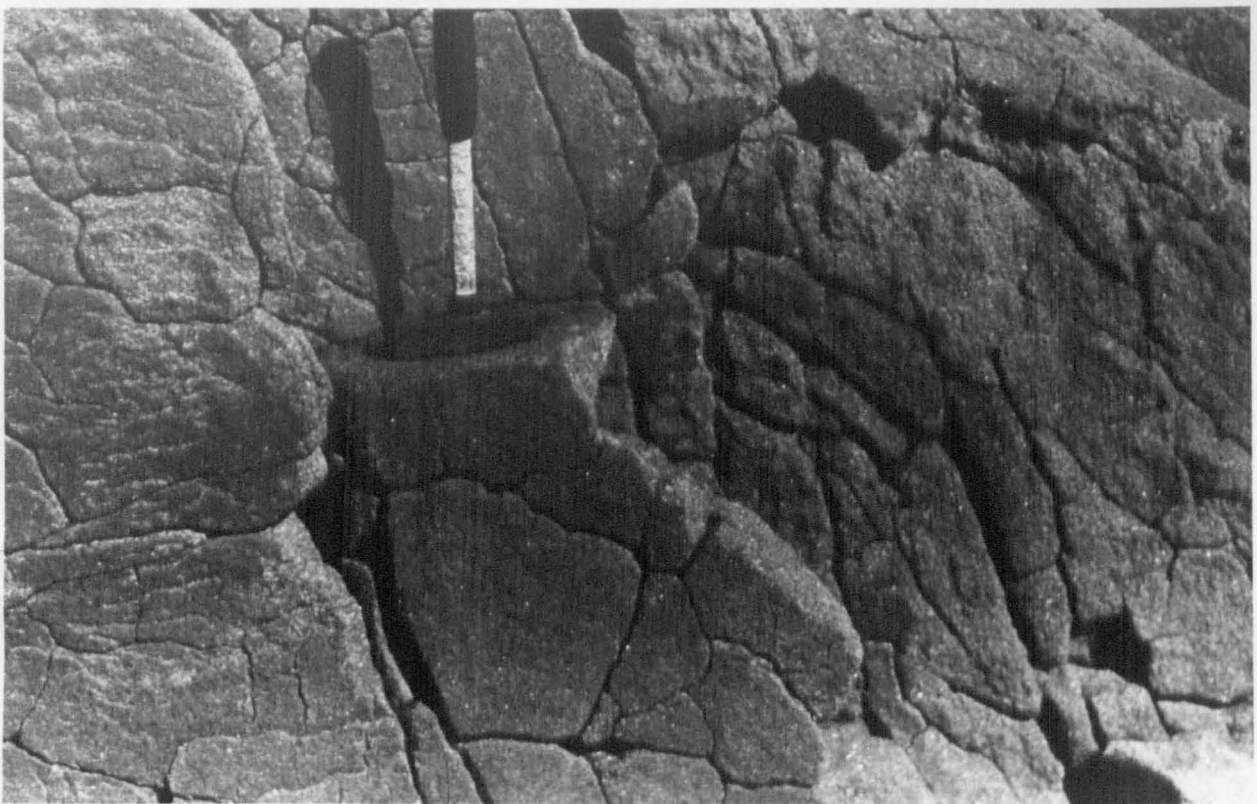


- PLATE 3-34 Contact between Adamellite de Ste Marguerite (left) and Granite de Landunvez (Trémazan facies). Carrec Cas (between Roc'h Avel and Ile Tariec, fig 3-1). The close jointing in the adamellite is subparallel to the contact and varies in orientation as it is traced round the projecting edge of the Granite de Landunvez (right).
- PLATE 3-35 Minor intrusive sheet of Ste Marguerite type cutting Granite de Landunvez (Scoune facies) east of Pointe Scoune (Fig 3-2). This particular sheet is too small to be shown on Fig 3-2. The close jointing is oblique to the margins at the centre of the sheet, but approaches parallelism near the margins.



PLATES 3-36 and 3-37

Angular xenoliths of Granite de
Landunvez (Scoune Facies) in
intrusion of Ste Marguerite type.
East of Pointe Scoune (Fig 3-2).



- PLATE 3-38 Adamellite de Ste Margeurite
 Massive variety
 Penn Enez (near northern extremity
 of Presqu'le Ste Marguerite, fig 3-1)
 Coarse flakes of muscovite reflect the
 light
- PLATE 3-39 Adamellite de Ste Marguerite
 Jointed facies Kern an Guen (Fig 3-1)
 Ordinary light 6 x
 The rock consists predominantly of
 oligoclase, quartz, microcline and biotite.



- PLATE 3-40 Panorama looking north from north end of Ile Tariec (Fig 3-6) Triple contact between (i) Granite de Landunvez (Tremazan facies) (foreground and left); (ii) Adamellite de Ste Marguerite (massive dark blocks right of centre); (iii) Granite de Kern an Guen (light well jointed slabs in centre). Compare Fig 3-6.
- PLATE 3-41 Xenolith (0.5m) of dark Granodiorite de Ste Marguerite in Granite de Kern an Guen. Same locality as plate 3-40.

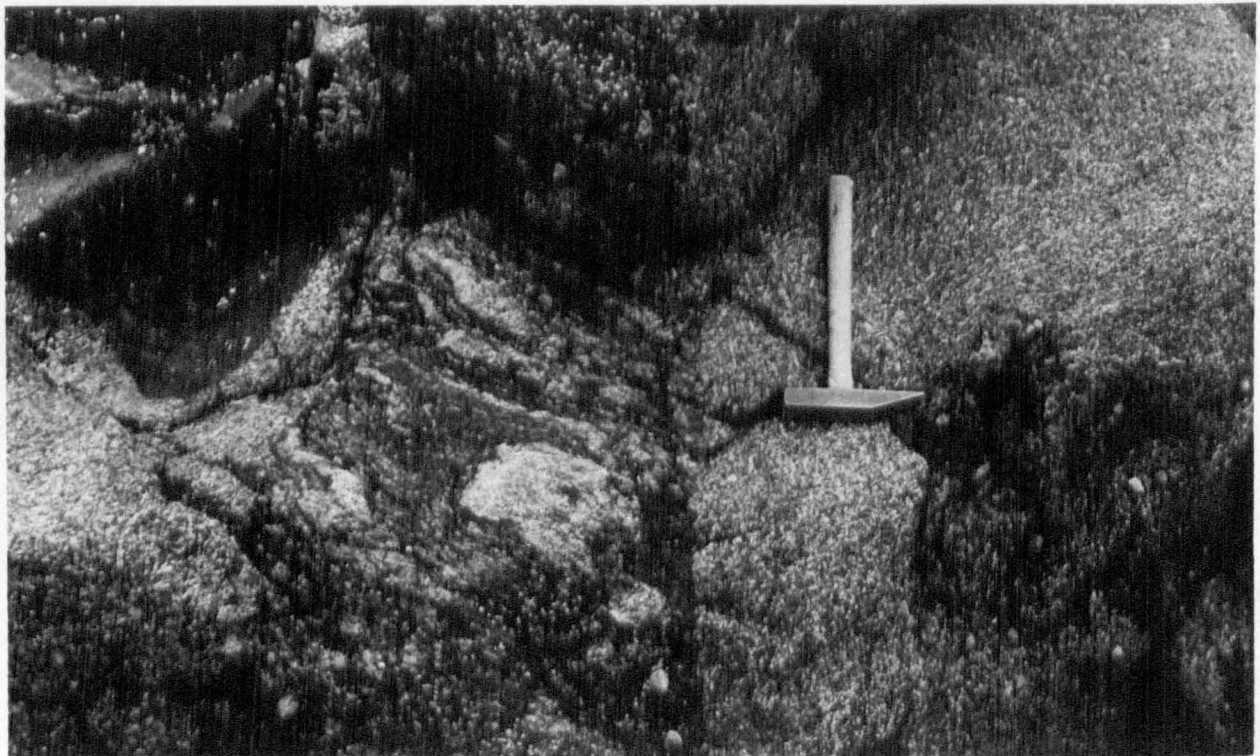
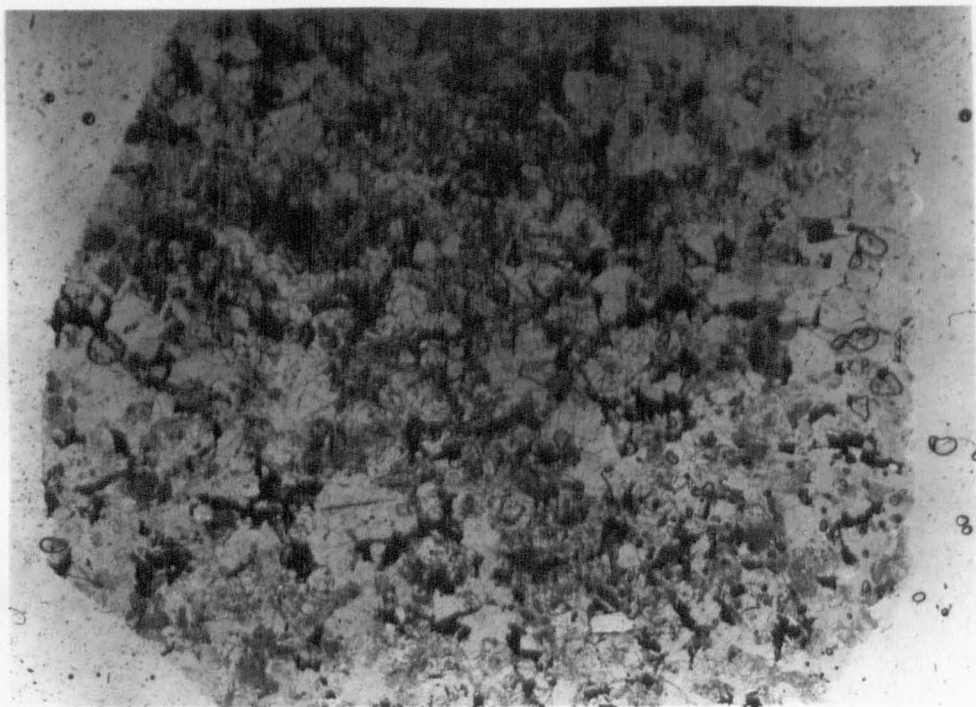
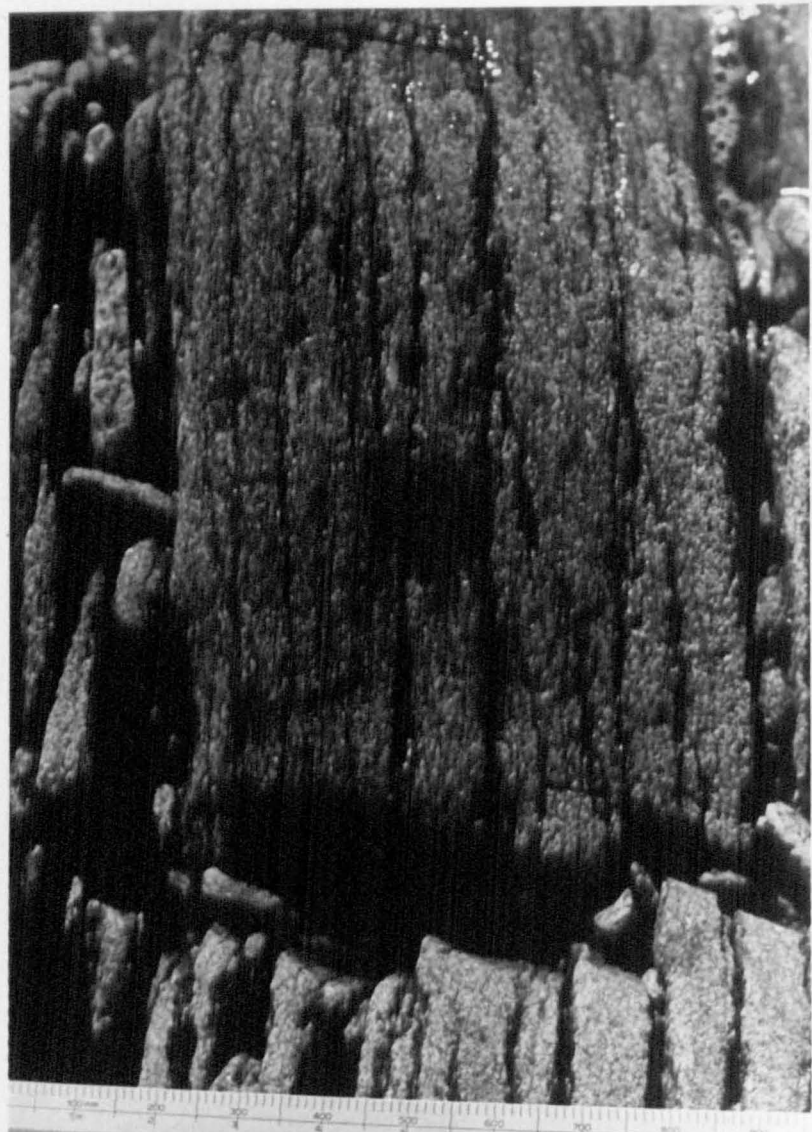


PLATE 3-42

Granite de Kern an Guen
Massive pink variety
Kern an Guen (Fig 3-B).
Ordinary light 6 x

PLATE 3-43

Angular xenoliths of Migmatites de
Plouguerneau (centre) and dark granite
of Ste Marguerite type (upper left) in
Granite de Brignogan
South of Enez Aman ar Rouz (Figs 3-1, 3-4).



F-1 STATE

Plate 4-1

GRANITE DE KERVIGORN WITH MODERATE D4 FRACTURING

Kervigorn (Fig 4-2)

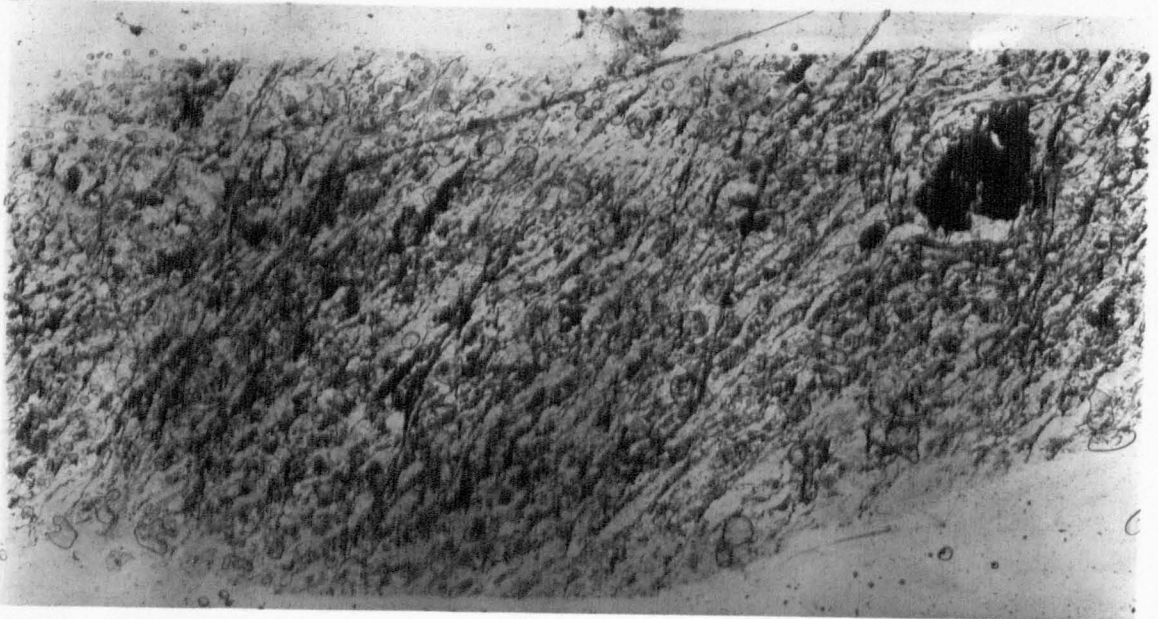


Plate 4-2

GRANITE DE KERVIGORN WITH INTENSE D4 FRACTURING
Kervigorn (Fig 4-2)

Plate 4-3

ADAMELLITE DE STE MARGUERITE WITH D4 FRACTURES
Beg ar Garo (north of Porspoder, fig. 3-1)

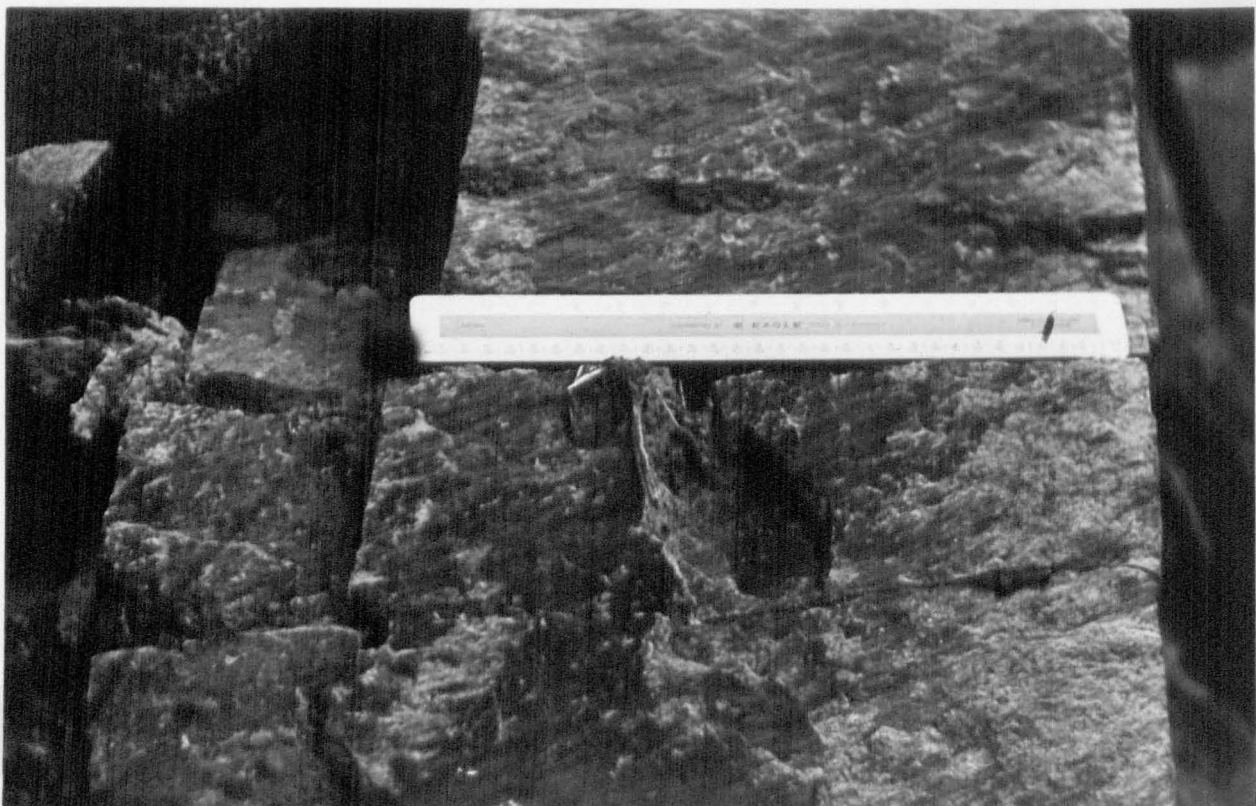


Plate 4-4

GRANITE DE KERNILIS WITH D4 LINEATION

Kiloudern (Fig. 4-1)

Plate 4-5

GRANITE DE KERNILIS AFFECTED BY D4 DEFORMATION

Kiloudern (Fig. 4-1). Crossed polars. X 80.

Mortarisation of quartz and simple shear deformation of muscovite are apparent.

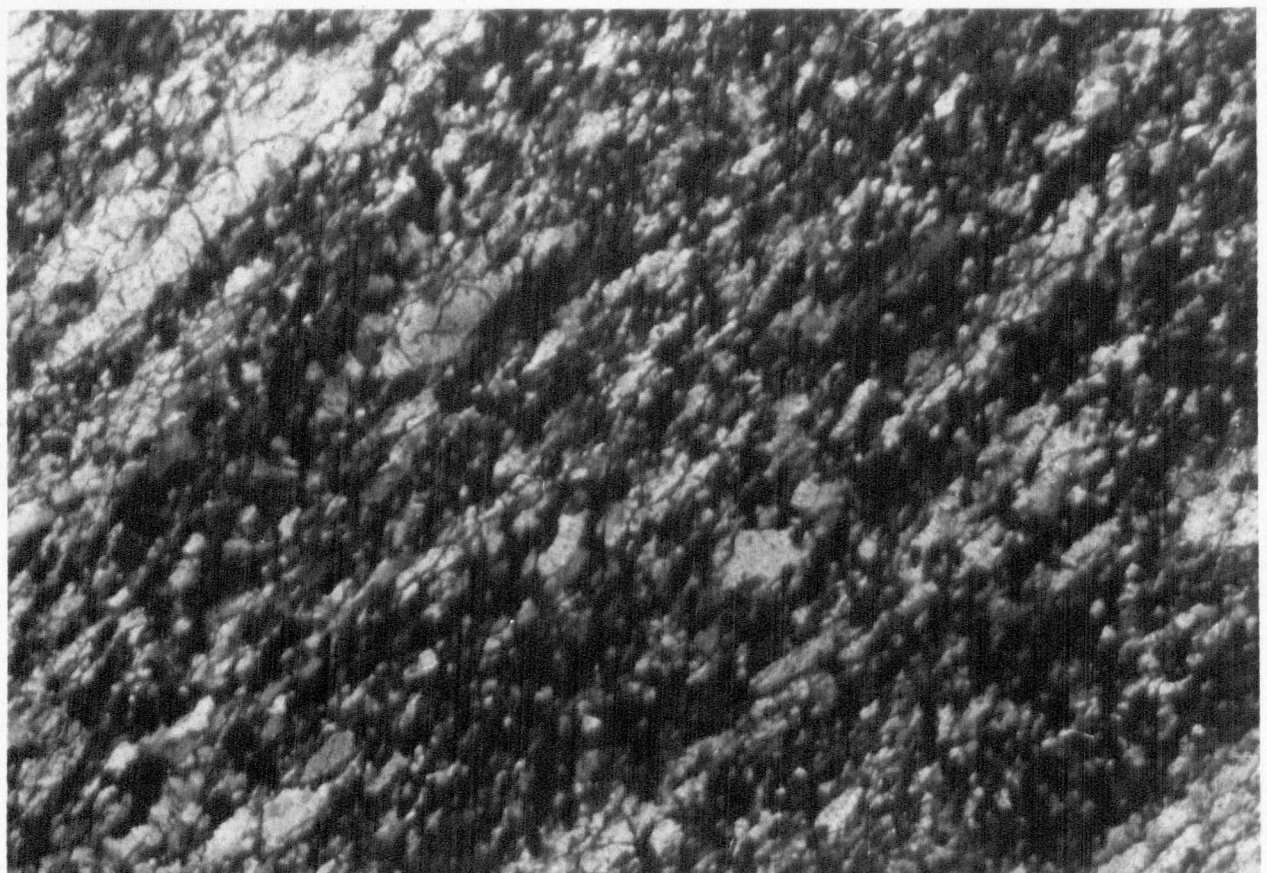
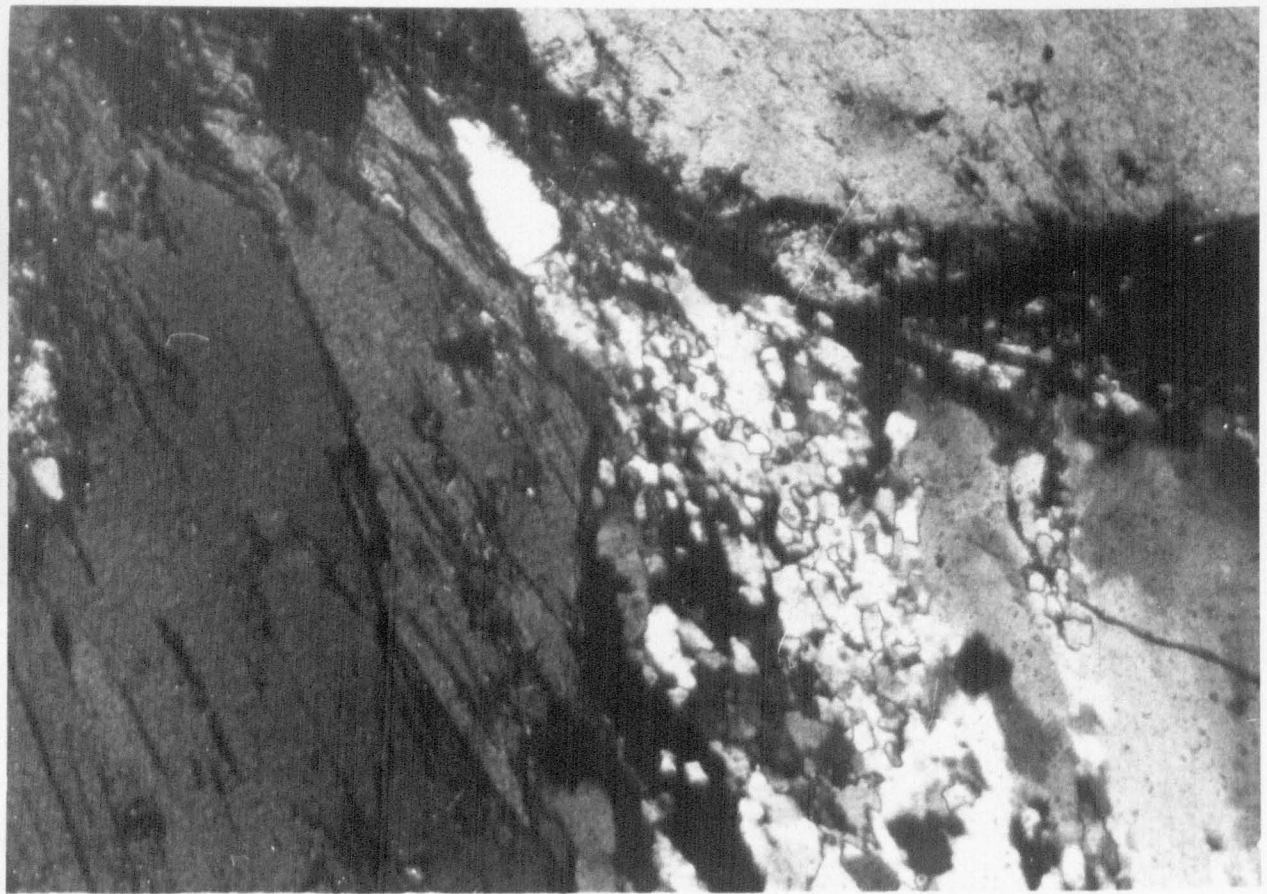


Plate 4-6

GRANITE DE L'ABER-ILDUT AFFECTED BY D4 DEFORMATION

Porspoder (Fig. 4-3). Crossed polars. X 100.

Quartz displays intense mortarisation while biotite (left) and feldspar (right) are relatively unaffected.

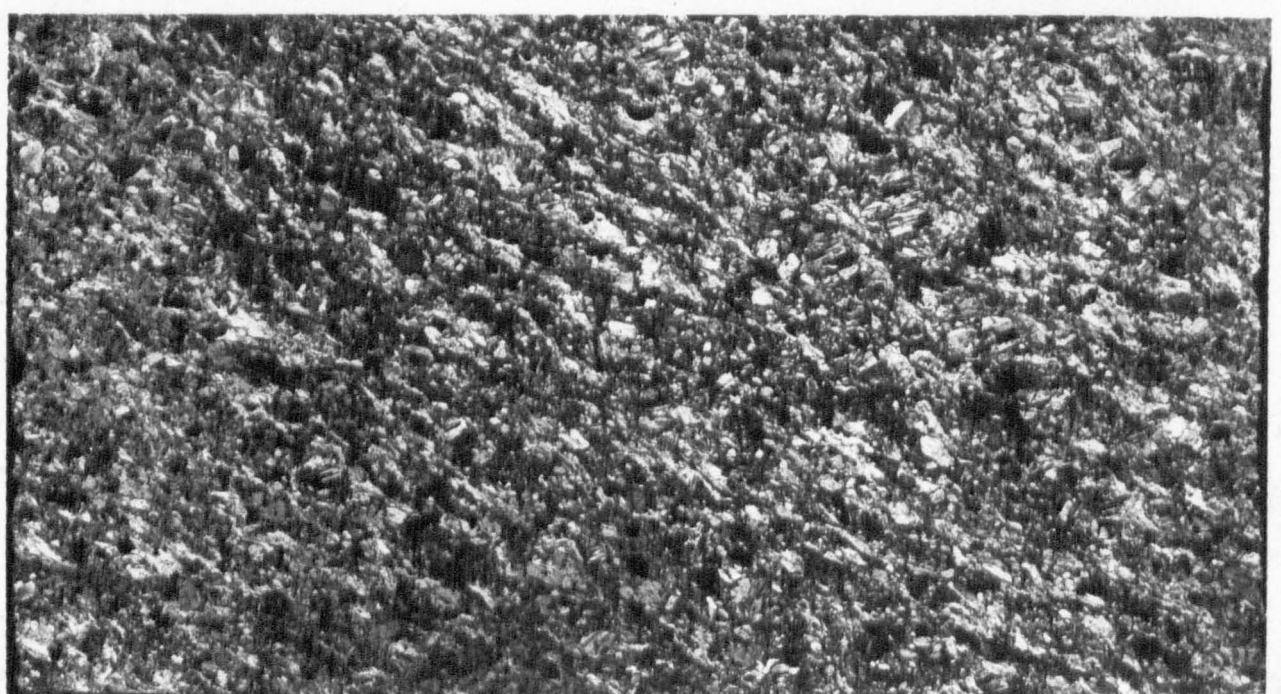
Plate 4-7

Mylonised granite (probably Granite de Ploudalmézeau).

Pen ar Creac'h quarry, near Landéda (Fig. 4-2).

Crossed polars. X 100.

Some larger fragments of feldspar and muscovite survive in a finely milled matrix.



PLATES 4-8 (P.P.L.) (above)

and 4-9 (crossed polars) (below)

Diorite de Lannilis affected by D4 deformation.

Morgan, near St Pabu. 5x.

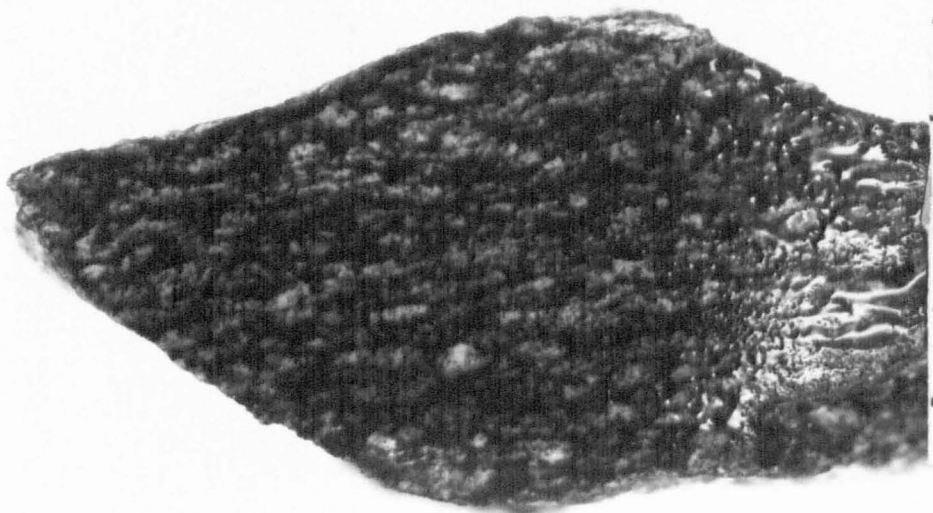
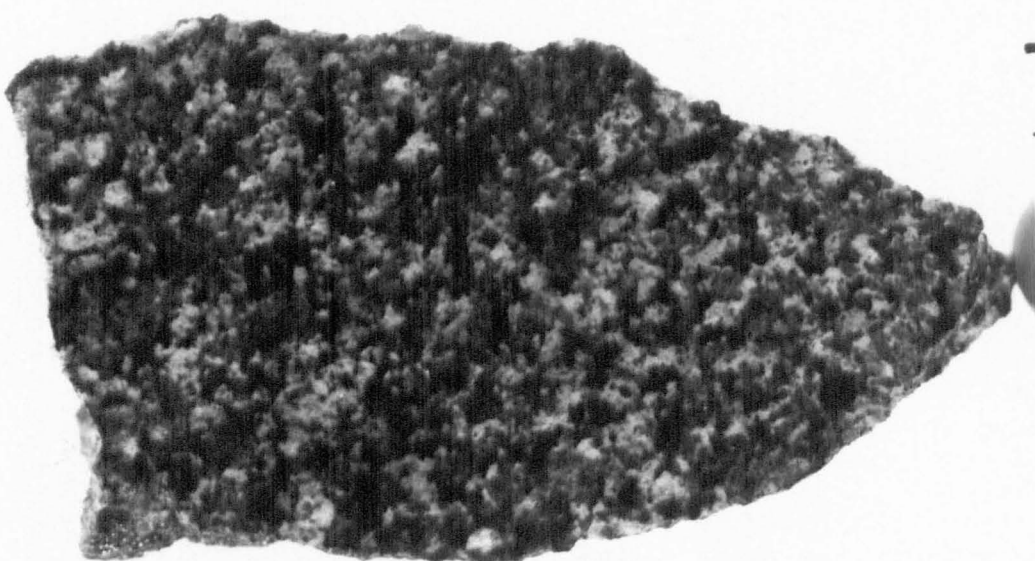


PLATE 6-1

GRANODIORITE DE BREST
MASSIVE FACIES
SOUTH OF PORS ILLIEN (FIG 6-1)

PLATE 6-2

GRANODIORITE DE BREST
FOLIATED FACIES
SAME LOCALITY AS PLATE 6-1

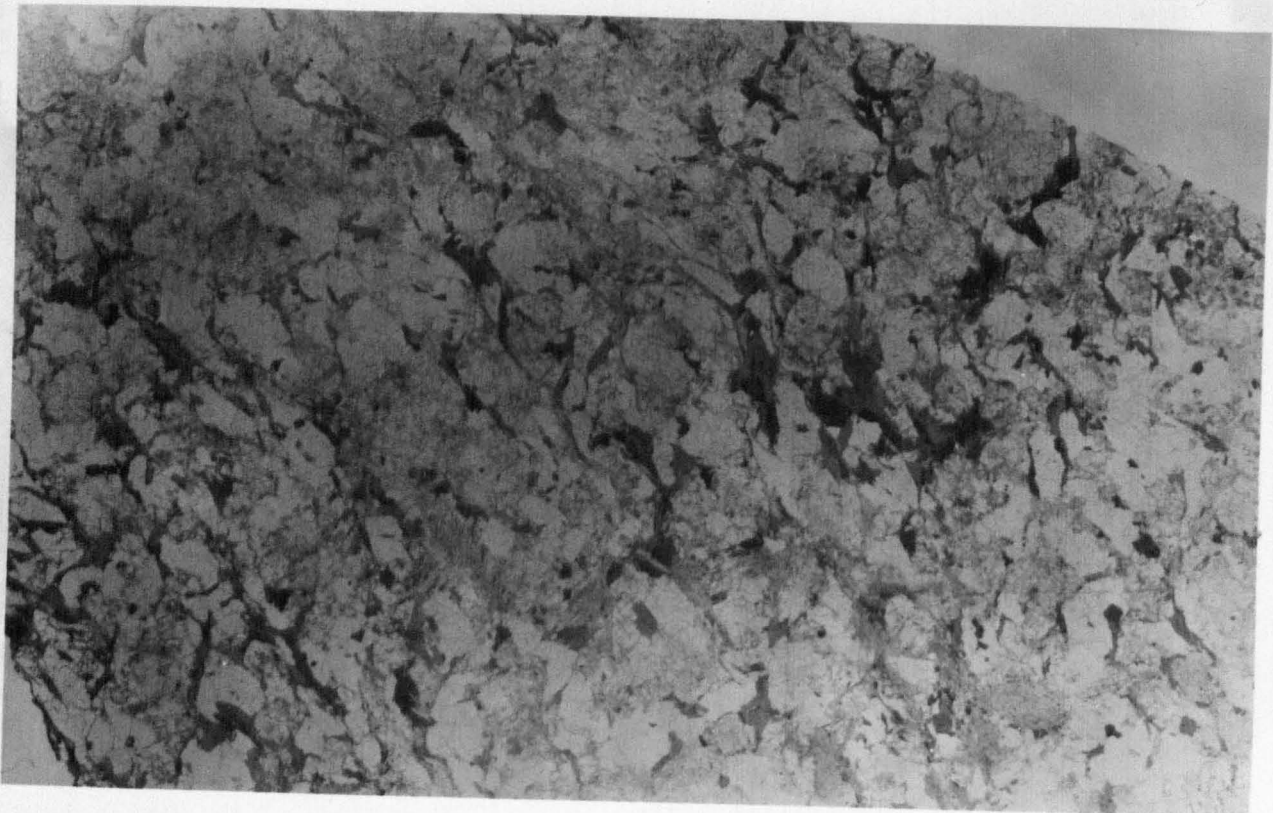


PLATE 6-3

GRANODIORITE DE BREST

WEAKLY FOLIATED

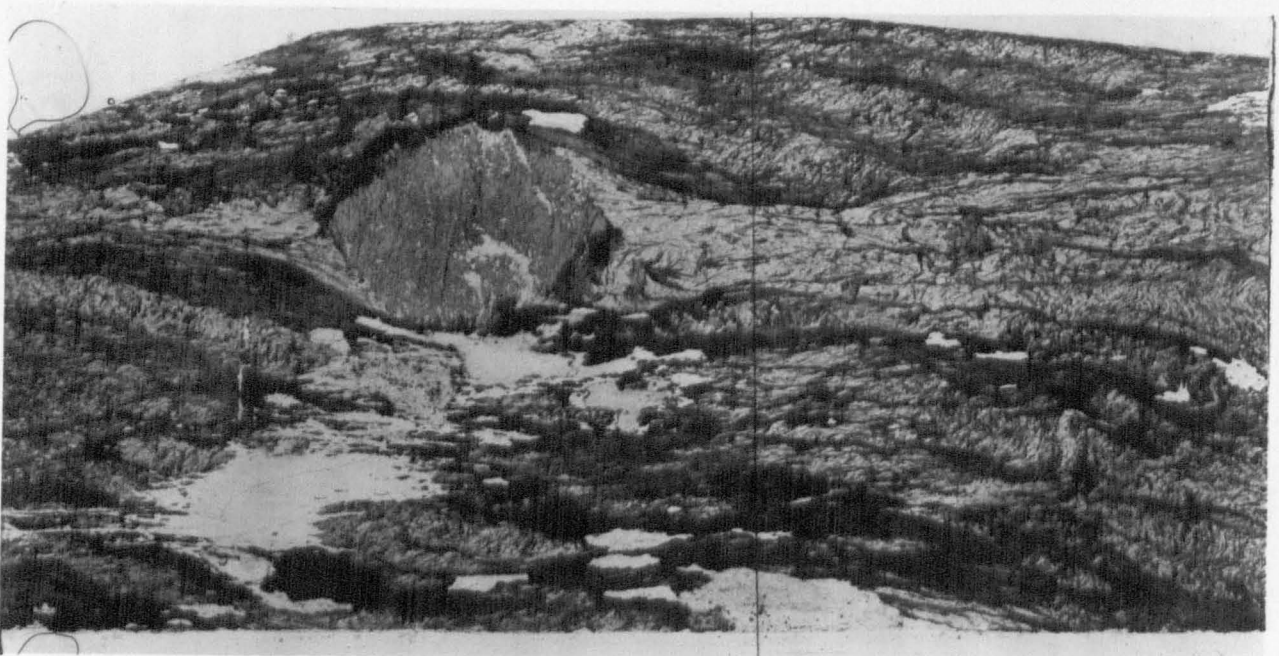
ANSE DES BLANCS SABLONS (FIG 6-1) ORDINARY LIGHT 5 x

PLATE 6-4

GRANODIORITE DE BREST

STRONGLY FOLIATED

ANSE DES BLANCS SABLONS ORDINARY LIGHT 5x



5cm.

PLATE 6-5

STAUROLITE-GARNET-MICA SCHIST
MICA-SCHISTES DU CONQUET
SOUTH OF PORZLIOGAN (FIG 6-1)
ORDINARY LIGHT x

PLATE 6-6

SAME LITHOLOGY AND LOCALITY AS PLATE 6-5
IN BOTH CASES THE SECONDARY CRENULATION CLEAVAGE
(?D3) CAN BE SEEN CROSSING THE EARLIER PENETRATIVE
SCHISTOSITY (?S2)

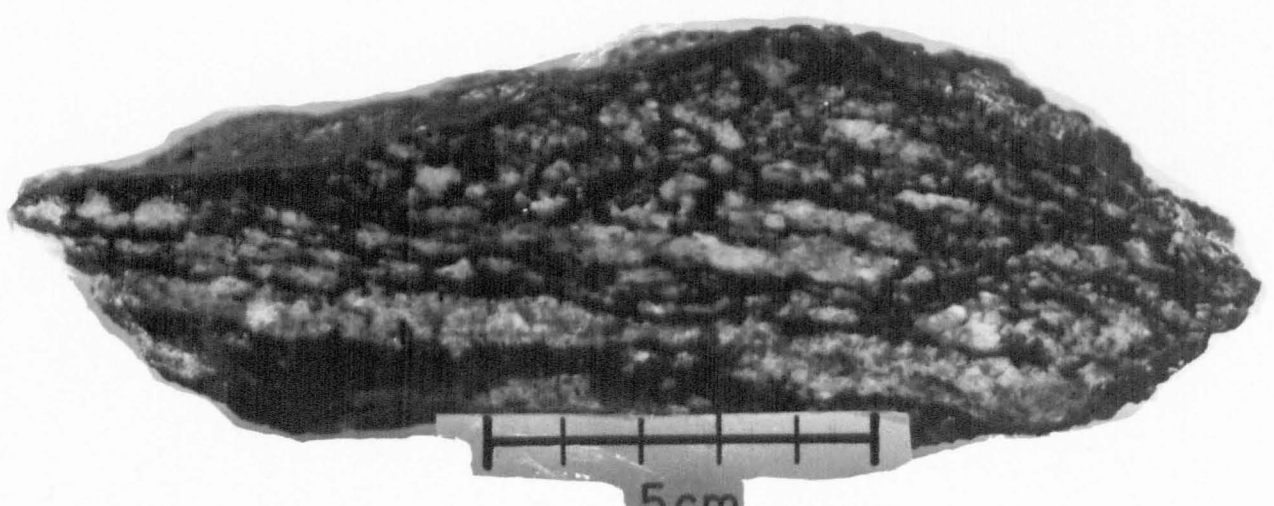


Plate 6-7.

Migmatitic gneiss.

North side of Pers Illien

Plate 6-8.

Granodiorite de Brest. Anse des Blance Sablons.

The less deformed massive facies (right) gives way rapidly to a more schistose facies (upper left). The abundance of biotitic schlieren is noteworthy. Semi-pelitic and quartzitic xenoliths are also visible (upper right).

LOCATION MAP (For use with Figs. 3-A, 3-B.)

END POCKET 1

LOCATION MAP

(For use with Figs. 3-A, 3-B.)

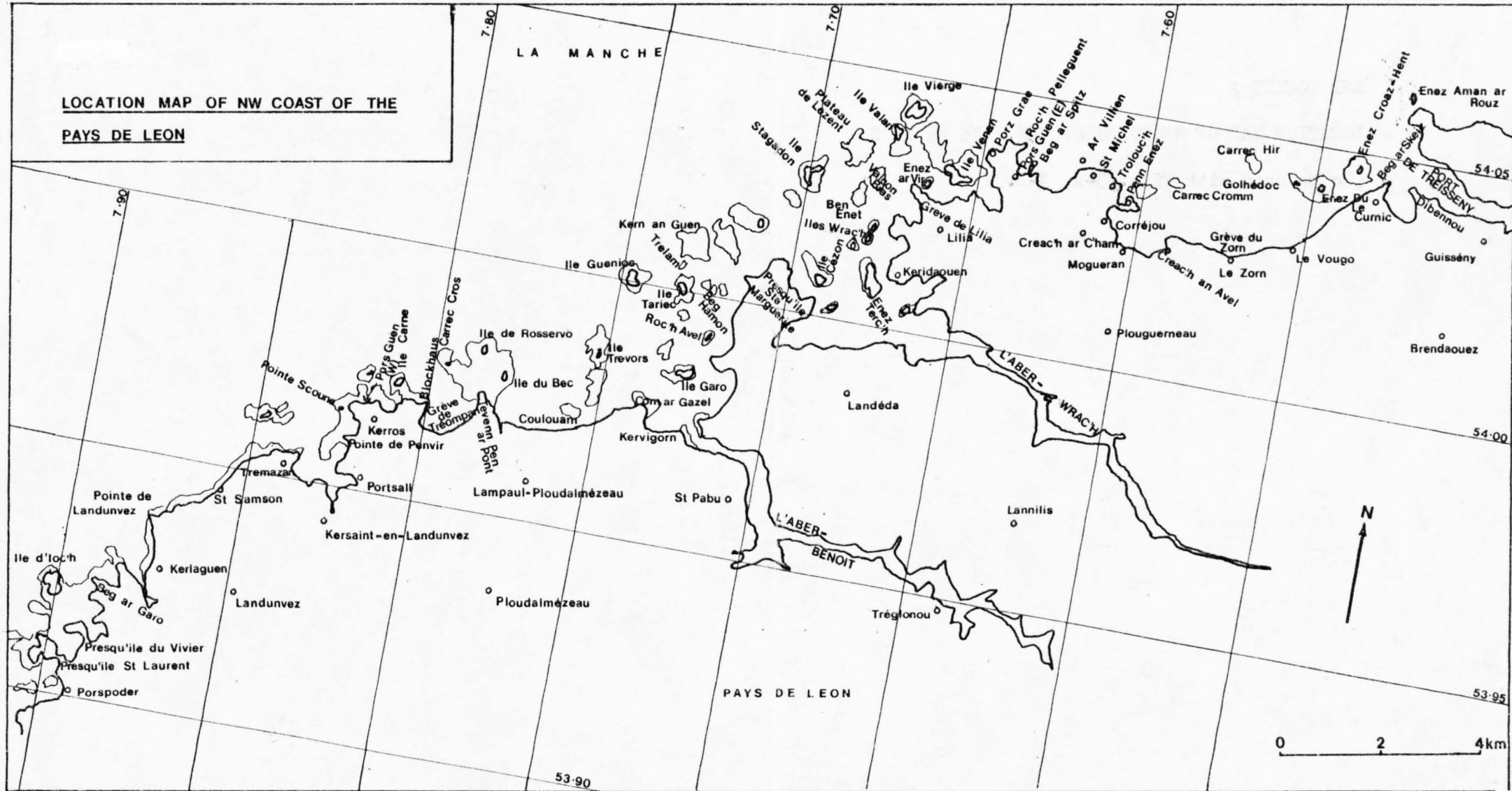
LOCATION MAP (For use with Figs. 3-A, 3-B.)

END POCKET 1

LOCATION MAP OF NW COAST OF THE PAYS DE LEON

(To be used with Figs. 3-A, 3-B.)

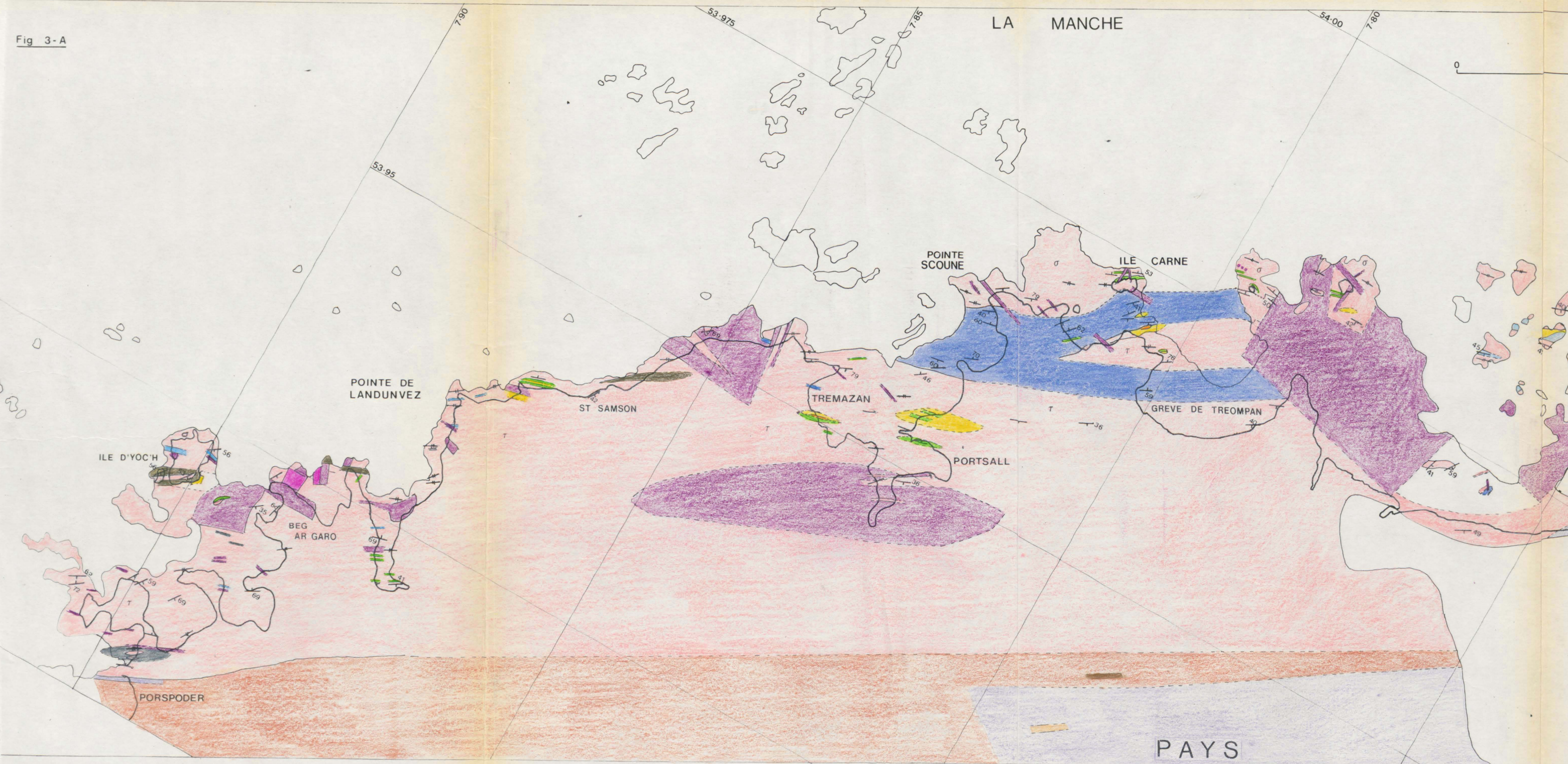
LOCATION MAP OF NW COAST OF THE
PAYS DE LEON



END POCKET 2

FIG 3-A

Fig



DE

1000-10000

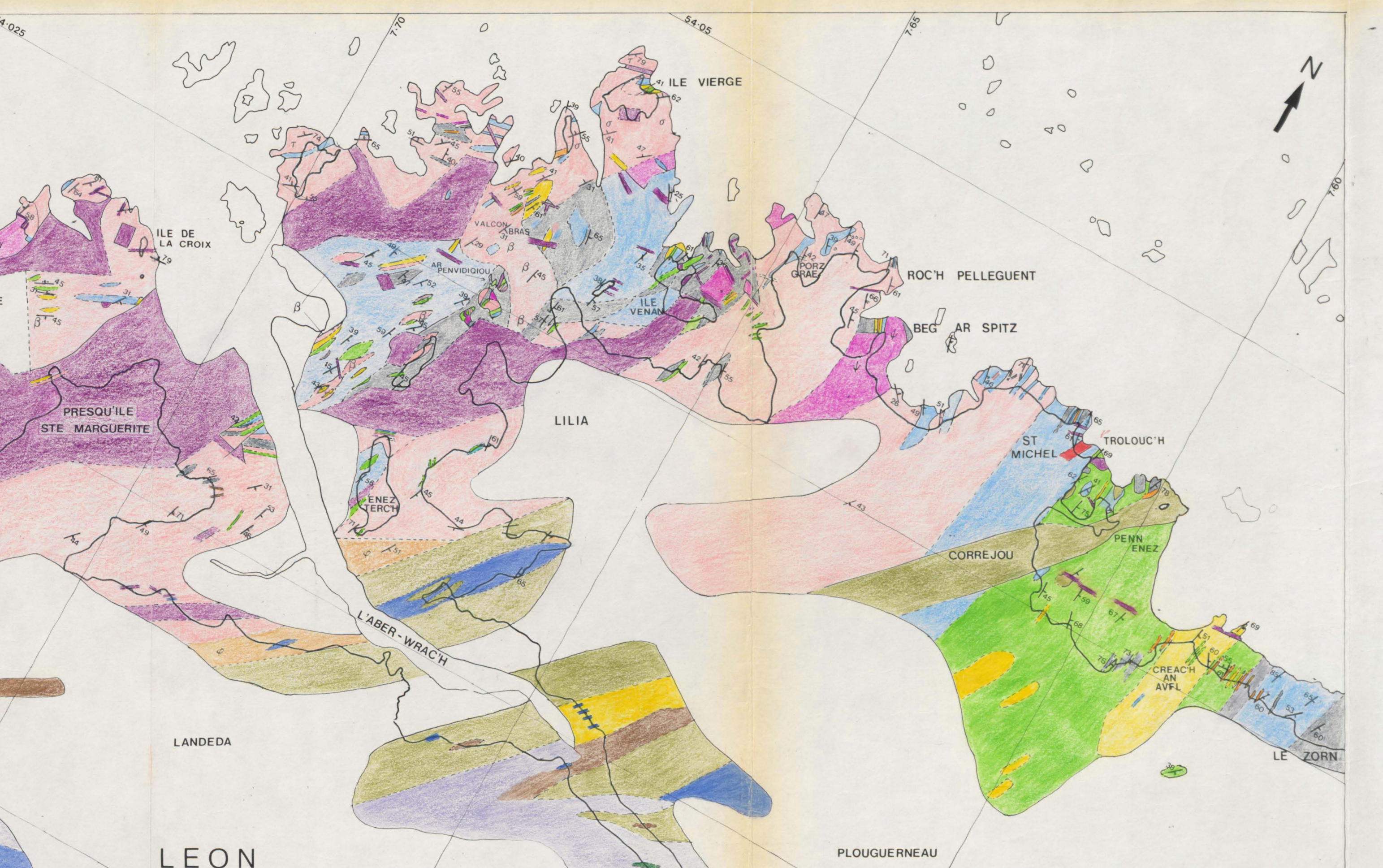
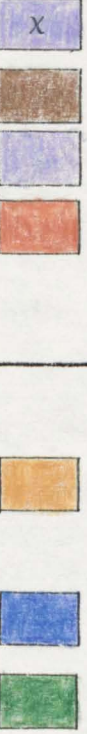


FIG 3-A

GEOLOGICAL MAP OF THE NW COASTAL SECTOR OF THE NW PAYS DE LÉON

COMPLEXE MÉTAMORPHIQUE DE LANNILIS AND ASSOCIATED GRANITIC ROCKS		MIGMATITES DE PLOUGUERNEAU AND ASSOCIATED GRANITIC ROCKS		
	OTHER GRANITIC ROCKS GRANITE DE KERVIGORN GRANITE DE PLOUDALMÉZEAU AND SIMILAR TYPES GRANITE DE L'ABER-ILDUT	Complexe Granitique de L'Aber-Ildut.	 GRANITE DE CORRÉJOU AND SIMILAR TYPES	LATE GRANITI
	GRANITIC ORTHOGNEISS ω GNEISS DE CORN AR GAZEL φ GNEISS DE TRÉGLONOU		 GRANITES DE KERN AN GUEN (γ) BEG AR SPITZ (ψ) AND SIMILAR TYPES	INTRUSI
	DIORITE DE LANNILIS		 ADAMELLITE DE STE MARGUERITE AND SIMILAR TYPES	
	METASEDIMENTARY SCHISTS AND GNEISSES	Complexe Métamorphique de Lannilis	 GRANODIORITE DE TROLOUCH	
AREAS OF SUPERFICIAL COVER OR NO OUTCROP LEFT BLANK WHERE UNDERLYING LITHOLOGY IS UNCERTAIN		 LEUCOGNEISS AND LEUCOGRANITE ASSOCIATED WITH THE MIGMATITES		
		 UNDIFFERENTIATED MIGMATITES	MIGMATI	
		 MAFIC PALAEOSOME MIGMATITES (WHERE DIFFERENTIATED)	TES	
		 INTERMEDIATE PALAEOSOME AGMATITES AND SIMILAR TYPES	DE	
		 METASEDIMENTARY TYPES	PLOUGUE	
		 DIORITE DE PORTSALL	NEAU	
		 TREND OF LINEATION IN GRANITE DE LANDUNVEZ		
		 ORIENTATION OF FOLIATION IN MIGMATITES DE PLOUGUERNEAU AND GRANITE DE LANDUNVEZ		

END POCKET 3

FIG 3-B

